

**T.C.
AKDENİZ ÜNİVERSİTESİ**



**ELEKTRONİK SOĞUTUCULARIN UZAK ALAN ELEKTROMANYETİK
IŞIMA DAVRANIŞLARININ İNCELENMESİ**

Alparslan Bozkurt KARAMAN

**FEN BİLİMLERİ ENSTİTÜSÜ
ELEKTRİK ELEKTRONİK MÜHENDİSLİĞİ
ANABİLİM DALI
YÜKSEK LİSANS TEZİ**

HAZİRAN 2019

ANTALYA

**T.C.
AKDENİZ ÜNİVERSİTESİ**



**ELEKTRONİK SOĞUTUCULARIN UZAK ALAN ELEKTROMANYETİK
IŞIMA DAVRANIŞLARININ İNCELENMESİ**

Alparslan Bozkurt KARAMAN

**FEN BİLİMLERİ ENSTİTÜSÜ
ELEKTRİK ELEKTRONİK MÜHENDİSLİĞİ
ANABİLİM DALI
YÜKSEK LİSANS TEZİ**

HAZİRAN 2019

ANTALYA

T.C.
AKDENİZ ÜNİVERSİTESİ
FEN BİLİMLERİ ENSTİTÜSÜ

ELEKTRONİK SOĞUTUCULARIN UZAK ALAN ELEKTROMANYETİK
IŞIMA DAVRANIŞLARININ İNCELENMESİ

Alparslan Bozkurt KARAMAN
ELEKTRİK ELEKTRONİK MÜHENDİSLİĞİ
ANABİLİM DALI
YÜKSEK LİSANS TEZİ

Bu tez 11/06/2019 tarihinde jüri tarafından Oybirliği / Oyçokluğu ile kabul edilmiştir.

Prof. Dr. Selçuk HELHEL

Prof. Dr. Şükrü ÖZEN

Dr. Öğr. Üyesi İ. Bahadır Başyigit

ÖZET

ELEKTRONİK SOĞUTUCULARIN UZAK ALAN ELEKTROMANYETİK IŞIMA DAVRANIŞLARININ İNCELENMESİ

Alparslan Bozkurt KARAMAN

Yüksek Lisans Tezi, Elektrik Elektronik Mühendisliği Anabilim Dalı

Danışman: Prof. Dr. Selçuk HELHEL

II. Danışman: Dr. Abdullah GENC

Haziran 2019; 70 sayfa

Teknolojik gelişmeler yüksek güç ihtiyacı ile birlikte tümleşik devre yapısına sahip yarı iletken anahtarlama eleman (FET, JFET, MOSFET, BJT vb.) kullanımını artırmıştır. Bu gelişim elektronik cihazların devre yapısını daha karmaşık bir hale getirmiş ve ortaya çıkan yüksek frekans ihtiyaçları doğrultusunda elektronik anahtarlama elemanların hızları da artmıştır. Bu elemanlar yüksek anahtarlama hızları nedeni ile istenmeyen harmonik bileşenler üretirken, doğası gereği çalışmaları esnasında daha fazla ısı açığa çıkarırlar. Düzgün bir çalışma performansı elde edebilmek için açığa çıkan bu yüksek ısının ortamdan uzaklaştırılması gerekir. Bu işlem için kullanılan en temel eleman metalik soğutuculardır ve soğutma performansı ile soğutucu yüzey alanı arasında doğrusal bir ilişki vardır. Ancak farklılaşan yüzey alanının farklı ışıma karakteristiğine sahip antenler gibi davranacağı bilinen bir gerçektir. Bunun anlamı anahtarlama elemanları tarafından üretilen asıl işaretler ile bunların harmoniklerinin istenmeyen bir şekilde bu soğutucular üzerinden ışıma yolu ile dış ortama yayılmasıdır. Dolayısı ile soğutucular bir anten davranışı sergilediklerinden problem bir elektromanyetik uyumluluk sorunu olarak ele alınmalıdır. Soğutucunun fiziksel boyutlarının, geometrisinin ve işaret kaynağının soğutucuya göre konumunun ışıma performansına olan etkisinin gözlemlenmesi bu tez çalışmasının temel konusudur.

Soğutucular bir anten olarak ele alınıp değerlendirildiğinde benzetim ve ölçüm sonuçlarının birbirini yakından takip ettiği ve ayrıca soğutucunun anahtarlama elemanına olan bağlantı noktasının (kenarlarına ve köşelerine göre) konumuna ve üretilen işaretin frekansına bağlı olarak ışıma örüntüsünün farklılaştığı gözlemlenmiştir. En küçük huzme genişliği merkez açısı $\phi=285^\circ$ olmak üzere 30° (4 GHz) ve en büyük huzme genişliği merkez açısı 120° olmak üzere $\phi=90^\circ$ (4 GHz) olarak ölçülmüştür. Soğutucular bir anten olarak değerlendirildiğinde taban alanına (yama anten davranışı) ve kanatçık yüksekliklerine (monopol anten davranışı) bağlı olarak 2 ayrı rezonans frekansı değeri (S parametreleri ölçümü aracılığıyla) elde edilmiş ve bu değerlerin besleme noktasına göre değiştiği gözlemlenmiştir. Bazı besleme noktalarında (elektromanyetik uyumluluk bakımından olumlu karşılanmak üzere) hiç ışıma görülmemiştir.

Soğutucu geometrisine ait parametrik analizler yapılmıştır. Bu parametrelerden biri olan kanatçık sayısı (yüzey alanını artırmak için oluşturulan yapı) değiştirildiğinde termal yönden artış sağlanırken elektromanyetik ışımaya olan etkisinin çok az olduğu

görölmüş ve deęer olarak 2.5dB'nin altında kalmıřtır. Yama anten davranıřından yola çıkarak incelenen taban boyu ve geniřlięi parametrelerinin artmasıyla birlikte belirli frekanslarda oluřan rezonansların orantılı olarak düřük frekans bölgesine doęru kaydıęı saptanmıřtır.

ANAHTAR KELİMELEER: Alüminyum Soęutucu, Anahtarlamalı Güç Kaynaęı, Anten, Elektromanyetik Uyumluluk, Iřıma

JÜRİ: Prof. Dr. Selçuk HELHEL

Prof. Dr. řükrü ÖZEN

Dr. Öğr. Üyesi İ. Bahadır BAŞYİĞİT

ABSTRACT

INVESTIGATION OF FAR FIELD ELECTROMAGNETIC EMISSION BEHAVIOR OF ELECTRONIC HEATSINKS

Alparslan Bozkurt KARAMAN

MSc Thesis in Electrical-Electronics Engineering

Supervisor: Prof. Dr. Selçuk HELHEL

Co-Supervisor: Dr. Abdullah GENC

June 2019; 70 pages

Technological developments have increased the use of semiconductor switching elements (FET, JFET, MOSFET, BJT, etc.) have integrated circuit structure with respect to high power requirement. This development has made the circuit structure of electronic devices more complex, and the speed of electronic switching elements has increased in line with the resulting high frequency requirements. These elements produce unwanted harmonic components due to their high switching speeds, and by their nature, they generate more heat during operation. In order to achieve proper working performance, this high heat must be removed from the environment. The main element used for this process is metallic heat sinks, and there is a linear relationship between cooling performance and surface area of coolant. However, it is a known fact that the varying surface area will behave as an antenna which has different radiation pattern. The meaning of this is that the actual signals produced by the switching elements and their unintentional harmonics are going to be emitted through these heat sinks to the external environment. The problem should therefore be considered as an electromagnetic compatibility problem, since the heat sinks exhibit an antenna behavior. The main subject of this thesis is to observe the effect of the physical dimension and geometry of heat sink and location of induction of signals on the metal.

When the heat sinks are considered as antennas, it has been observed that the simulation and measurement results closely follow each other, and that the radiation pattern differs depending on the position of the connection/injection point (relative to the edges and corners) of the heat sink to the switching element and the frequency of the signal produced. Minimum beam width has been measured as 30° (4 GHz) whose center angle is $\phi=285^\circ$ and maximum beam width has been measured as 120° (4 GHz) whose center angle is $\phi=90^\circ$. When the heat sinks were evaluated as an antenna, two different resonance frequency values (via S parameters measurement) were obtained depending on the base area (patch antenna behavior) and fin heights (monopoly antenna behavior), and it was observed that these values change according to the feed point. At some feeding points (to be favorable in terms of electromagnetic compatibility) no radiation was observed.

Parametric analyzes of geometry of heat sink have been performed. When the number of fins (the structure formed to increase the surface area), which is one of these parameters, was changed, the effect on electromagnetic radiation was found to be very

low and the value remained below 2.5 dB. Based on the patch antenna behavior, resonances occurring at certain frequencies were shifted proportionally towards to the low frequency region. This is because of increasing base length and width.

KEYWORDS: Aluminum Heat sink, Antenna, Electromagnetic Compatibility, Radiation Switch Mode Power Supply

COMMITTEE: Prof. Dr. Selçuk HELHEL

Prof. Dr. Şükrü ÖZEN

Asst. Prof. Dr. İ. Bahadır BAŞYİĞİT

ÖNSÖZ

Tez çalışmasında soğutucuların fiziksel boyutlarındaki değişimin farklı elektromanyetik ışımaları beraberinde getireceği ve soğutucunun bir anten gibi davrandığı gözlemlendi. Bu hususta sektör de soğutucular vasıtasıyla elektromanyetik uyumluluk testlerinde sorun yaşayan cihaz tasarımcılarına, soğutucu seçerken yol göstereceği düşünülmektedir.

Bu tez çalışmasında ve yüksek lisans eğitimim boyunca hiçbir zaman yardım ve desteklerini esirgemeyen değerli hocam Sayın Prof. Dr. Selçuk HELHEL' e, tezin benzetim ve ölçüm kısmında yol gösteren ve tecrübelerini daima paylaşan Sayın Dr. Abdullah GENÇ ve Dr. İ. Bahadır Başyigit hocalarıma teşekkür ederim.

Bu çalışmanın uygulama ve ölçüm kısımları kalkınma bakanlığının desteğiyle kurulan DPT-2007K120530 proje numaralı Endüstriyel ve Medikal Uygulamalar Mikrodalga Uygulama ve Araştırma Merkezi (EMUMAM) Laboratuvarlarında gerçekleştirilmiş ve proje de ihtiyaç duyulan sarf malzeme ekipmanları Akdeniz Üniversitesi BAP tarafından desteklenen FBA-2018-3769 numaralı proje bütçesi kullanılarak temin edilmiştir. Bu imkânları sağlayan EMUMAM müdürlüğüne, uygulama ve ölçüm kısmında tecrübe ve desteğini asla esirgemeyen hocam Sayın Arş. Gör. Atalay KOCAKUŞAK' a teşekkür ederim.

Son olarak bu günlere gelmemi sağlayan ve bana daima güvenen babam Sayın Şinasi KARAMAN, annem Sayın Tayyibe KARAMAN ve amcam Sayın Halis KARAMAN' a üstün emeklerinden dolayı sonsuz teşekkürlerimi sunarım.

İÇİNDEKİLER

ÖZET.....	ii
ABSTRACT.....	iv
ÖNSÖZ	vi
AKADEMİK BEYAN	ix
SİMGELER VE KISALTMALAR.....	x
ŞEKİLLER DİZİNİ.....	xii
ÇİZELGELER DİZİNİ	xvi
1. GİRİŞ	1
2. KAYNAK TARAMASI	4
2.1. Soğutucuların Termal Davranışı.....	4
2.2. Soğutucuların Işıma Üzerindeki Etkisi.....	4
2.3. Güç Elektroniklerinde Karşılaşılan Soğutucu Işıma Problemleri.....	8
2.4. Işımların Kontrolü.....	11
3. MATERYAL VE METOT	15
3.1. Anten Teorisi hakkında Temel Bilgiler ve İlgili Parametreler	15
3.1.1. Giriş empedansı ve yansıyan güç.....	15
3.1.2. Işıma verimliliği.....	17
3.1.3. Anten yönlülüğü.....	18
3.1.4. Anten kazancı.....	18
3.1.5. Friis iletim denklemi	19
3.2. Soğutucuların Işıma Davranışı	20
3.3. Mikroşerit Yama Antenler ve Soğutucu İlişkisi	21
3.4. Monopole Antenler ve Soğutucu İlişkisi	23
3.5. Soğutucuların Uzak Alan Işımasında Rayleigh Kriteri	25
3.6. Soğutucuların Termal Açından Yüzey Alanı Hesabı	26
3.6.1. Kondüksiyon yoluyla ısı transferi	27
3.6.2. Konveksiyon yoluyla ısı transferi	27
3.7. Ölçüm Metotları.....	28
3.7.1. Yansız odada yapılan uzak alan ölçümü	28
3.7.2. S11 parametresinin vektör network analizör ile ölçümü	29

4. BULGULAR VE TARTIŞMA	31
4.1. Soğutucuların Parametrik Analizi	31
4.1.1 Soğutucunun kanatçık sayısına göre analizi	31
4.1.2. Soğutucunun boy değişimine göre analizi	33
4.1.3. Soğutucunun en değişimine göre analizi	34
4.1.3. Soğutucunun yükseklik değişimine göre analizi.....	36
4.2. Soğutucuların Taban Yapısına göre Analizi.....	37
4.3. Soğutucuların Kanatçık Yapısına göre Analizi	41
4.4. Soğutucuların Besleme Noktasına göre Analizi	45
4.4.1. Besleme noktalarının benzetim ile analizi	45
4.4.2. Besleme noktalarının ölçüm ile analizi.....	49
4.4.2.1. Yansız odada yapılan uzak alan ölçümleri	49
4.4.2.1. VNA ile yapılan S11 parametresi ölçümü	60
5. SONUÇLAR	63
6. KAYNAKLAR	66
7. EKLER.....	69
ÖZGEÇMİŞ	

AKADEMİK BEYAN

Yüksek Lisans Tezi olarak sunduğum “Elektronik Soğutucuların Uzak Alan Elektromanyetik Işıma Davranışlarının İncelenmesi” adlı bu çalışmanın, akademik kurullar ve etik değerlere uygun olarak yazıldığını belirtir, bu tez çalışmasında bana ait olmayan tüm bilgilerin kaynağını gösterdiğimi beyan ederim.

11/06/2019

Alparslan Bozkurt KARAMAN



SİMGELER VE KISALTMALAR

Simgeler

dB	: Desibel
KHz	: Kilohertz
MHz	: Megahertz
GHz	: Gigahertz
λ	: Dalga Boyu
C	: Işık Hızı
f	: Frekans

Kısaltmalar

EMG	: Elektromanyetik Girişim
EMU	: Elektromanyetik Uyumluluk
FSV	: Frekans Seçici Geçerlilik
FDTD	: Zamanda Sonlu Farklar Metodu
DC	: Doğru Akım
SBID	: Süper Bilye Izgara Dizisi
PBID	: Plastik Bilye Izgara Dizisi
SiC	: Silikon Karpit
YMT	: Yalıtkan Metal Tabaka
MoM	: Anlar Yöntemi
FEM	: Sonlu Elemanlar Yöntemi
DFFG	: Dört Formlu Faktör Geçmeli
VNA	: Vektör Network Analizör
RF	: Radyo Frekansı
EYBYG	: Etkili Yön Bağımsız Yayılan Güç
PCB	: Baskı Devre Plakası

E Alan : Elektrik Alan
PEC : Mükemmel İletken
EM : Elektromanyetik

ŞEKİLLER DİZİNİ

Şekil 1. 1. Işıma ve iletim yoluyla yayılım	1
Şekil 3. 1. Thevenin eşdeğer anten devresi	16
Şekil 3. 2. İletim hattı yoluyla kaynağa bağlı anten	17
Şekil 3. 3. Monopol anten olarak soğutucunun modellenmesi	20
Şekil 3.4. EM dalganın θ geliş açısıyla pürüzlü yüzeye teması	26
Şekil 3. 5. Ölçümde kullanılan spektrum analizör ve RF sinyal jeneratörü	28
Şekil 3. 6. Yansımaz oda ve soğutucu ölçüm düzeneği.....	29
Şekil 3.7. S11 parametresi ölçümü VNA ve soğutucu ölçüm düzeneği.....	30
Şekil 4.1. Soğutucu parametrelerinin soğutucu yapısı üzerinde gösterimi.....	31
Şekil 4.2. Farklı kanatçık yapısına sahip soğutucular.....	32
Şekil 4.3. Soğutucunun kanatçık sayısı değişimine bağlı olarak elde edilen alan grafiği.....	32
Şekil 4.4. Soğutucunun kanatçık sayısı değişimine bağlı olarak elde edilen S11 grafiği.....	33
Şekil 4.5. Soğutucunun boy değişimine bağlı olarak elde edilen alan grafiği.....	33
Şekil 4.6. Soğutucunun boy değişimine bağlı olarak elde edilen S11 grafiği.....	34
Şekil 4.7. Soğutucunun en değişimine bağlı olarak elde edilen alan grafiği.....	35
Şekil 4.8. Soğutucunun en değişimine bağlı olarak elde edilen S11 grafiği.....	35
Şekil 4.9. Soğutucunun yükseklik değişimine bağlı olarak elde edilen alan grafiği.....	36
Şekil 4.10. Soğutucunun yükseklik değişimine bağlı olarak elde edilen S11 grafiği.....	37
Şekil 4.11. Soğutucunun taban yapısına bağlı olarak elde edilen alan grafiği.....	37
Şekil 4.12. Soğutucunun taban yapısına bağlı olarak elde edilen S11 grafiği.....	38

Şekil 4.13. Taban yapısına göre soğutucu üzerinde indüklenen elektrik alanın iki boyutlu görüntüsü; a) dikdörtgen taban; b) kare taban; c) silindir taban.....	39
Şekil 4.14. Taban yapısına göre soğutucu ışımaya örüntüsünün polar görüntüsü; a) dikdörtgen taban; b) kare taban; c) silindir taban.....	40
Şekil 4.15. Taban yapısına göre soğutucunun üç boyutlu anten yönlülük görüntüsü; a) dikdörtgen taban; b) kare taban; c) silindir taban.....	40
Şekil 4.16. Soğutucu örnek kanatçık yapıları; a) dikdörtgen tip; b) dikdörtgen prizma tip; c) silindirik tip yandan görünüm; d) silindirik tip üstten görünüm.....	41
Şekil 4.17. Soğutucu kanatçık yapısına bağlı olarak elde edilen alan grafiği.....	42
Şekil 4.18. Soğutucu kanatçık yapısına bağlı olarak elde edilen S11 grafiği.....	42
Şekil 4.19. Kanatçık yapısına göre soğutucu üzerinde indüklenen alanın üç boyutlu görüntüsü; a) dikdörtgen prizma; b) parabol; c) dikdörtgen; d) silindir.....	43
Şekil 4.20. Kanatçık yapısına göre soğutucu ışımaya örüntüsünün polar görüntüsü; a) dikdörtgen prizma; b) parabol; c) dikdörtgen; d) silindir.....	44
Şekil 4.21. Kanatçık yapısına göre üç boyutlu anten yönlülük görüntüsü; a) dikdörtgen prizma; b) parabol; c) dikdörtgen; d) silindir.....	44
Şekil 4.22. Soğutucu tabanında bulunan referans besleme noktaları ve numaraları.....	45
Şekil 4.23. Soğutucunun farklı besleme noktalarına bağlı olarak elde edilen alan grafiği.....	46
Şekil 4.24. Soğutucunun farklı besleme noktalarına bağlı olarak elde edilen S11 grafiği.....	47
Şekil 4.25. Besleme noktasına göre soğutucu üzerinde indüklenen elektrik alanın üç boyutlu görüntüsü; a) besleme noktası 1; b) besleme noktası 2; c) besleme noktası 4; d) besleme noktası 5; e) besleme noktası 10	47
Şekil 4.26. Besleme noktasına göre soğutucu ışımaya örüntüsünün polar görüntüsü; a) besleme noktası 1; b) besleme noktası 2; c) besleme noktası 4; d) besleme noktası 5; e) besleme noktası 10	48
Şekil 4.27. Besleme noktasına göre üç boyutlu anten yönlülük görüntüsü; a) besleme noktası 1; b) besleme noktası 2; c) besleme noktası 4; d) besleme noktası 5; e) besleme noktası 10	49
Şekil 4.28. 2 GHz frekansta 1 numaralı besleme noktasının sol tarafta ölçüm, sağ taraftaki benzetimde elde edilen elektrik alan polar grafiği.....	50

Şekil 4.29. 2 GHz frekansta 2 numaralı besleme noktasının sol tarafta ölçüm, sağ taraftaki benzetimde elde edilen elektrik alan polar grafiği.....	50
Şekil 4.30. 2 GHz frekansta 4 numaralı besleme noktasının sol tarafta ölçüm, sağ taraftaki benzetimde elde edilen elektrik alan polar grafiği.....	51
Şekil 4.31. 2 GHz frekansta 5 numaralı besleme noktasının sol tarafta ölçüm, sağ taraftaki benzetimde elde edilen elektrik alan polar grafiği.....	51
Şekil 4.32. 2 GHz frekansta 10 numaralı besleme noktasının sol tarafta ölçüm, sağ taraftaki benzetimde elde edilen elektrik alan polar grafiği.....	52
Şekil 4.33. 4 GHz frekansta 1 numaralı besleme noktasının sol tarafta ölçüm, sağ taraftaki benzetimde elde edilen elektrik alan polar grafiği.....	52
Şekil 4.34. 4 GHz frekansta 2 numaralı besleme noktasının sol tarafta ölçüm, sağ taraftaki benzetimde elde edilen elektrik alan polar grafiği.....	53
Şekil 4.35. 4 GHz frekansta 4 numaralı besleme noktasının sol tarafta ölçüm, sağ taraftaki benzetimde elde edilen elektrik alan polar grafiği.....	53
Şekil 4.36. 4 GHz frekansta 5 numaralı besleme noktasının sol tarafta ölçüm, sağ taraftaki benzetimde elde edilen elektrik alan polar grafiği.....	54
Şekil 4.37. 4 GHz frekansta 10 numaralı besleme noktasının sol tarafta ölçüm, sağ taraftaki benzetimde elde edilen elektrik alan polar grafiği.....	54
Şekil 4.38. 6 GHz frekansta 1 numaralı besleme noktasının sol tarafta ölçüm, sağ taraftaki benzetimde elde edilen elektrik alan polar grafiği.....	55
Şekil 4.39. 6 GHz frekansta 2 numaralı besleme noktasının sol tarafta ölçüm, sağ taraftaki benzetimde elde edilen elektrik alan polar grafiği.....	55
Şekil 4.40. 6 GHz frekansta 4 numaralı besleme noktasının sol tarafta ölçüm, sağ taraftaki benzetimde elde edilen elektrik alan polar grafiği.....	56
Şekil 4.41. 6 GHz frekansta 5 numaralı besleme noktasının sol tarafta ölçüm, sağ taraftaki benzetimde elde edilen elektrik alan polar grafiği.....	56
Şekil 4.42. 6 GHz frekansta 10 numaralı besleme noktasının sol tarafta ölçüm, sağ taraftaki benzetimde elde edilen elektrik alan polar grafiği.....	57
Şekil 4.43. 8 GHz frekansta 1 numaralı besleme noktasının sol tarafta ölçüm, sağ taraftaki benzetimde elde edilen elektrik alan polar grafiği.....	57
Şekil 4.44. 8 GHz frekansta 2 numaralı besleme noktasının sol tarafta ölçüm, sağ taraftaki benzetimde elde edilen elektrik alan polar grafiği.....	58

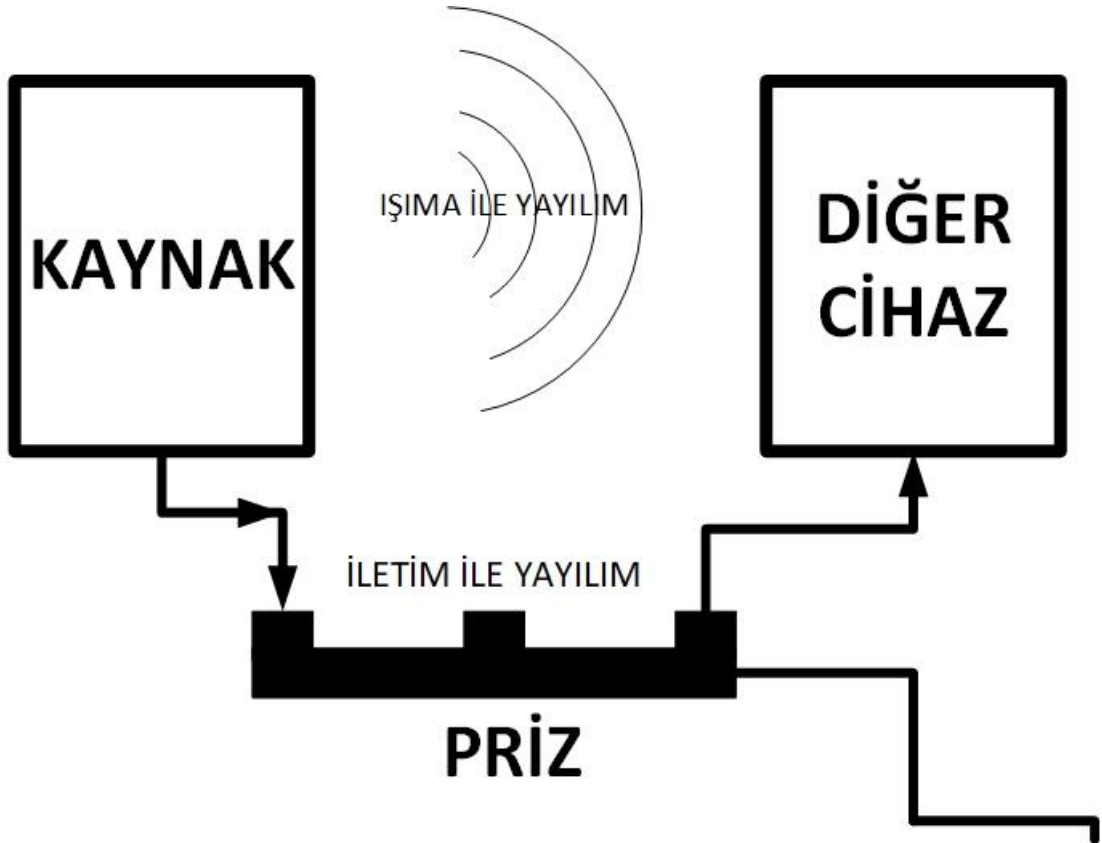
Şekil 4.45. 8 GHz frekansta 4 numaralı besleme noktasının sol tarafta ölçüm, sağ taraftaki benzetimde elde edilen elektrik alan polar grafiği.....	58
Şekil 4.46. 8 GHz frekansta 5 numaralı besleme noktasının sol tarafta ölçüm, sağ taraftaki benzetimde elde edilen elektrik alan polar grafiği.....	59
Şekil 4.47. 8 GHz frekansta 10 numaralı besleme noktasının sol tarafta ölçüm, sağ taraftaki benzetimde elde edilen elektrik alan polar grafiği.....	59
Şekil 4.48. 1 numaralı besleme noktasının ölçüm ve benzetimde elde edilen S11 grafiği.....	60
Şekil 4.49. 2 numaralı besleme noktasının ölçüm ve benzetimde elde edilen S11 grafiği.....	61
Şekil 4.50. 4 numaralı besleme noktasının ölçüm ve benzetimde elde edilen S11 grafiği.....	61
Şekil 4.51. 5 numaralı besleme noktasının ölçüm ve benzetimde elde edilen S11 grafiği.....	62
Şekil 4.52. 10 numaralı besleme noktasının ölçüm ve benzetimde elde edilen S11 grafiği.....	62

ÇİZELGE DİZİNİ

Çizelge 3.1. Yüksek ısı iletimine sahip metaller ve k değerleri	27
---	----

1. GİRİŞ

Çevremizde bulunan ve elektrik kullanan her türlü elektronik, elektromekanik veya elektro-optik cihazlar, çalışmaları esnasında etraflarına elektromanyetik ışına yaparlar. Etrafa ışınan bu elektromanyetik dalga içinde bulunduğu ortamdaki diğer cihazların ki bu cihazlar etkilenen cihaz olarak adlandırılır üzerinde bir akım indüklenmesine neden olur. İndüklenen bu akıma bağlı olarak etkilenen cihazda fonksiyon bozuklukları görülebileceği gibi etkilenen cihazın çalışma yeteneğini tamamen kaybetmesi de mümkündür. Anlaşılacağı üzere ortaya çıkan olgu çift taraflıdır. Kısaca ifade etmek gerekirse elektrik kullanan her cihaz ya başka elektrikli cihazları etkiler ya da kendisi başkalarından etkilenir. Bu olay kabaca elektromanyetik girişim (EMG) olarak adlandırılır ve bu problemi inceleyen bilim dalına elektromanyetik uyumluluk (EMU) denir. Elektromanyetik girişim ışına ve iletkenlik yoluyla olmak üzere temelde iki guruba ayrılır. Problemin tarafı olan kaynak ve etkilenen cihaz tarafından bakışımıza bağlı olarak yukarıda sayılan ışına ve iletkenlik yollu girişim problemleri de kendi içlerinde yayılım (emisyon) ve iletkenlik olmak üzere tekrar ikiye ayrılır. Bu durum Şekil 1.1’de gösterilmiştir. Bir elektronik cihazın EMU bakımından performansını incelemek istediğimizde temelde dört elektromanyetik uyumluluk test isteri ile karşı karşıya kalırız.



Şekil 1. 1. Işıma ve iletim yoluyla yayılım

Elektromanyetik ışınların pek çok nedeni olmakla birlikte yarı iletken devre elemanlarının elektronik devrelerde yaygın kullanımının artması da önemli bir nedendir. Bilindiği üzere yarı iletken devre elemanlarının boyutları hızla küçülmekte ve buna

paralel olarak anahtarlama hızları da neredeyse üstel olarak artmaktadır. Bu ise yarı iletken elemanın doğrudan ya da dolaylı bir yol üzerinden bağlı olduğu iletken yollar, elemanlar veya soğutucular üzerinden kolayca ve çok yüksek frekanslarda ışıma yapması sonucunu doğurur. Literatürde BJT, FET, MOSFET, JFET vb. transistörler ile bunları barındıran anahtarlama güç kaynakları (AGK) neden oldukları EMG problemlerinin çözümüne ilişkin pek çok çalışma bulunmaktadır. Gong vd. (2013) evirici motor sürücülerin sebep olduğu ortak mod akımlarının iletkenlik yoluyla yaptığı ışımaları incelemişlerdir ve bu ışımaların temel kaynağı olarak JFET anahtarlama elemanın göstermişlerdir. Günümüzde yaygın olarak kullanılan AGKlar anahtarlama hızlarının ve verimliliğinin yüksek olmasından dolayı tercih edilmesine rağmen yüksek anahtarlama hızına bağlı olarak yüksek frekans harmonik bileşenlerinin aktarılmasına neden olmaktadır. Bu ise üstesinden gelmesi gereken bir problemdir. Ahn ve Oh (2014) harmonik bileşenlerin soğutucular vasıtasıyla çevreye yayıldığını ve bu durumu minimuma indirmek üzere soğutucunun topraklanması gerektiğini beyan etmişlerdir.

Bu arada hızlı anahtarlama sonucunda anahtarlama elemanları ısınacağından işlevlerini düzgün bir şekilde yerine getiremeyeceklerdir. Bunun anlamı başta anahtarlama elemanları olmak üzere tüm elektronik devrenin bir soğutucu vasıtası ile soğutulması gerekliliğidir. Klasik anlamda soğutucular alüminyum veya bakırdan yapılmış basit metal kütlelerdir. İhtiyaca bağlı olarak bu metal kütlelerin yüzey alanını artırmak, içine açılacak yarıklar vasıtasıyla sıvı soğutma sistemi ile desteklemek ve açığa çıkan ısıyı daha kolay uzaklaştırmak için bir fan sistemi eklemek gibi yenilikçi uygulamalarda gereklidir. Piyasada soğutucu üreten firmalar farklı ısı değerleri için farklı boyut ve tasarımlara sahip soğutucular geliştirerek cihaz üreticilerine sunmaktadırlar. Etkili bir soğutma sunulabilmesi için tasarlanan soğutucunun yüzey alanının büyük tutulması esas alınmaktadır. Bunun sebebi konveksiyonla soğutma esnasında havanın daha büyük bir yüzeyle temas ederek soğutma verimini artırmasıdır. Bu bağlamda soğutucu tasarımcıları soğutucuların belirli bir hacim doğrultusunda yüzey alanlarını artırmak için kanatçık veya silindirik yapı benzeri termal tasarımlar gerçekleştirerek soğutma performansını artırmayı hedeflemişlerdir. Geliştirilen tasarımlar da kendi içerisinde farklı kombinasyonlar ile desteklenmiştir. Örneğin kanatçıkların dizilimi hacim üzerinde enine, boyuna, karşılıklı çapraz veya labirent şeklinde olabilir. Aynı zamanda kanatçıkların boyutları da değiştirilerek termal tasarımlar iyileştirilebilir.

Ortaya çıkan ısının etkili bir şekilde dışarı atılması için soğutucu yüzey alanının maksimum büyüklükte olması genel beklentidir. Ancak soğutucu yüzey alanının artması gerçekte o elemanın bir anten formu oluşturması anlamına gelecektir. Temelde mekanikçiler tarafından tasarlanarak kullanıcıya sunulan soğutucu alternatiflerinin elektronik devrelerle birlikte kullanılması bir anlamda kontrolsüz olarak elektromanyetik ışıma yapılması anlamını taşımaktadır. Soğutma performansını eksiltmeden soğutucular üzerinden ortaya çıkan elektromanyetik ısının kontrol edilmesi için soğutucunun şeklinin ve besleme noktasının uygun bir şekilde belirlenmesi gerekmektedir. Lu vd. (2010) soğutucu modellenmesinde besleme noktası büyük önem taşıdığına dikkat çekmişler. Bu nokta seçilirken soğutucu üzerindeki en sıcak noktanın üzerinde akım dağılımının en fazla olması dolayısıyla girişimin fazla olacağını belirtmişler.

Bu tez elektronik soğutucuların kanatçık boyu, sayısı, derinliği ve aralığının geniş bant elektromanyetik ışıma bakımından etkisini ele almıştır. Ayrıca soğutucu tabanına farklı noktalardan uygulanan sinyalin soğutucunun ışımasında oynadığı roller incelenmiştir. Çalışma ile birlikte cihaz tasarımcıları için yeterli soğutmayı garanti eden aynı zamanda ışıma bakımından da elverişli soğutucu modeli seçimine yönelik fikir vermek hedeflenmiştir.

Bu çalışmanın 2. Bölümünde kaynak taraması, 3. Bölümünde çalışmanın teorik yapısının ve ölçüm yönteminin bahsedildiği materyal ve metot kısmı, 4. Bölümünde çalışmaya ait benzetim ile ölçüm bulguları ve tartışma, 5. Bölümünde çıkarılan sonuçlar, 6. Bölümde çalışmada referans gösterilen kaynaklar ve 7. Bölümünde ekler yer almaktadır.

2. KAYNAK TARAMASI

Tezde soğutucular incelenirken soğutucuların termal davranışı ve elektromanyetik ışıma davranışı ayrı ve birbirinden bağımsız konular olduğundan farklı başlıklara ayrılarak incelenmiştir.

2.1. Soğutucuların Termal Davranışı

Bar-Cohen ve Rohsenow (1984) simetrik ve asimetrik paralel plakalar arasındaki mesafenin ısı transferini maksimize eden en uygun değerini belirlemeye yönelik analitik optimizasyonlar üzerine bir çalışma gerçekleştirmişlerdir. Çalışmada plaka yüzeyi boyunca ısı transfer katsayısının değişiminin kompozit ilişkilerin geliştirilmesi üzerine çalışmışlardır. Bu bağlamda kompozit ilişkileri matematiksel olarak geliştirip doğrulamak ve optimizasyon kısmının formülünü çıkarmak üzere çeşitli sınır şartları için denklemler çözümlenmiştir. Bu çözümlenmeleri bir tabloda toparlayarak; izotermal simetrik ve asimetrik plakalar, eş akışkan simetrik ve asimetrik plakalar için ısı transfer oranı, optimum plakalar arası boşluk değerini veren formülleri elde etmişlerdir.

Shah vd. (2004) sıkıştırılmış soğutucu yapısının performansını nümerik yöntemlerle ele almışlardır. Soğutucunun kanatçıklarının şeklinin ve soğutucu merkezine olan yakınlığının bağlı bulunduğu muhafaza üzerine ısı atma performansını incelemişlerdir. Soğutucunun merkez noktasında basınç değerinin yüksek olduğu dolayısıyla hava akışının önemli ölçüde azalacağını vurgulamışlardır. Bu durumu göz önüne alarak basınç değerini artırmadan termal performansı artırmak amacıyla en uygun soğutucu tasarımını gerçekleştirmek üzere farklı kanatçık şekillerini ve havanın farklı akış durumlarını araştırmışlardır. Kanatçıkların en, boy, yükseklik değerlerini değiştirip merkeze en yakın olan kanatçıkları çıkararak on yedi farklı tasarımı karşılaştırmışlardır. Isı akışını en iyi sağlayan ve basınç değerini artırmayan en uygun soğutucu şeklini belirlemişlerdir. Aynı zamanda soğutucunun merkezindeki kanatçığın çıkarılmasının ısı atış performansını ve hidrolik performansını artırdığını saptamışlardır.

2.2. Soğutucuların Işıma Üzerindeki Etkisi

Bhobe ve Sochoux (2010) soğutucuların uzak alandaki elektrik alan değerlerini karşılaştırmak için Frekans Seçici Geçerlilik (FSG) metodunu kullanmışlardır. İki farklı benzetim programında benzetimi yapılan ve ölçümü gerçekleştirilen soğutucu için elde edilen verilerin birbiri ile örtüştüğü gözlemlenmiştir. Ölçüm verisi referans olarak alındığında benzetim için kullanılan benzetim programlarının kabul edilen frekans aralığı içerisindeki belirli frekans değerleri için benzetim programları doğruluk yönünden karşılaştırılmıştır. Programdan elde edilen verinin ölçüm sonucu ile daha iyi uyduğunu belirlemek maksadıyla iyiden (0) kötüye (1.6) doğru 0 ile 1.6 arasındaki sayıları kullanarak bir sınıflandırma metodu oluşturmuşlar. Her iki benzetim programı içinde farklı frekanslarda veriyle örtüşme oranı birbirinden bağımsız sonuç vermiştir ve kendi aralarındaki örtüşmenin zayıf olduğu gözlemlenmiştir.

Shen vd. (2017) eşdeğer alan kaynağı yaratmanın bütünleşik devre yapılarından uzak alanda yayılan ışımaların tahmininde verimli bir metot olduğunu ileri sürmüşlerdir. Yayılan ışımaların en yüksek değerinin belirlenmesi için soğutucu ile bütünleşik

devrenin arasındaki boşlukta eşdeğer kaynak oluşturulmuştur. Soğurucu malzeme ile kaplı elektrik alan probuyla ölçüm alınmıştır. Alınan ölçüm neticesinde elde edilen elektrik alan değeri benzetim ortamında uyarım kaynağı olarak kullanılmıştır. Ölçüm ve benzetim sonuçlarının birbiriyle uyumlu olmasının yanı sıra ölçümde kullanılan fazlı kaynak için 40 GHz 'e kadar 7 dB hata, fajsız kaynak için 10 GHz 'e kadar 7 dB hata gözlemlenmiştir. Bu metot sayesinde elektrik alanın dikey bileşeni alınarak uzak alan ölçüm tahminleri yapılmış ve yansız oda ölçümlerine istinaden alternatif bir yol oluşturulmuştur.

Brench (1994) soğutucuların ışınım karakteristiklerinin soğutucu geometrisine bağlı olarak üç boyutlu olacak şekilde zamanda sonlu farklar metodunu (FDTD) kullanarak incelemiştir. Çok büyük ölçekte tümleşik devrenin ışınım kaynağı olarak modellenmesi için soğutucu ile toprak düzlemi arasına değişmeyen elektrik alan bölgesi kurarak gerçeklemiştir. Bu yöntemle sonuçların laboratuvar ortamında yapılan ölçümlere yakın olması amaçlanmıştır. Farklı boyutlu soğutucular incelenmiş fakat soğutucuların kanatçıklarının etkisi ışınım davranışına büyük bir etkisi olmadığından göz ardı edilmiştir. Ayrıca soğutucunun uyarım noktaları değiştirilmiş ve soğutucunun modül toprak düzlemine bağlantısının ışınım etkileri gözlemlenmiştir.

Lu ve Dawson (2006) sonlu elemanlar nümerik metodunu kullanarak mikro elektronik devreye bağlı olan soğutucunun benzetimini yapmışlardır. Bu benzetimde soğutucunun 3 farklı topraklama durumunu incelemiştir. Ele aldıkları soğutucu modeli Intel P4 işlemcide kullanılan soğutucu modelidir. Topraklamalı gerçekleştirilen benzetimde 2.6 GHz frekansta yansıma sabiti 8.3 dB olarak gözlemlenmiştir. Bu değer IEEE haberleşme standartlarına ve bluetooth kablosuz haberleşme çalışma frekansı olan 2.4 GHz e oldukça yakın çıkmıştır. Aynı zamanda diğer bir rezonans frekansı olan 4.5 GHz kablosuz haberleşme çalışma frekansı içerisinde var olup elektromanyetik uyumluluk açısından tehlike arz edebileceği belirtilmiştir.

Covert vd. (2007) hem soğutucunun hem de antenin gerekli olduğu örneğin yüksek güç verileri vb. durumlarda soğutucunun yaptığı ışımaları en üst seviyeye taşımaya avantaj yaratabileceğinden bahsetmişlerdir. Aynı zamanda bu gibi bir durum toplam bileşen sayısının azaltılması niteliğindedir. Bu fikri uygulamak adına mikro şerit yama anteni tasarım şartlarına uygun 2.4 GHz pin kanatçık yapısına sahip soğutucu anten tasarlamışlardır. 2.4 GHz pin kanatçık yapısına sahip soğutucunun yanında 5.8 GHz kalıp kanatçık yapısına sahip soğutucu üretmişlerdir. Ayrıca kalıp kanatçık yapısına sahip soğutucunun polarizasyonunun değişiminin ışınım yaptığı frekansı değiştirdiği gözlemlenmiştir. Bu yöntemle tasarlanan soğutucu antenin kazancını 12.6 dBi olarak hesaplamışlardır.

Zhu vd. (2008) Intel Pentium Dual Die işlemcinin ortaya çıkardığı harmonik bileşenlerin üzerine düşmesiyle soğutucunun yüksek ışınım frekansına sahip bir yama anten görevini gördüğünü ileri sürmüşlerdir. Bu bağlamda sonlu elemanlar yöntemi ile modelleyerek benzetimini gerçekleştirmişlerdir. Önceki çalışmalarında ele aldıkları Pentium 4 işlemcinin üst versiyonu olarak Pentium Dual Die işlemciyi incelemiştir. Moore kanunlarının geçerliliğini korumasıyla her 18 ayda bir geliştirilen işlemcinin transistör sayısı eskisinin 2 katına ulaşmaktadır. Bu göz önüne alındığında işlemci üzerinde bulunan soğutucunun anten davranışının artması beklenmektedir. İncelenen Pentium Dual Die işlemci 2.18 GHz ve 4.90 GHz de yansıma kat sayıları sırası ile -

20.94 dB ve -21.83 dB olarak ölçüm ve benzetimle ayrı ayrı elde etmişlerdir. Önceki çalışmalarında ele aldıkları Pentium 4 işlemcinin 2.6 GHz'de -8.3 dB yansıma kat sayısının elde edilmiş olması göz önüne alındığında yeni işlemci yapısıyla soğutucunun anten davranışının arttığını beyan etmişlerdir. Bu sorunsaldan kaçınmak adına çözüm metodu olarak soğutucunun şekil ve boyutlarının ışımayı azaltacak şekilde uyarlanmasını önermişlerdir.

Lu vd. (2010) yüksek güçlü mikro elektronik devreler olan Intel Pentium 4 ve Intel Pentium Dual Core için soğutucuları vasıtasıyla yaptıkları ışımaları 2.4 GHz ve 5 GHz'de sırasıyla -19 dB ve -8 dB'nin altında gözlemlemişlerdir. Bu frekanslar dikkate alındığında IEEE ve bluetooth haberleşme sistemlerine yakın olduğu görülmüştür. Buna istinaden çift çekirdekli işlemci ve çift kaynaklı modele dayanan yeni bir kıyaslama modeli önerilmişlerdir. Soğutucu modellenmesinde besleme noktası büyük önem taşımaktadır. Bu nokta seçilirken soğutucu üzerindeki en sıcak noktanın üzerinde akım dağılımının en fazla olması dolayısıyla girişimin fazla olacağına dikkat çekmişlerdir. 1 ile 6 GHz bandında benzetim ve ölçüm gerçekleştirerek yansıma kat sayılarını elde etmişlerdir. Farklı soğutucuların bulunduğu ölçüm ve benzetimde frekans bandında iki rezonans frekansı gözlemlemişlerdir. İlk rezonans frekansı 1.77 GHz ile 2.18 GHz aralığında diğer rezonans frekansı ise 5.25 GHz ile 5.52 GHz aralığında farklı soğutucu modelleri için farklılık göstermiştir.

Manivannan vd. (2010) soğutuculardan yayılan ışımaları azaltmak için soğutucu boyutlarını Taguchi tasarım metodunu kullanmışlardır. Benzetimini sonlu elemanlar nümerik yöntemi ile gerçekleştirip yarı yansız odada yapılan ölçüm sonuçlarıyla da desteklemişlerdir. Taguchi metoduyla 27 farklı kombinasyon elde etmişlerdir. Bu kombinasyonlar ışıma bakımından uygun soğutucuyu bulmak adına soğutucu uzunluğu, soğutucu eni, kanatçık yüksekliği, taban boyu ve kanatçık sayısı parametreleriyle hesaplanmıştır. Soğutucu kanatçıkları yüksek frekansta monopole anten davranışı göstereceğinden bahsetmişlerdir. Taguchi tasarım metodundan elde edilen veriler ışıma üzerindeki etkisi bakımından soğutucu uzunluğunun %44 ile ana rolü oynadığı, ikinci olarak taban yüksekliğinin %22.79 oranla, üçüncü olarak soğutucu eninin %21.62 oranla, dördüncü olarak kanatçık sayısının %5.8 oranla, beşinci olarak ise kanatçık boyu %3.2 oranla sonuçlara etki ettiği ancak kanatçık kalınlığının %1'in altında olduğunu gözlemlemişlerdir. Ölçüm ve benzetimler 1 ile 10 GHz aralığında yapılmış olup elde edilen sonuçlara 3 GHz'de var olan rezonans frekansında ulaşılmıştır.

Georgerian ve Montrose (2003) soğutucuların 100-700 MHz aralığında hem ışıma bakımından hem de soğutma bakımından en uygun davranışı göstermesi gerektiğini söylemişlerdir. Soğutucu çevre güvenliği, soğutmakla yükümlü olduğu cihazı soğutmayı garanti etmesi gibi bir takım termal yükümlülükleri yerine getirmesi gerektiğinden bahsetmişlerdir. Ancak bu yükümlülükler yerine getirilmediğinde soğutucular üzerindeki fazla ısıdan ötürü çevreye karşı tehlike arz etmekte olduğunu örnek olarak yangına sebebiyet verebileceği veya temas halinde deride yanık oluşturabileceğini eklemişlerdir. Gerekli soğutmayı sağlaması için soğutucu boyutlarının artması orantılı olarak soğutucunun anten davranışını da artıracığından ortaya bir ikilem çıkmıştır. Bu ikilemi aşmak için ışımayı en düşük, termal soğutmayı en yüksek düzeyde tutacak bir soğutucunun tasarlanması gerektiğine karar kılınmıştır. Işımanın gerçekleşmesi için dalga boyunun λ ile $\lambda/20$ arasında soğutucunun herhangi bir boyutunun bu aralıktaki dalga boyuyla eşleşmesinin gerekli olduğunu

belirtmişlerdir. Buna istinaden soğutucuların kanatçık boyunu değiştirip ışımaya etkisini ve termal yönden etkisini gözlemleyerek ikisi içinde en uygun değerleri veren soğutucuyu seçmişlerdir.

Manivannan vd. (2010) soğutucuların 1 ile 10 GHz frekans aralığında Taguchi tasarım metodu tabanlı Grey ilişkisel analizini kullanarak çoklu nesnel optimizasyonu yapmışlardır. Soğutuculardan yayılan ışımlar, termal direnç, basınç değişimi ve soğutucu kütlelerini düşürmeye, ortalama ısı transfer kat sayısını artırmaya çalışmışlardır. Taguchi tasarım metodu tabanlı benzetimde soğutucu uzunluğu, soğutucu eni, kanatçık yüksekliği, taban yüksekliği, kanatçık sayısı ve kanatçık kalınlığı parametre olarak soğutucu optimizasyonunu elde etmeye çalışmışlardır. Çoklu nesnel optimizasyon Grey ilişkisel analiz yöntemiyle tekli nesnel optimizasyona dönüştürülerek uygun soğutucu boyutlarını elde etmişlerdir. 3 GHz'de 27 farklı kombinasyonun benzetimini gerçekleştirip Taguchi tasarım metoduyla harmanlayarak en uygun olanları seçmişlerdir. Ölçüm sonuçları ile desteklemek üzere seçilen soğutucuları üretmişlerdir. Bu kombinasyonlarda kanatçık sayısı, boyu ve kalınlığının ışımaya etkisinin çok az olduğunu gözlemlemişlerdir. Grey analizi ile soğutucu ışıması, termal direnç, basınç değişimi ve kütlesi en küçük çıkan, ısı transfer kat sayısı en yüksek çıkan soğutucuyu belirlemişlerdir. Bu soğutucu en iyi soğutucu modelini oluşturmuştur. Ayrıca çalışma sonucunda Taguchi tasarım metodu tabanlı Grey analizinin soğutucu tasarımında en iyi yöntem olduğunu vurgulamışlardır.

Das ve Roy (1998) dairesel soğutuculardan yayılan ışımları incelemişlerdir. Soğutucuyu monopole anten şeklinde alarak sonlu elemanlar nümerik yöntemiyle benzetimini yapmış ve yarı yansız odada ölçümünü gerçekleştirerek ışıma örüntüsünü çıkarmışlardır. 1 ile 5 GHz arası gerçekleştirilen ölçüm ve benzetimde sırasıyla monopole beslemeyi, monopole besleme ile birlikte epoksi ve metal kapaktan oluşan yapıyı ve monopole besleme epoksi metal yapının üstüne soğutucuyu ekleyerek 3 ayrı model için sonuçları analiz etmişlerdir. Monopole beslemeyi 30.5 mm seçmişlerdir. Bu da 2.459 GHz'de çeyrek dalga boyunu oluşturmuştur. İlk modelde ışımların 2.35 GHz frekansına yakın bölgelerde yoğun olduğunu gözlemlemişlerdir. İkinci modelde monopole besleme 26 mm uzunluğuna düşmüş ve ışıma 2 ile 3 GHz arasında yoğun görülmeyle birlikte 2.45247 GHz'de tepe değerinde olduğunu 26 mm monopole beslemenin 2.88 GHz'de çeyrek dalga boyuna ulaştığını belirtmişlerdir. Soğutucunun eklendiği üçüncü modelde ise ışımanın tepe değerini 1.575 GHz'de elde etmişlerdir. Bu parametreler dahilinde ışımların soğutucunun eklenmesiyle düşük frekans bölgesine kaydığı sonucuna ulaşmışlardır.

Drewniak vd. (2001) soğutucuların sebep olduğu ışımları zamanda sonlu farklar yöntemi ile benzetimini yaparak incelemişlerdir. Ayrıca sonuçları desteklemek üzere ölçümlerini yapmışlardır. Farklı topraklama kombinasyonlarına sahip soğutucuların tasarımlarını benzetim ortamında gerçekleştirmişlerdir. Soğutucuların devre kartının üzerine sıkıca bağlanmasının herhangi bir elektriksel bağlantı olmadığı halde önemli oranda ışımayı azalttığını belirtmişlerdir. Soğutucudan çıkan toprak devre kartının topraklamasına iyi bir elektriksel bağlantı ile bağlandığında 100 MHz ile 5 GHz frekans aralığında 10 ile 25 dB arasında ışımayı azalttığını ifade etmişlerdir. Ölçüm ve benzetim sonuçları 1 GHz'in altında farklılık göstermekle birlikte 1 ile 5 GHz arasında birbiriyle örtüştüğünü dile getirmişlerdir. Ölçüm ve benzetimde birbirinden farklı 5 adet konfigürasyon denemişlerdir. Bu konfigürasyonlarda topraksız soğutucuların olduğu

durumlardaki ışıma sonuçlarının daha yüksek çıktığını beyan etmişlerdir. En iyi sonucu ise soğutucunun tüm köşelerinin topraklanmasıyla elde ettiklerini ve diğer konfigürasyonlara göre 100 MHz ile 5 GHz arasında 10 ile 25 dB aralığında azalttığı sonucuna ulaşmışlardır.

Ryan vd. (2002) soğutucuların zamanda sonlu farklar nümerik yöntemiyle benzetimini yaparak en uygun soğutucu geometrisi ve bileşenlerin en uygun yerleşim yerinin tespitine yönelik çalışma gerçekleştirmişlerdir. Bu çalışmadaki temel amaç ışımayı olabildiğince azaltmaktır. Besleme noktasını değiştirdiklerinde rezonans frekansın aynı kaldığı fakat uyarım seviyesinin değiştiğini gözlemlemişlerdir. Bu gözlemler neticesinde ışıma bakımından en yüksek sonuç beslemenin merkezde olduğu durumda elde etmişlerdir. Benzetim ortamında 0 Hz ile 1.5 GHz arasında ilk olarak ince kablo şeklinde bir boyutta besleme yapılmış ve en yüksek ışıma değerini beslemenin dik olarak alındığı durumda olduğunu ifade etmişlerdir. İkinci olarak iki boyutlu benzetim yapmışlar ve en ille boyun değişimini birbirlerine göre incelediklerinde 200 mm plakanın boyunun enine yirmide bir oranda olduğu durumda 31 dB ışıma değeri, boyun enine ikide bir oranda olduğu durumda 21 dB ışıma değerine ulaşmışlardır. Aynı zamanda ışıma grafiğinin şeklinin aynı kaldığını sadece seviyesinin değiştiğini belirtmişlerdir. Üçüncü olarak kanatçıkların etkisini hesaba katmışlar ve kanatçıkların rezonans frekansını düşürdüğünü öngörmüşlerdir. Bunun için enine, boyuna ve pin kirpi soğutucu şeklinde kanatçıkları denemişlerdir. Kanatçıkların etkisini ortaya koymak adına kütük şeklinde soğutucu alınmış ve 3 dB civarı ışımanın azaldığını gözlemlemişlerdir. Soğutucu merkezden uyarılıp boyuna kanatçık kullanıldığında enine kanatçıklara göre 1.5 dB ışımanın azaldığını belirtip kirpi soğutucuların enine kanatçıklar ile aynı sonucu verdiğini beyan etmişlerdir. Plakanın köşe noktasında uyarım yapıldığında plakanın enine ve boyuna kenarlarının orta noktalarındaki uyarıma göre ışıma değeri 320 MHz'de 10 dB fazla çıktığını saptamışlardır. Kenardan uyarım yapıldığında boyuna kanatçık yapısına sahip soğutucuların 11 dB, enine ve kirpi soğutucu pin (iğne) şeklindeki soğutucuların 20 dB ışımalarında artış olduğu sonucuna varmışlardır.

2.3. Güç Elektroniğinde Karşılaşılan Soğutucu Işıma Problemleri

Grobler ve Gitau (2017) metal soğutucuların topraklamaları üzerinden ilettikleri ışımayı azaltmak için polimer soğutucuları incelemişlerdir. Bu fikri soğutucu ile toprak arasındaki empedansı artırarak ışımayı azaltma düşüncesiyle ortaya atmışlardır. DC-DC (Doğru Akım-Doğru Akım) dönüştürücüyü ışıma kaynağı olarak soğutucunun üzerinde parazitik kapasitense yoluyla ortak mod akımlarına yol açtığını belirtmiş ve polimer malzemedan üretilmiş soğutucunun metal soğutuculara göre daha az kapasiten etki göstereceğine değinmişlerdir. Ayrıca polimer soğutucuların tıpkı metal soğutucular gibi ısıyı yeterli oranda uzaklaştırdığını ifade etmişlerdir. Sonlu elemanlar nümerik yöntemiyle benzetimini yapıp ölçüm sonuçları ile desteklemişlerdir. Ölçüm ve benzetim için EpoxAcast690 ve F19UrethaneResin olmak üzere iki farklı bakır katkılı polimer kullanmışlardır. Polimer malzemelerin termal performansını alüminyuma göre kıyaslamışlar ve alüminyum polimer malzemedan 3 kat daha iyi performans göstermiştir. Ancak termal iletken macun kullanımıyla bu oranı 2 kata düşürmüşlerdir. 120 W ve altı ısılar için polimer malzeme katkılı alüminyum katkılı soğutucuların güvenle kullanılabileceğini dile getirmişlerdir. İletkenlik yoluyla gerçekleşen ışımaları incelediklerinde 10 KHz ile 30 MHz aralığında fark mod akımları dikkate değer bir

değişiklik göstermese de ortak mod akımlarından elde ettikleri verileri analiz ettiklerinde polimer katkılı soğutucunun 100 KHz ile 30 MHz aralığında ışımayı 20 dBuV azalttığı sonucuna ulaşmışlardır.

He vd. (2008) devre kartlarında kullanılan ve kablo bağlantıları olan soğutucuların FCC ve CISPR standartları gereğince ışıma limitini aşmaması için üzerlerine indüklenen gerilimin oluşturacağı maksimum alanı belirlemeye yönelik kapalı formlu bir ifade türetmişlerdir. Tümüleşik devre elektriksel olarak küçükse ve soğutucunun kapasitensin tümleşik devreye göre küçükse yayılan ışımaların tahmini için bir model geliştirilebileceğine değinmişlerdir. Bu modelde soğutucu tümleşik devre kablo yapısının yerine eşdeğer tümleşik devre kablo yapısı kullanmışlardır. Eşdeğer gerilim kaynağını kablonun karta bağlandığı yere yerleştirmişlerdir. Bu sayede eşdeğer gerilimi hesaplamışlardır. Tam dalga benzetimi yapılarak 500 MHz'e kadar kabloyu ve soğutucuyu gösteren benzetimler birbirleriyle eşleşmiş, 500 MHz'in üstündeki frekanslar içinse soğutucudan gelen ışımaların kabloya göre daha baskın çıktığını gözlemlemişlerdir.

Rollin vd. (1999) tümleşik devrelerde bileşen seviyesinde paketleme yaparak istenmeyen ışımaların ortadan kaldırılabileceğini belirtmişlerdir. Bu doğrultuda 10 GHz'e kadar paketleme performansını artırmak amacıyla plastik bilye ızgara dizisi (PBID) ve süper bilye ızgara dizisi (SBID) olmak üzere iki farklı paketleme yöntemini ele almışlardır. GTEM hücresi içerisinde PBID ve SBID paketleme yöntemlerinin ölçümlerini gerçekleştirmişlerdir. SBID için ölçüm yapılırken PBID referans olarak alınmıştır. SBID paketleme 38 dB civarı ışımayı azaltma performansı göstermiştir. Ayrıca SBID paketleme yöntemi soğutucu ile kullanıldığında topraklama sayısı ve noktalarına oldukça bağımlıdır. 4 GHz'in altındaki frekanslarda topraklama sayısının artışı ışıma miktarının azalmasını sağlamıştır. SBID paketleme ile birlikte soğutucunun da kullanılmasıyla birlikte ışıma değerinin 8 dB arttığını beyan etmişlerdir. 4 GHz'in altında SBID paketleme ve optimum topraklamaya sahip soğutucunun birlikte kullanılması, yalın bir şekilde kullanılan PBID paketleme yöntemine göre 10 dB daha fazla ışımayı bastırdığını gözlemlemişlerdir.

Klotz vd. (1996) farklı test devreleriyle IGBT'lerin sebep olduğu iletkenlik yoluyla gerçekleşen ışımaları incelemişlerdir. Elde edilen sonuçlar dahilinde ortak ve fark mod ışımaların tahmin edilmesi için ortaya bir model çıkarmışlardır. Bu model vasıtasıyla EMU için çözümler belirlemeye çalışmışlardır. Ölçüm işleminde IGBT'lerin davranışını görmek üzere Chopper devresi alınmıştır. İnceledikleri NPT ve PT tipi IGBT yapılarının ışıma bakımından nerdeyse aynı sonuç verdiğini gözlemlemişlerdir. Elde ettikleri spektrumdaki farklılıkları ise diyotların geri kurtarma davranışına bağlı olan akım değişim oranları olarak yorumlamışlardır. Buna istinaden daha hızlı anahtarlamaya sahip NPT tipi IGBT 3 MHz'in üzerindeki frekanslarda daha yüksek ışıma değerlerini gösterdiğinden bahsetmişlerdir. IGBT için kullanılan soğutucu topraklandığında 260 KHz ile 8 MHz arasında 75 dBuV olan ışıma değerinin 92 dBuV değerine ulaştığını görmüşlerdir. Bunun sebebinin ise bariz bir şekilde ortak mod akımlarından kaynaklandığını belirtmişlerdir. Ayrıca model olarak IGBT üzerine farklı izolasyon malzemelerinin etkisini 500 KHz ile 8 MHz arasında incelemişler ve etkisinin maksimum 16 dBuV olduğunu elde etmişlerdir. Çalışma sonucunda ışıma spektrumunun yarı iletkenin yapısından bağımsız olduğuna karar vermişlerdir. Fark mod akımlarının temel kaynağı olarak diyotları göstermişlerdir.

Zhou vd. (2013) devre kartlarında kullanılan çeşitli elektronik ve mekanik bileşenlerin ışıma analizini gerçekleştirmek üzere sonlu elemanlar nümerik yöntemi temelli üç boyutlu elektromanyetik benzetim ara yüzü geliştirmişlerdir. Bu benzetim ara yüzünde optik konektörler, gövde üzerindeki ışımlar, soğutucular üzerindeki ışımlar ve fanlar gibi 1 ile 40 GHz aralığında modellenmişlerdir. Benzetimde elde ettikleri sonucu doğrulamak için laboratuvar ortamında yansıyan odada ölçümünü yapmışlardır. Sonuçların birbiriyle mükemmel şekilde örtüştüğünü beyan etmişlerdir. Benzetim yöntemini denemek adına soğutucu ile devre kartı arasına iki farklı soğurucu malzemeyi ayrı ayrı koyarak etkilerini incelemişlerdir. Önceki yapılan çalışmalar ve ölçümlerini referans olarak benzetimde 5 ile 25 GHz frekans aralığında 5 ile 10 dB aralığında zayıflama gözlemlemişlerdir. Bu sonuçlarında referans değerlerle iyi bir şekilde uyuştuğunu belirtmişlerdir.

Felic ve Evans (2001) anahtarlamalı güç kaynaklarının (AGK) sebep olduğu soğutuculardan yayılan ışımları araştırmışlardır. AGK'lar içerisinde bulunan MOSFET lerin drain-source voltaj değişiminin parazitik etkilerini incelemişlerdir. Soğutucu ile drain arasındaki parazitik kapasitansı azaltırsak ışımanın da azalacağını belirtmişlerdir. Buna sebep olarak ise azalan sürücü voltajının soğutucu üzerinde daha az etkisinin olacağını göstermişlerdir. 200 MHz ile 2 GHz aralığında zamanda sonlu farklar nümerik yöntemiyle soğutucunun benzetimini yaparak ışıma örüntüsünü çıkarmışlardır. Çalışmada özgün olarak soğutucunun AGK'larda kullanılması cihaz yakınlarında elektrik alanı artıracak yönde etki göstermesi beklenmiş ve bunu gözlemek adına bir deney düzeneği kurmuşlardır. Çalışmada hangi frekans aralığında ortaya çıkacak elektrik alanın genliği önem arz eder sorusundan yola çıkarak basit bir buck çevirici devresi kurmuşlardır. Devrede kullanılan mosfet üzerine bir soğutucu yerleştirmişlerdir. Elektrik alan tek kutuplu probu kullanarak 20 MHz ile 220 MHz aralığında ölçüm yapmışlardır. Ölçümde AGK'nın güç seviyesini 10 watt'ın altında ve anahtarlama frekansını 100 KHz'in üstünde tutmuşlardır. AGK açıkken ortamdaki ışıma seviyesi 10 ile 30 dB aralığında artmıştır. Soğutucu olmayan AGK da 35 MHz'de yapılan ölçümde 20 dB ışıma gözlemlemişlerdir. Ayrıca soğutucuyla yapılan ölçümlerde 25 ile 50 MHz arasında 25 dB civarında ışıma saptamışlardır.

Gong vd. (2012) evirici motor sürücülerin sebep olduğu ortak mod akımlarının iletkenlik yoluyla yaptığı ışımları incelemişlerdir. Evirici motor sürücü olarak silikon karpit (SiC) JFET'leri ele alarak üst kısımlarına yalıtkan metal tabaka (YMT) ekleyip ışımayı bastırmaya çalışmışlardır. YMT kullanılmış evirici ile soğutucu kullanılmış eviriciyi kıyasladıklarında ikisinde de aynı parazitik kapasitansı gözlemlemişlerdir. Ortak mod akımları için filtreler kullanılsa da filtrelerin sadece düşük frekans bölgesindeki ışıma bileşenlerini bastırdığını ancak orta ve yüksek frekans bileşenlerine etki etmediğini ifade etmişlerdir. Bu sorundan yola çıkarak ortak mod eşdeğer devresini parazitik bileşenler vasıtasıyla modellemişlerdir. Ayrıca modelin filtre ekleme kayıplarının da hesaplanmasına olanak sağladığını belirtmişlerdir. Deney ve hesaplamaları sonucunda iletkenlik yoluyla oluşan ışımları 150 KHz ile 30 MHz arasında bastırmaya yönelik bir rehber oluşturmuşlardır. Model önerildikten sonra farklı filtre tasarımlarını model ile karşılaştırmış ve en uygun filtre tasarımını tanımlamışlardır. Bunun yanında yüksek frekans bölgesinde ışımları bastırmak üzere alternatif çözümler önermişlerdir. Yapılan kıyaslamada YMT'nin 4.6 MHz'de yaptığı ışıma soğutucu kullanılan eviricinin yaptığı ışımadan 6 dB daha yüksek çıktığını

gözlemlemiştir. İncelenen farklı filtre modellerinde üçüncü dereceden LCL filtresinin dördüncü dereceden LCLC filtresi de olmak üzere diğer filtreler göre daha iyi sonuç verdiğini saptamışlardır. Bununla birlikte filtre boyu ve maliyetini de düşürdüklerini ifade etmişlerdir.

2.4. Işımların Kontrolü

Kullanayagam vd. (2011) parazitik kuplaj yoluyla oluşan elektrik güç kaynağı ile soğutucu arasındaki ortak mod akımlarını dolayısıyla soğutucunun ışımasını azaltmak amacıyla yeni bir filtre tasarımı önermişlerdir. Bu filtre tasarımında farklı giriş empedansına sahip iki adet demir çekirdek kullanılmıştır. Bu demir çekirdekler soğutucu ile güç kaynağı arasına yerleştirilmiştir. Soğutucunun eşdeğer devresi çizilerek demir çekirdeklerin empedans etkileri devreye dahil edilmiştir. Soğutucunun giriş empedansı rezonans frekansına kadar kapasitense gibi, rezonans frekansının üzerinde indüktans gibi davranmıştır. Yansımasız odada uzak alan ölçümleri yapılarak bu demir çekirdeklerin soğutucunun gerçekleştirdiği ışımayı zayıflatma etkileri 25 dB ve 15 dB olarak ölçülmüştür. Tasarladıkları filtrenin beklenildiği üzere zayıflattığı gözlemlenmiştir.

Chikando vd. (2010) tümleşik devrelerde kullanılan soğutucuların elektromanyetik ışımlarını azaltmak için yüksek dielektrik ve manyetik geçirgenliğe sahip mikrodalga soğurucu malzemelerin etkilerini araştırmıştır. Bu malzemeler için zamanda sonlu farklar metodu kullanarak benzetimini yapmış ve bulguların desteklenmesi için yansıyan ve yansımasız odada deney düzenekleri kurarak ölçüm yapmıştır. Soğutucu ile devre arasındaki boşluğa bu malzemeler yerleştirilmiş ve ışımayı 20 dB'e kadar azalttığı görülmüştür. Çalışmanın verdiği avantaj için zaman kaybı yaşanmaması esas alınarak hali hazırda var olan devrenin ve soğutucunun arasına soğurucu malzeme sonradan eklenerek ışımayı azaltması olarak bahsedilmiştir. Aksi takdirde ışımayı azaltmak için tasarım döngüsüne geri dönmeli ve bu bağlamda yeni tasarımı gerçekleştirilmelidir.

Archangeault vd. (2001) soğutucuların ışıma davranışlarını incelemeye yönelik farklı nümerik metotlara başvurmuşlardır. Işımayı azaltmak ve problem tanımını oluşturmak adına soğutucunun toplama sayısını bir ile sekiz arasında toprak bağlantısı olmak üzere farklı kombinasyonlar için farklı nümerik metotlarla denemişlerdir. Soğutucu modeli olarak bir kütük şeklinde soğutucu almışlardır. Soğutucunun kanatçıklarının alınmama sebebi ise önceki araştırmalara istinaden kanatçıkların sonuçlara etki etmemesi olarak beyan edilmiştir. Ayrıca kütük şeklinde soğutucunun alınması benzetimin basitte indirgenmesi için mükemmel bir yol oluşturmuştur. Topraklama sayısının etkisi yakın ve uzak alan için FDTD, MoM, ve FEM nümerik metotları ile denenmiş olup yaklaşık olarak aynı sonuçlara ulaşılmıştır. Soğutucu topraksız durumda maksimum ışıma gerçekleştirmiş ve topraklı durumlarda ise 30 dB civarı ışımayı azalttığını gözlemlemiştir.

Liu vd. (2015) Soğutucudan yayılan ışımları azaltmaya yönelik etkilerini gözlemlemek için manyetik soğurucu malzemeleri iletim hatları metoduyla Debye modelini kullanarak yansıma katsayılarını ve güç kayıplarını ölçmüşlerdir. Ayrıca ölçüm sonuçlarının yansıma benzetimi gerçekleştirilerek sonuçlar onaylanmıştır. Ele alınan iki adet soğurucu malzeme için ölçüm ve benzetim verilerinden dielektrik

geçirgenlik ve manyetik geçirgenlik kat sayılarını elde etmişlerdir. Kat sayılarının gerçek ve sanal kısımlarından oluşan eğriler Debye modeline uydurulmuştur. Benzetim ve ölçüm sonuçları arasında 6.5 dB değerinin altında olmak üzere ortalama 2.3 dB fark gözlemlenmiştir.

Kullanayagam vd. (2012) güç elektroniği elemanları kaynaklı parazitik kuplaj yoluyla soğutucu üzerinde oluşan ortak mod akımlarının çeşitli soğutucu boyutlarıyla değişimini nümerik metotlarla benzetimini yaparak incelemiştir. Aynı zamanda laboratuvar ölçümleri yapılarak bulgular desteklenmiştir. Işıma karakteristiklerinin değişimi soğutucunun topraklamalı ve topraklamasız durumlarına göre ele alınmıştır. Yapılan önceki çalışmalar referans alınarak soğutucunun kanatçıkların etkisi ihmal edilebilecek düzeyde az olduğu ve benzetimin daha kolay gerçekleştirilebiliyor olması nedeniyle soğutucu dikdörtgen bir kütük şeklinde alınmıştır. Elde edilen benzetim ve ölçüm sonuçlarında 500-580 MHz aralığında 8 dB sapma gözlemlenmiştir. Bunun sebebi olarak gerçek hayatta yapılan ölçümlerde yansımaz oda içerisinde bulunan diğer malzemelerin etkisi gösterilmiştir. Ölçüm ve benzetimde soğutucuyu desteklemesi adına soğutucu ve toprak düzlemi arasına farklı dielektrik malzemeler konulmuştur. Bu malzemeler içinde PVC'nin FR4'e göre 800-900 MHz arasında ışımayı 5 dB azalttığı gözlemlenmiştir. 600 MHz'in altında topraklamalı soğutucunun etkili olduğu kanaatine varılmış olup topraklama kablosunun anten haline gelmemesi için minimum empedansa sahip kablonun seçilmesi gerektiğini belirtmişlerdir.

Jin vd. (2018) soğutuculardan yayılan ışımanın belli bir frekans aralığını bastırmak üzere mantar tipi elektromanyetik bant boşluğu yapısını tasarlayarak soğutucunun alt kısmına yerleştirmişlerdir. Elektromanyetik dalganın mükemmel manyetik iletken düzlemi ve mükemmel elektrik iletken düzlemi arasındaki boşlukta, boşluğun miktarı çeyrek dalga boyundan daha küçük olduğunda güçlülük yayılabileceğini söyleyerek bu koşulu gerçekleştirmek adına mantar tipi elektromanyetik bant boşluğu yapısını benimsemiştir. Tasarladıkları elektromanyetik bant boşluğu yapısını soğutucunun alt kısmına yerleştirerek boşluk rezonanslarını bastırmışlardır. Ayrıca bu yapının parametrelerini değiştirerek frekans aralığını kontrol edebileceklerini belirtmişlerdir. Bu bağlamda nümerik yöntemlerle benzetimini gerçekleştirip yarı yansımaya odada alınan ölçüm sonuçlarıyla da desteklemiştir. Tasarladıkları yapının 9.2 GHz ile 15.8 GHz aralığında ortalama 10 dB civarı ışımayı azalttığını, 9.8 GHz ile 15.6 GHz arası ortalama 10 dB ışımayı azalttığını gözlemlemiştir.

Chiappe (2012) tümleşik devrelerde kullanılan soğutuculardan yayılan ışımaları azaltmak üzere farklı soğurucu malzemelerin performanslarını karşılaştırmışlardır. Referans olan diğer çalışmalardan ayrılan yönünü; soğurucu malzemelerin farklı kalınlıkta, farklı farklı ender ve farklı konumlarda kullanılması olarak belirtmiştir. İki farklı soğurucu malzeme soğurucu malzeme kullanmıştır. Bu malzemeleri 4 ile 10 GHz aralığında zamanda sonlu farklar nümerik yöntemiyle benzetimini gerçekleştirmiştir. Benzerimde eklenmiş halde bulunan soğurucu madde seçilmiş ve 4 ile 10 GHz aralığında soğurma yaptığını gözlemlemiştir. Ölçüm içinse benzetimden farklı soğurucu malzeme seçmiş ve 6 GHz'den 20 GHz'e kadar ışımaya yaptığına ulaşmıştır. Benzetimde soğutucuyu 8 noktadan topraklayarak soğurucu malzemeleri soğutucu ile tümleşik devre arasına yerleştirirken 3 farklı konfigürasyon gerçekleştirmiştir. İlkinde tamamen arasını dolduracak şekilde soğurucu malzeme ile

doldurmuştur. İkincisinde soğurucuyu araya halka şeklinde yerleştirmiştir. Üçüncüsünde soğutucunun kenarlarının etrafında bir etek şeklinde yerleştirmiştir. Üçüncü yöntem soğutucu ile tümleşik devre arasındaki ısı akışını engellemediği için diğer konfigürasyonlara göre avantaj sağlamıştır. Ayrıca bu yöntem kullanılırken tümleşik devre yüzeyi ile soğutucu yüzeyi birbirinin aynı ölçülerde olmalıdır. 1 ile 25 GHz arası benzetim sonuçları göz önüne alınarak soğutucunun topraklanmasının ışımaya etkisi 3 GHz’de yoğun olarak görülmüştür. Yüksek frekans bölgesinde ise soğurucu malzemelerin etki göstermesi ve soğurucu malzemenin kalınlık ile boyunun artmasının ışımayı daha fazla azalttığı saptanmıştır. İlk iki konfigürasyon için soğutucu ile tümleşik devre yapısı arasına konulan soğurucu malzemenin kalınlığının 3 mm ve üzeri ölçüler için ışımaları önemli ölçüde azalttığını dile getirmiştir. Üçüncü konfigürasyonda ise kenarları örten etek yaklaşımında soğurucu malzemenin eni 3 mm ve üzeri olduğunda ışımaları bastırdığını ifade etmiştir.

Talebzadeh vd. (2018) dört formlu faktör geçmeli (DFFG) kafesin soğutucular üzerindeki paketleme etkisini incelemiştir. Bunun için iki farklı kafes konfigürasyonunu üç farklı durum için uygulamışlardır. Bu durumları normal soğutuculu durum, soğutucu olmayan durum ve üzerinde değişiklik yapılmış soğutuculu durum olarak ele almışlardır. 1 ile 40 GHz frekans aralığında yansıyan odada tüm ölçümleri gerçekleştirmişlerdir. Farklı markalara ait üç optik modül kullanılmış ve ortalama bir paketleme değeri elde etmişlerdir. Soğutucuyla yapılan ölçümde soğutucu olmayan veya üzerinde değişiklik yapılmış soğutucu bulunan durumlara nazaran 5 ile 10 dB aralığında paketleme etkinliği gözlemlenmiştir. Işıyan soğutucunun DFFG kafesi üzerinde yeni yollar oluşturarak gövde yüzeyi üzerinden yayılabileceğini beyan etmişlerdir. Yaptıkları bu çalışmada soğutucuları optik modülleri soğutması amacıyla ele alıp modül ve soğutucuyu DFFG kafesinin içerisine yerleştirmişlerdir. Soğutucuların kafesin paketleme etkinliğini bozup bozmayacağını araştırmışlardır. Üzerinde değişiklik yapılan soğutucu diğer iki duruma göre daha yüksek bir paketleme etkisi göstermiştir. Bunun sebebi normal soğutucuda modül ile soğutucu arasında hava boşluğu vardır ve bu boşluktan elektromanyetik dalgaların yayılabileceğini belirtmişlerdir. Soğutucu olmayan durumda ise vida deliklerinin boş olmasından dolayı bu boşluklar üzerinde ışıma yapabilmekte olduğunu söylemişlerdir. Ayrıca soğutucu olmayan durumda normal soğutuculu duruma göre daha iyi paketleme etkinliğinin olduğunu vurgulamışlardır. Işımayı azaltmak adına soğutucu ile modül arasını conta ile pencere şeklinde sarmışlardır. Bunun neticesinde rezonans frekansları olan 5.5, 11, 22 GHz’de 7 dB paketleme etkinliğinin arttığını gözlemlenmiştir.

Kulanayagam vd. (2011) AGK’larda kullanılan soğutucuların ışımasını bastırmak üzere yeni bir filtre tasarımı önermişlerdir. AGK’dan soğutucuya doğru yayılan parazittik etkiyi eşdeğer devre şeklinde modellemişlerdir. Soğutucu topraklanırsa AGK’dan dolayı ortak mod akımlarının artacağını, topraklanmazsa etkili bir anten şeklinde davranacağını belirtmişlerdir. Soğutucu ile mosfet arasına bir soğurucu malzeme koymanın parazittik kapasitensin azaltacağı dolayısıyla ışımanın azalacağını beyan etmişlerdir. Ancak bu yöntemle düşük frekans bölgesindeki ışımalar bastırılmış ve yapı yüksek geçiren filtre davranışı göstermiştir. Yüksek frekans bileşenlerini ortadan kaldırmak üzere bir filtre tasarlamışlardır. Bu filtrede ferit çekirdekler kullanılarak soğutucu ile mosfet arasındaki dielektrik malzemenin yanlarına yerleştirerek eşdeğer devreye eklemişlerdir. Ancak oluşturdukları bu modelde termal

direnç artmıştır ve bunu da dezavantaj olarak nitelendirmişlerdir. Soğutucunun kanatçıklarının ışımaya etkisini gözlemlerine adına aynı boyutlarda fakat farklı kanatçık yapısına sahip üç adet soğutucunun 300 KHz ile 1 GHz aralığında Vektör Network Analizör (VNA) ile giriş empedanslarını hesaplamışlardır. İkinci adına ferit çekirdek koymadan metalik silindireler ekleyerek ölçüm yapılmış, üçüncü kısımda ise üç farklı ferit çekirdeğini ölçüme ayrı ayrı dahil etmişlerdir. Ayrıca yayılan ışınları gözlemlerine adına yansız odada 20 ile 300 MHz aralığında uzak alan ölçümlerini yapmışlardır. Giriş empedans eğrileri incelendiğinde soğutucu eşdeğer devresi seri rezonans devresi gibi davrandığını gözlemlemişlerdir. Giriş empedansı rezonans frekansına kadar kapasitif etki, rezonans frekansın üzerinde endüktif etki göstermiştir. Üç soğutucu içinde devre içi akımları aynı olduğundan aynı endüktif etkiyi ancak farklı parazitik kapasitansları olduğundan farklı kapasitif etki gösterdiğini dile getirmişlerdir. Ferit çekirdek konulduğunda eşdeğer devre empedansının arttığını saptamışlardır. Bunun sebebi olarak ferit çekirdeklerin çok yüksek empedansa sahip olması ve bu sayede ortak mod akımlarını azaltması olarak göstermişlerdir. Uzak alan ölçümlerinde ferit çekirdek ile ışımayı 20 ile 25 dB aralığında azaltmışlardır.

Ahn ve Oh (2014) 100 ile 600 MHz aralığında soğutuculardan yayılan ışınları azaltmak üzere soğutucu ile toprak arasına direnç eklemişlerdir. Farklı direnç değerleri için benzetim ve ölçümünü gerçekleştirip en uygun direnç değerlerini elde etmişlerdir. Soğutuculardan yayılan ışınları engelleme adına topraklamanın yapılmakta olduğu ancak topraklandığı takdirde iletkenlik yolu ışınların arttığını beyan etmişlerdir. Benzetim ortamındaki denemelerde görece düşük frekanslarda ışıma yoğunluğunu azalttığını elde etmişlerdir. 10 ile 20 ohm aralığında ise en iyi sonuçları gözlemlemişlerdir. Yansız odada yapılan uzak alan ölçümlerinde direk topraklı soğutuculara göre direnç kullanılan soğutucuların ışımasının 12 dB azaldığı sonucuna varmışlardır.

Wang vd. (2002) tümleşik devrelerde kullanılan muhafaza ve soğutucu deliklerinin büyüklük, sayı ve şeklini göz önüne alarak ışıma ve termal yönden etkisini incelemişlerdir. Deliklerin kalınlığının onları dalga kılavuzuna dönüştürebileceğinden bahsetmişlerdir. Ele alınan konuda havanın giriş çıkışının artırılarak devrenin termal durumu için verimli bir şekilde fan ve soğutucunun devreyi soğutmasını beklemektedirler. Muhafaza üzerinde olabildiğince delikler olmasını uygun bulmuşlardır. Ancak ışımayı ortadan kaldırmak üzere devrenin muhafaza kutusunun paketlenmesinin bozulmaması gerekmekte olduğunu ve bu deliklerin paketleme etkinliğini olumsuz yönde etkilediğini dile getirmişlerdir. Bu iki durumdan hareketle bir ikilem içinde kaldıklarını ifade etmişlerdir. Ortaya çıkan ikilemi çözmek adına soğutucu montajı için kullanılan paketlemeye sahip vida tasarımını tanıtmışlardır. Benzetim ve ölçüm sonuçları ile tasarımın etkisini ortaya koymuşlardır. Tasarladıkları vida sayesinde açığa çıkan ışınların 10 ile 25 dB arasında zayıfladığını saptamışlar.

3. MATERYAL VE METOT

Çalışmada soğutma işlemini gerçekleştirmek üzere alüminyumdan üretilen soğutucular ele alınacaktır. Açığa çıkan ısı miktarının belirlenmesiyle bir kütle miktarı elde edilecek ve bu kütle miktarını göz önüne alarak bir hacim hesaplanacaktır. Hacim miktarından yola çıkarak ise yeterli soğutmayı garanti eden bir yüzey alanı belirlenecektir. Ancak belirlenen toplam yüzey alanını içerecek en düşük hacimli elektronik soğutucunun ortaya çıkan fiziksel boyutları nedeni ile farklı frekans bileşenlerinde rezonanslar görülecektir. Bir başka ifade ile her bir soğutucu farklı frekans bölgesinde çalışan bir tür anten gibi davranacaktır. Bu nedenle genel anten teorisini kısaca ele almak gerekmektedir. Hesaplanan yüzey alanından hareketle elektronik soğutucuların ışıma davranışları ele alınacaktır. Bu davranışların analizi neticesinde cihaz tasarımcılarının EMU testlerinden geçiş süreçlerini hızlandırmaya katkıda bulunulacaktır.

3.1. Anten Teorisi hakkında Temel Bilgiler ve İlgili Parametreler

Soğutucuların ışımaları incelendiğinde taban boyutlarının ve besleme noktalarının değişimiyle oluşan etkiler sebebiyle yama anten, kanatçık yüksekliklerinin değişimiyle de monopole anten davranışı gösterdiği belirlendi. Bu kısımda temel anten teorisi ve parametrelerinin yanında yama anten ve monopole antenden bahsedilecektir. Genel itibariyle Antenlerin giriş empedansı ve yansıyan güç üzerindeki önemi tartışılmaktadır. Daha sonra ışıma verimliliği, yönlülük ve kazanç gibi anten parametreleri kısaca açıklanmıştır. Son olarak, Friis denklemi, bir RF sistemine ilişkin olarak anten parametrelerini birbirine bağlamak için tanıtıldı.

3.1.1. Giriş empedansı ve yansıyan güç

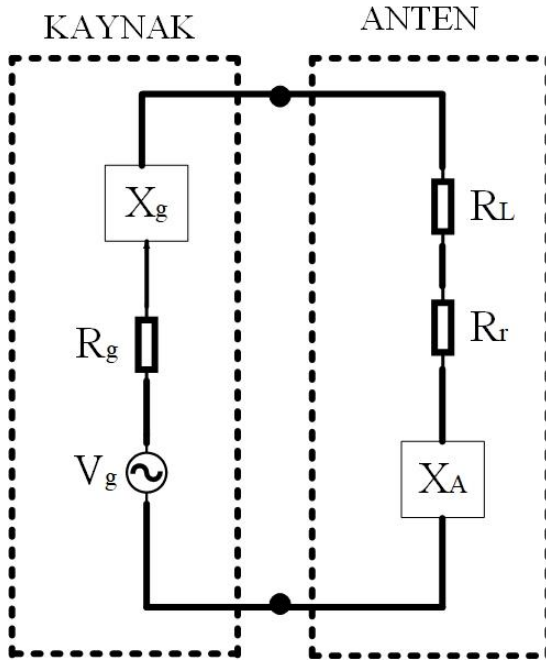
Bir antenin giriş empedansı, anten terminallerinde voltajın akıma olan oranı olarak tanımlanır. Genel olarak, giriş empedansı hem gerçek hem de sanal kısımlardan oluşur. Denklem 3.1’de bu durum gösterilmiştir.

$$Z_A = R_A + jX_A \quad (3.1)$$

Denklem 3.1’de Z_A giriş empedansını, R_A giriş empedansının gerçek kısmını ve X_A giriş empedansının sanal kısmını ifade etmektedir. Ayrıca gerçek kısımda iki parçaya ayrılabilir.

$$R_A = R_L + R_r \quad (3.2)$$

Denklem 3.2’de R_r ışıma direncini ve R_L kayıp direncini ifade etmektedir. Bu dirençler ve devre yapısı Şekil 3.1’de gösterilmektedir.



Şekil 3. 4. Thevenin eşdeğer anten devresi

Kaynak kısmının empedansı genel bir ifadeyle Denklem 3.2’de ki şekilde oluşturulabilir. Kaynak tarafından sağlanan güç Denklem 3.3 ile belirtilmiştir.

$$P_S = \frac{1}{2} R (V_G I_G^*) = \frac{1}{2} V_G R \left(\frac{V_G^*}{Z_G + Z_A} \right) = \frac{1}{2} |V_G|^2 \left(\frac{1}{R_G + R_L + R_r} \right) \quad (3.3)$$

Denklem 3.4’de V_G kaynağın tepe voltaj değerini göstermektedir.

Maksimum güç transferi $Z_G = Z_A^*$ karmaşık eşleniğinin eşleşmesi durumunda ortaya çıkar. Bu ifade Denklem 3.4 ve 3.5’deki şekilde de elde edilebilir.

$$R_G = R_A = R_L + R_r \quad (3.4)$$

$$X_G = -X_A \quad (3.5)$$

Bu durumda kaynak tarafından sağlanan güç eşitliği Denklem 3.6’daki haline indirgenir.

$$P_S = \frac{1}{2} |V_G|^2 \left(\frac{1}{R_G + R_L + R_r} \right) = \frac{1}{4} |V_G|^2 \left(\frac{1}{R_L + R_r} \right) \quad (3.6)$$

Işıma direnci R_r ye aktarılan güç P_r olarak Denklem 3.7’de ifade edilmiştir.

$$P_r = \frac{1}{2} |V_G|^2 \left(\frac{R_r}{4(R_L + R_r)^2} \right) = \frac{1}{8} |V_G|^2 \left(\frac{R_r}{(R_L + R_r)^2} \right) \quad (3.7)$$

Benzer şekilde kayıp direnci R_L ye aktarılan güç P_L Denklem 3.8’de verilmiştir.

$$P_r = \frac{1}{2} |V_G|^2 \left(\frac{R_L}{4(R_L + R_r)^2} \right) = \frac{1}{8} |V_G|^2 \left(\frac{R_L}{(R_L + R_r)^2} \right) \quad (3.8)$$

Kaynağın iç direnci R_G tarafından dağıtılan güç P_G Denklem 3.9'da verilmiştir.

$$P_G = \frac{1}{2} |V_G|^2 \left(\frac{R_G}{(R_r + R_L + R_r)^2} \right) = \frac{1}{2} |V_G|^2 \left(\frac{R_r + R_L}{(2(R_r + R_L))^2} \right) = \frac{1}{8} |V_G|^2 \left(\frac{1}{R_r + R_L} \right) \quad (3.9)$$

Denklem 3.8 ve 3.9 birleştirilmesiyle Denklem 3.10 elde edilir.

$$P_G = P_L + P_r \quad (3.10)$$

Temel prensip olarak eşlenik eşleştirme durumunda kaynak tarafından sağlanan gücün yarısı kaynak iç direnci üzerinde harcanırken diğer yarısı yükte aktarılmalıdır. Bu ifade yukarıdaki Denklemlerde de belirtilmiştir ve enerjinin korunumu sağlanmış olur.

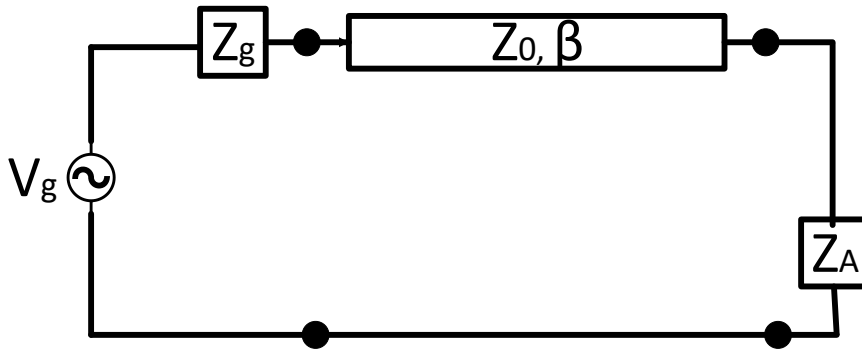
Güç ilişkilerini yansıma katsayısına göre tartışmak yararlıdır. Şekil 3.2, kayıpsız bir iletim hattı boyunca yüke (bir anten) bağlı bir kaynağı göstermektedir. Yük ile iletim hattı arasındaki yansıma katsayısı Denklem 3.11'de verilmiştir.

$$\Gamma_L = \frac{Z_A - Z_0}{Z_A + Z_0} \quad (3.11)$$

Denklem 3.11'de Z_0 iletim hattının karakteristik empedansını ve Z_A antenin giriş empedansını ifade etmektedir. Yansıma katsayısı karmaşık bir sayıdır, ancak büyüklüğün karesiyle eşleşmemesi nedeniyle yük tarafından yansıtılan giriş gücünün yüzdesiyle sonuçlanır. Kaynağın, iletim hattına ($Z_G = Z_0$) uygun şekilde empedansla eşleştirildiğini farz edersek, birden fazla yansıma oluşmaz ve antene aktarılan güç Denklem 3.12 ile ifade edilebilir.

$$P_{acc} = P_{inc}(1 - |\Gamma_L|^2) = P_{inc} - P_{refl} \quad (3.12)$$

Denklem 3.12'de P_{inc} antenin girişine gelen gücü ve P_{refl} empedans uyumsuzluğu nedeniyle yansıyan gücü belirtmektedir. Tek bir bağlantı noktası için yansıma sabiti Γ_L saçılma parametresi S_{11} 'e eşittir. Bu durum vektör ağ analiz cihazıyla ölçüm yapılarak kolayca gözlemlenebilir.



Şekil 3. 5. İletim hattı yoluyla kaynağa bağlı anten

3.1.2. Işıma verimliliği

Antenlere güç aktarımı esnasında empedans uyumsuzluğu nedeniyle birtakım kayıpların olduğundan bahsedildi. Ancak bu kayıplara ek olarak farklı kayıplarda

mevcuttur. Işıma verimliliği, yayılan gücün kabul edilen güce oranı olarak tanımlanır. Bu durum Denklem 3.13’de gösterilmiştir.

$$e_{rad} = \frac{P_{rad}}{P_{acc}} = \frac{P_{acc} - P_{loss}}{P_{acc}} \quad (3.13)$$

Denklem 3.13’de P_{rad} yayılan gücü ve P_{acc} verici anten tarafından aktarılan gücü ifade etmektedir. Ancak antenler çift yönlü olduklarından bu durum alıcı kısmı içinde geçerli olmuş olur.

3.1.3. Anten yönlülüğü

Antenler enerjiyi üç boyutlu bir alana yaydıklarından dolayı antenin ışımaya odaklama davranışından bahsedilmelidir. Yönlülük, belirli bir doğrultuda ışıma yoğunluğunun tüm alandaki ortalama ışıma yoğunluğuna oranı olarak tanımlanır. Denklem 3.14’de bu durum ifade edilmiştir.

$$D = \frac{U(\theta, \phi)}{U_{avg}} = \frac{4\pi U(\theta, \phi)}{P_{rad}} = \frac{4\pi U(\theta, \phi)}{\int_{\theta=0}^{\pi} \int_{\phi=0}^{2\pi} U(\theta, \phi) \sin(\theta) d\theta d\phi} \quad (3.14)$$

Denklem 3.14’de $U(\theta, \phi)$ verilen yöndeki ışıma yoğunluğunu, U_{avg} tüm yönlerdeki ortalama ışıma yoğunluğunu, P_{rad} anten tarafından yayılan toplam gücü göstermektedir. Tepe yönlülüğü, maksimum ışıma yoğunluğunun tüm alandaki ortalama ışıma yoğunluğuna oranı olarak tanımlanır. Bu yüzden $U(\theta, \phi)$ yerine U_{max} yazılarak tepe yönlülük değeri D_{peak} Denklem 3.15’de verildiği şekilde bulunulabilir.

$$D_{peak} = \frac{U_{max}}{U_{avg}} = \frac{4\pi U_{max}}{\int_{\theta=0}^{\pi} \int_{\phi=0}^{2\pi} U(\theta, \phi) \sin \theta d\theta d\phi} \quad (3.15)$$

Genel anlamda anten yönlülüğü Denklem 3.14 ile ifade edilmektedir. Ayrıca tipik olarak yönlülük $10 \log_{10}(D)$ formülü kullanılarak dB cinsinden belirtilir.

Bir yön bağımsız anten tüm yönlere eşit oranda ışıma yapar. Işıma örüntüsü mükemmel bir küredir. Ancak bu durum sadece teoride mümkündür. Yön bağımsız antenin her yöne eşit ışıma yoğunluğuna sahip olması nedeniyle, ortalama ışıma yoğunluğu (U_{avg}) herhangi bir yöndeki ($U(\theta, \phi)$) ışıma yoğunluğuna eşittir. Bu nedenle yön bağımsız bir antenin yönlülüğü boyutsuz olarak 1 ya da 0 dB dir.

3.1.4. Anten kazancı

Yönlülük bir antenin odaklanma özelliğini açıklarken, ışıma verimliliği hakkında hiçbir şey söylemez. Anten kazancı, antendeki kayıpları, radyo frekansı (RF) sistemlerine göre daha kullanışlı bir anten parametresiyle sonuçlanan yönlülük ile birlikte dikkate alır. Denklem 3.16’da anten kazancının yönlülük ile olan ilişkisi belirtilmektedir.

$$G = e_{rad} D \quad (3.16)$$

Denklem 3.16’da G ve D boyutsuz niceliklerdir. Ayrıca tepe yönlülük ifadesi D_{peak} denklemde yerine yazılırsa tepe kazancı G_{peak} elde edilmiş olur.

Anten kazancı ifadesiyle doğrudan bir kazançtan bahsedemeyiz. Bununla birlikte yön bağımsız bir antene göre güç kazanımını ifade etmektedir. Böylelikle enerjinin korunumu ilkesi ihlal edilmemiş olur. Örnek olarak iki anten düşünürsek her yöne eşit miktarda güç yayan anten yön bağımsızdır ancak gücünü belirli doğrultuda odaklayan anten ise o doğrultuda daha fazla güç iletir. Dolayısıyla her iki anten içinde karşılıklı bulunan alıcı antene göre davranışları da farklı olmuş olacaktır. Belirli yönde doğrultulmuş anten alıcı antene daha fazla güç iletacaktır. Alternatif olarak belirtildiği gibi, kazancı olan bir anten, etkili bir yön bağımsız yayılan güçle (EYBYG) ilişkili olabilecek miktarda güç iletir.

$$EYBYG = P_t G_t \quad (3.17)$$

Denklem 3.17'de P_t iletilen gücü ve G_t verici antenin boyutsuz kazancını ifade etmektedir.

3.1.5. Friis iletim denklemi

Friis iletim denklemi daha önce tartışılan parametreleri alır ve bunları RF sistemi bağlantısıyla ilişkilendirir. Ayrıca bu denklem RF haberleşme sistemlerinin temelini oluşturur. Denklem 3.18 de Friis denklemi verilmiştir.

$$P_r = \frac{G_t G_r \lambda^2}{(4\pi R)^2} P_t \quad (3.18)$$

Denklem 3.18'de P_r alıcı anten tarafındaki gücü, P_t verici anten tarafındaki gücü, R antenler arasındaki mesafeyi ve λ dalga boyunu ifade etmektedir. G_t ve G_r alıcı ve verici antenlerin tepe kazancını göstermektedir. Denklem 3.18'deki denklemde alıcı antenin gücü mutlak maksimum değere göre hesaplanmaktadır. Ancak bu denkleme kayıplar da eklenerek tekrar düzenlenmelidir. İlk olarak empedans uyumsuzluğuna hesaba katılmalıdır. Aktarılan gücün giriş gücüne oranı Denklem 3.19'da tekrar gösterildi.

$$\frac{P_{acc}}{P_{inc}} = (1 - |\Gamma_L|^2) \quad (3.19)$$

Denklem 3.19 yalnızca tek bir anten için geçerlidir. Ancak bir sistem hem alıcı hem verici antenleri içerdiğinden dolayı empedans uyumsuzlukları da dikkate alınarak Denklem 3.20'deki haline revize edilir.

$$e_{imp} = (1 - |\Gamma_t|^2)(1 - |\Gamma_r|^2) \quad (3.20)$$

Denklem 3.20'de Γ_t verici antenin yansımaya sabitini ve Γ_r alıcı antenin yansımaya sabitini ifade etmektedir.

Bir diğer önemli kayıp faktörü, iki antenin birbirine göre yönelimlerinin bir ölçüsü olan polarizasyon kaybı faktörüdür. İki anten arasında optimize edilmiş iletim için, aynı şekilde ve yönde kutuplaşmaları gerekir. Örneğin, yatay olarak kutuplaşmış bir verici anten, maksimum miktarda güç almak için yatay olarak kutuplaşmış bir alıcı anten ile birleştirilmelidir. Benzer şekilde, sağ dairesel kısmı polarize verici bir anten,

polarizasyon uyumsuzluğu kayıplarını en aza indirmek için sağ dairesel kısmı polarize alıcı bir anten ile birleştirilmelidir. Nicel olarak, bu durum Denklem 3.21’de tanımlanır.

$$e_{pol} = |\acute{e}_i \cdot \acute{e}_r|^2 \quad (3.21)$$

Denklem 2.21’de \acute{e}_i birim vektörü gelen düzlem dalganın elektrik alanının polarizasyonu belirtir ve \acute{e}_r birim vektörü alıcı antenin elektrik alanının polarizasyonu belirtir.

Açığa çıkan empedans uyumsuzluğu ve polarizasyona kayıpları dikkate alınarak Friis denklemi eklenir. Denklem 3.22’de bu kayıpları eklenmiş haliyle Friis denklemi verilmiştir.

$$P_r = \frac{G_t G_r \lambda^2}{(4\pi R)^2} P_t e_{imp} e_{pol} \quad (3.22)$$

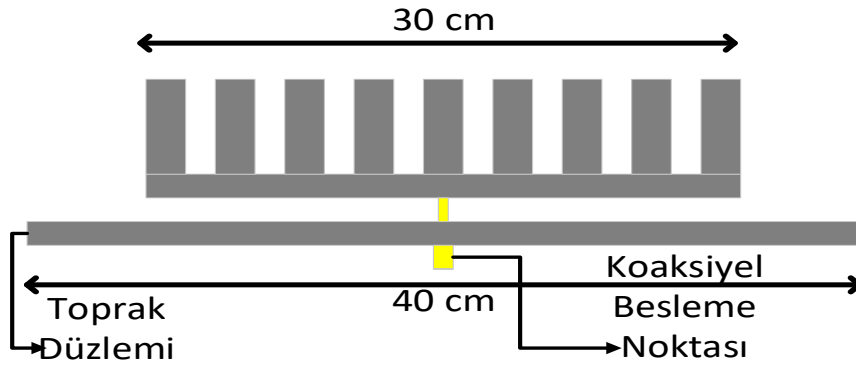
Pozar (1997) çok kayıplı etkiler ve atmosferden kaynaklanan zayıflama nedeniyle diğer kayıpların meydana geleceğinden bahsetmiştir. (moleküler oksijen ve moleküler su ile oluşan rezonanslar).

3.2. Soğutucuların Işıma Davranışı

Ortaya çıkan farklı yüzey alanları doğası gereği farklı rezonans frekanslarına sahip anten gibi davranacaklardır. Soğutucuların boyutlarındaki değişimler ışıma bakımından davranışlarının belirlenmesinde önemli bir role sahiptir. Işımaların oluşumu Denklem 3.23 ile açıklanır. Bu denklemde belirlenen f frekansına bağlı olarak bir λ dalga boyu hesaplanır. Soğutucunun herhangi bir ölçüsünün λ ile $\frac{\lambda}{20}$ dalga boyu arasındaki bir değerle eşleşmesi sonucunda yayılan ışıma oluşması beklenir.

$$\lambda = \frac{c}{f} \quad (3.23)$$

Denklem 3.23’de λ metre cinsinden dalga boyunu, c ışık hızını ve f MHz cinsinden frekansı ifade etmektedir.



Şekil 3. 6. Monopol anten olarak soğutucunun modellenmesi

Soğutucular ışığa bakımından incelenirken analizinin daha kolay olmasından dolayı monopole anten olarak ele alınır. Şekil 3.3.'de gözlemlendiği üzere soğutucunun alt kısmının da bulunan toprak düzleminde koaksiyel besleme noktası oluşturularak monopole antene benzetim gerçekleştirilir. Koaksiyel besleme için toprak düzlemine eklenen konektörün dış kısmı toprak düzlemiyle, iç kısmında bulunan pin ise soğutucuya temas ettirilerek model oluşturulur. Toprak düzleminde belirlenen koaksiyel besleme noktası farklı konumlar için farklı ışığa davranışı gösterir.

3.3. Mikroşerit Yama Antenler ve Soğutucu İlişkisi

İletim hattı modelini kullanarak, kare mikroşerit yama anten tasarımı, yama uzunluğunun çalışma frekansında yaklaşık yarım dalga boyu olması gerektiği varsayımıyla başlar. Dalga boyu temel denklem olan Denklem 3.24'den kolayca hesaplanabilir.

$$\lambda = \frac{c}{f} \quad (3.24)$$

Denklem 3.24'de c ışığın boşluktaki hızını, f dalganın frekansını ve λ dalga boyunu ifade etmektedir. Ancak bu varsayım boşlukta geçerlidir. Ortamın dalga yayılım hızına etkisi belirlenmelidir. Dalganın ortamdaki yayılım hızı V_p Denklem 3.25 ile hesaplanır.

$$V_p = \frac{1}{\sqrt{\epsilon_r \epsilon_0 \mu_r \mu_0}} = \frac{c}{\sqrt{\epsilon_r \mu_r}} \quad (3.25)$$

Denklem 3.25'de ϵ_r ortamın dielektrik geçirgenliğini ve μ_r ortamın manyetik geçirgenliği ifade etmektedir. Ayrıca Denklem 3.25'de verilen ϵ_0 ve μ_0 sırasıyla ortamın mutlak dielektrik geçirgenliği ve mutlak manyetik geçirgenliğidir. Bu şekilde ortamın manyetik geçirgenliği 1 kabul edilerek Denklem 3.26'da gösterildiği üzere yarım dalga boyu hesaplanabilir.

$$\frac{\lambda}{2} = \frac{V_p}{2f} = \frac{c}{2f\sqrt{\epsilon_r}} \quad (3.26)$$

Denklem 3.26'da ışık hızı cinsinden faz hızı ifadesi yerine yerleştirilmiştir. Aynı zamanda Denklem 3.26 yama antenin genişliğine eşittir. Bu ifade yerine yazılırsa genişlik W Denklem 3.27 ile elde edilir.

$$W = \frac{c}{2f\sqrt{\epsilon_r}} \quad (3.27)$$

Yama antenin boyunu Denklem 3.28 ile hesaplarız.

$$L = \frac{c}{2f\sqrt{\epsilon_{eff}}} - 2\Delta \quad (3.28)$$

Denklem 3.28'de Δ kırılma alanlarından dolayı oluşan manyetik duvarın uzantısını ifade eder. ϵ_{eff} kırılma alanlarından oluşan etkin dielektrik geçirgenliği belirtir ve Denklem 3.29'da matematiksel olarak gösterilmiştir.

$$\varepsilon_{eff} = \frac{\varepsilon_r+1}{2} + \frac{\varepsilon_r-1}{2} \left(1 + \frac{10H}{W}\right)^{-1/2} \quad (3.29)$$

Denklem 3.29'da H dielektrik alt tabaka kalınlığını ifade etmektedir. Denklem 3.30 ile Δ hesaplanabilir.

$$\Delta = 0.412H \left(\frac{\varepsilon_{eff}+0.300}{\varepsilon_{eff}-0.258} \right) \left(\frac{(W/H)+0.262}{((W/H)+0.813)} \right) \quad (3.30)$$

Yüksek frekanslarda (L veya $W > \lambda / 2$) soğutucu ve PCB arasındaki boşluk, boşluk rezonatör gibi davranabilir. Yapılan araştırmalar da rezonans 2D boşluğundan maksimum yayılan ışımaların hesaplanması sorununu ele almıştır. Kaynak iyi tanımlanmışsa, boşluk duvarları boyunca maksimum gerilim geliştirilen denklemlerden elde edilebilir. Kenar etkilerini hesaba katan L uzunluğu ve genişlik W uzatılmalıdır. Uzatma, uzunluk veya genişliğin her bir ucundaki yaklaşık aralıktır. Yani,

$$L_{eff} = L + 2S ; W_{eff} = W + 2S \quad (3.31)$$

Denklem 3.31'de L_{eff} boşluğun etkin uzunluğunu ve W_{eff} boşluğun etkin genişliğini ifade etmektedir. İki özdeş plakanın oluşturduğu bir 2D boşluk için, maksimum yayılan elektrik alan (\vec{E} alan) ifadesi geliştirilmiştir. Bununla birlikte, 2D boşluk nispeten büyük bir elektriksel iletken zeminin üzerinde bir plaka ($L_{eff} \times W_{eff}$) tarafından oluşturulduğunda, bu zeminden yansıyan \vec{E} alanı dikkate alınmalıdır. Maksimum emisyonu tahmin etmek için, PCB düzlemi sonsuz bir PEC topraklaması olarak modellenebilir. Dolayısıyla, böyle bir boşluktan maksimum yayılan \vec{E} alan elde edilen maksimum alanın iki katı olmalıdır.

$$|E|_{max} = 2 \frac{k\eta S I_{in}}{4\pi r} = \frac{k\eta S I_{in}}{2\pi r} \quad (3.32)$$

Denklem 3.32'de k boş alan dalga numarası, η boş alan iç empedansı I_{in} kaynak gürültü akımı ve r gözlem mesafesidir. Boşluğun kenarları boyunca voltaj, birinci rezonansın altındaki herhangi bir frekans için yaklaşık olarak sabittir ve boşluk boşluğu empedans formülünden elde edilebilir.

$$|V|_{max} = \frac{\eta S I_{in}}{L_{eff} W_{eff} k} \quad (3.33)$$

Denklem 3.32 ve 3.33 birbirileriyle oranlanırsa Denklem 3.34'de belirtilen $|E|_{max}$ ın $|V|_{max}$ a oranı bulunur.

$$\frac{|E|_{max}}{|V|_{max}} = \frac{k^2 L_{eff} W_{eff}}{2\pi r} \quad (3.34)$$

Rezonans boşluğu için, $TM_{mn}(m \neq 0, n \neq 0)$ kaynaklı uzak alan yayılan ışımalar genellikle yakındaki $TM_{m0}(m \neq 0)$ veya $TM_{0n}(n \neq 0)$ modlarından daha zayıftır. Bu nedenle, yalnızca son modlar oran tahmininde dikkate alınır. Birinci boşluk rezonansının üzerindeki frekanslar için, oran uzak alan formülünden $|E|_{max}$ hesaplanarak ve transfer empedans formülünden $|V|_{max}$ elde edilerek bulunabilir. Boşluğun TM_{m0} modu etrafındaki frekanslar için oranı Denklem 3.35'de verilmiştir.

$$\frac{|E_{m0}|_{max}}{|V_{m0}|_{max}} = \frac{mkW_{eff}}{\pi r} \quad (3.35)$$

Benzer şekilde TM_{0n} modu için \vec{E} alan voltaj oranı Denklem 3.36'da verilmiştir.

$$\frac{|E_{0n}|_{max}}{|E_{0n}|_{max}} = \frac{nkL_{eff}}{\pi r} \quad (3.36)$$

Boşluğun henüz yankılanmadığı düşük frekans ifadesi Denklem 3.34 ile yüksek frekans ifadesi Denklem 3.35 arasındaki bağlantı noktasını belirlemek için boşluk transfer empedansı formülü kullanılır. Düşük frekanslarda, boşluk basit bir kapasite olarak modellenebilir. Düşük frekans giriş empedansını birinci boşluk rezonansına (TM_{10}) eşitleyerek, iki ifade arasındaki bağlantı noktası Denklem 3.37 ile hesaplanır.

$$k = \frac{\pi}{\sqrt{3}L_{eff}} \approx \frac{2}{L_{eff}} \quad (3.37)$$

Daha yüksek mertebeden TM_{m0} veya TM_{0n} modlarını tercih eden özel yapıları olmayan normal boşluk yapılandırması için, maksimum yayılan ışımalar TM_{01} modunda meydana gelen ışımaları aşmayacaktır. Dolayısıyla bu modun üzerindeki frekanslar için maksimum yayılan emisyon ifadesi Denklem 3.38'e indirgenir.

$$\frac{|E|_{max}}{|V|_{max}} = \frac{|E_{01}|_{max}}{|V_{01}|_{max}} = \frac{k_{01}L_{eff}}{\pi r} = \frac{1}{r} \frac{L_{eff}}{W_{eff}} \quad (3.38)$$

Denklem 3.38'de $k_{01} = 2\pi/W_{eff}$ ifadesi TM_{01} modu için boş alan dalga numarasıdır.

TM_{01} Modunun olası geniş bant genişliğini dikkate almak için, bağlantı frekansı, TM_{01} modunun rezonans frekansları ve TM_{01} modundan daha yüksek olmayan en yüksek TM_{m0} modunun ortalaması alınarak kaydırılır. Böylece bağlantı frekansı Denklem 3.39 ile bulunur.

$$k = \left(\frac{\pi}{W_{eff}} + \frac{\pi}{L_{eff}} \right) / 2 \quad (3.39)$$

Denklem 3.40'da p ifadesi L_{eff}/W_{eff} ifadesine eşittir ve en yakın tam sayıya yuvarlanır. Maksimum boşluk ışımasının formülü Denklem 3.40'da verilmiştir.

$$\left| \frac{|E|_{max}}{|V|_{max}} \right|_{PATCH} = \begin{cases} \frac{k^2 L_{eff} W_{eff}}{\pi r}, & k \leq \frac{2}{L_{eff}} \\ \frac{k W_{eff}}{\pi r}, & \frac{2}{L_{eff}} < k \leq \left(\frac{\pi}{W_{eff}} + \frac{\pi p}{L_{eff}} \right) / 2 \\ \frac{L_{eff}}{r W_{eff}}, & k > \left(\frac{\pi}{W_{eff}} + \frac{\pi p}{L_{eff}} \right) / 2 \end{cases} \quad (3.40)$$

3.4. Monopole Antenler ve Soğutucu İlişkisi

Soğutucu yüksekliği, soğutucu genişliğinden daha uzun olduğunda kalın bir monopol anten olarak modellenebilir. İlk rezonansındaki bir monopol antenden maksimum yayılan alanın ifadesi Denklem 3.41'de verilmiştir.

$$E_{max} = \frac{\eta_0 I_0}{2\pi r}, \theta = \frac{\pi}{2} \quad (3.41)$$

Denklem 3.41'de I_0 monopol antenin kaynak akımını belirtmektedir.

Denklem 3.41'de ki E_{max} ifadesi monopol antenin ilk rezonans frekansından türetilmiştir. İlk rezonans frekansının üzerindeki frekanslarda ideal bir monopol antende yayılan \vec{E} alanın genliğinin daha yüksek olması beklenir. Ayrıca Denklem 3.41 yüksek frekanslardaki hesaplarda dahi kullanılabilir.

Rezonans frekansındaki monopol antenin girişindeki maksimum volt değeri $V_{max} = I_0 x R_{res}$ dir. Burada R_{res} monopol antenin rezonans giriş direncidir. Bu bilgilendirme dahilinde monopol antenden yayılan maksimum \vec{E} alanın monopol antenin girişindeki besleme maksimum gerilime oranı Denklem 3.42'de verilmiştir.

$$\frac{|E|_{max}}{|V|_{max}} = \frac{\eta_0}{2\pi r R_{res}} = \frac{120\pi}{2\pi r R_{res}} = \frac{60}{r R_{res}} \quad (3.42)$$

Monopol antenin ilk rezonans frekansından daha düşük frekanslarda, giriş empedansı çoğunlukla kapasitedir ve bu nedenle frekansla ters orantılıdır. Dolayısıyla, bu kalın monopole verilen besleme gerilimi, besleme akımı sabit ise frekansla ters orantılıdır. Aynı zamanda, maksimum yayılan alan, sabit bir besleme akımına sahip kısa (çeyrek dalga boyundan kısa) bir monopol için frekansla orantılıdır. Böylece maksimum \vec{E} alanın maksimum voltaja oranı yaklaşık olarak frekansın karesine eşittir. Bu durum Denklem 3.43'de gösterilmiştir.

$$\frac{|E|_{max}}{|V|_{max}} \approx \left(\frac{f}{f_{1st}}\right)^2 \frac{60}{r R_{res}} \quad (3.43)$$

Denklem 3.43'de f_{1st} kalın monopol antenin birinci rezonans frekansını ve f rezonans frekansından düşük değere sahip frekansı göstermektedir.

Monopol anten ilk rezonans frekansı, soğutucu yaklaşık üç çeyrek dalga boyunda olduğunda meydana gelir. Rezonanstaki bir monopol antenin giriş empedansı için olan ifadeler literatürde mevcuttur ve yazarların benzetimleri rezonansta bir monopol anten gibi ışyan bir antenin minimum giriş direncinin antenin spesifik boyutlarından bağımsız olarak yaklaşık 30-40 ohm olduğunu göstermektedir. Denklem 3.43'de R_{res} değerinin 36 ohm'a ayarlanması, mümkün olan en fazla yayılan ışımalar için (ilk rezonansa kadar olan frekanslarda), verilen bir mesafedeki bir monopol anten gibi ışyan bir soğutucudan ve verilen bir giriş voltajı için bir denklem sağlar.

Bir monopole antene ait ilk rezonans frekansı, yüksekliği çeyrek dalga boyuna yaklaştığında meydana gelir. Bununla birlikte, uç yüzün boyutlarının göz ardı edilemeyeceği kalın bir monopol anten için, ilk rezonans frekansı daha düşük bir şekilde kaydırılır. Akımın uç yüzeyler boyunca aktığı ilave mesafe, bir kalın monopol antenin etkin uzunluğunu arttırdığı şeklinde görülebilir. Rezonans frekansının kayması ait matematiksel ifade Denklem 3.44'de verilmiştir.

$$f_{1st-shifted} = \frac{c_0}{4\left(H+S+\sqrt{L_{eff}^2+W_{eff}^2/2}\right)} \quad (3.44)$$

Denklem 3.44'de c_0 ışığın boşluktaki hızını, H monopol antenin yüksekliğini ve S bakır plaka ile monopol anten arasındaki boşluğu ifade etmektedir.

Genel itibariyle soğutucudan yayılan \vec{E} alanın matematiksel ifadesi Denklem 3.45'de belirtilmiştir.

$$\frac{|E|_{max}}{|V|_{max}} \Big|_{Monopole} = \begin{cases} \left(\frac{f}{f_{1st-shifted}} \right)^2 \frac{60}{rR_{res}}, & f < f_{1st-shifted} \\ \frac{60}{rR_{res}}, & f \geq f_{1st-shifted} \end{cases} \quad (3.45)$$

3.5. Soğutucuların Uzak Alan Işımasında Rayleigh Kriteri

Soğutucu ışımaları uzak alan bölgesinde incelenmektedir. Ele aldığımız benzetim ve ölçüm modellerinde soğutucuların kanatçık sayısının farklı olduğu durumlar da mevcuttur. Soğutucu kanatçık sayısının ışımalar üzerine etkisini incelerken yüzey pürüzlülüğü ve kanatçıklar arası mesafenin ışımalar üzerindeki etkisi de göz önüne alınmalıdır. Bu hususta Rayleigh kriterinin bilinmesi büyük önem taşımaktadır.

Doğal yüzeyler pürüzlü olarak kabul edilebilir ve pürüzlülük bir elektromanyetik (EM) dalganın saçılma davranışının baskın faktörüdür. Herhangi bir saçılma yüzeyinin pürüzlülüğü, o yüzeyin kendine özgü bir özelliği değildir ancak iletilen dalganın özelliklerine bağlıdır. Hem iletilen dalganın frekansı hem de yerel geliş açısı, herhangi bir yüzeyin ne kadar pürüzlü veya pürüzsüz görüldüğünü belirler. EM dalganın dalga boyu λ ile istatistiksel pürüzlülük parametresi s olması arasındaki ilişki ks ile verilmiştir. Böylece artan dalga boyu ile, pürüzlülük terimi azalmaktadır, sonuç olarak, herhangi bir yüzey için göreceli pürüzlülük göstergesi $ks=2\pi/\lambda$ olarak dalga boyuna bağlıdır. Ayrıca, yerel geliş açısı, bir yüzeyin pürüzlülük durumunu tanımlamak için önemli bir rol oynar. EM dalgasının yayıldığı yakın alanda, yüzey, uzak alana göre daha pürüzlü görünür ki bu da gün batımının denizdeki yansısıyla karşılaştırılabilir. İdeal bir pürüzsüz yüzey olması durumunda, yansımanın özelliği iyi bilinen Fresnel Yansıtma Γ özelliği ile tanımlanabilir. Fresnel Yansıtma özelliği, iletilen bir dalganın iki dielektrik ortam (n) arasındaki ara yüzdeki yansımalarını karakterize eder. Örneğin n_1 hava ve n_2 homojen toprak ortamı. Fresnel katsayısı (Γ) iletilen θ 'nin ve yansıyan dalganın (θ') açısının ve saçılmanın dielektrik sabitinin bir fonksiyonudur.

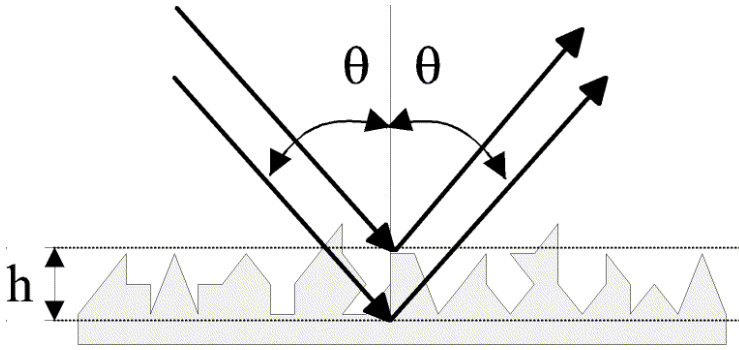
$$\Gamma_h(\theta) = \frac{\mu \cos \theta - \sqrt{\mu \varepsilon - \sin^2 \theta}}{\mu \cos \theta + \sqrt{\mu \varepsilon - \sin^2 \theta}} \quad \Gamma_v(\theta) = \frac{\varepsilon \cos \theta - \sqrt{\mu \varepsilon - \sin^2 \theta}}{\varepsilon \cos \theta + \sqrt{\mu \varepsilon - \sin^2 \theta}} \quad (3.46)$$

Denklem 3.46'da Γ_h ve Γ_v sırasıyla EM dalganın yatay ve dikey polarizasyonunu göstermekte olup, μ ise manyetik geçirgenlik sabiti olup doğal yüzeyler gibi ferromanyetik olmayan ortamlarda bire eşittir. Yerel geliş açısının artmasıyla birlikte yatay polarizasyonun etkisi de artar. Dikey polarizasyon belli bir açıda sıfıra düşer ve Brewster Açısı olarak bilinir. Bu açı iletilen dalganın dielektrik ortam tarafından tamamen soğurulduğu açıdır ve lokal geliş açısının artmasıyla aniden artar. Sabit bir dalga boyu ve sabit bir yerel geliş açısı göz önüne alındığında, iletilen bir EM dalganın farklı pürüzlülük koşullarına sahip bir yüzey ile etkileşimi, genel olarak, saçılma ne kadar dağılırsa veya yüzey ne kadar düzgün olursa, saçılmanın da o kadar yönlü olacağı şeklin de ele alınır. Fresnel Yansıtma özelliği, yukarıda açıklandığı gibi, ideal bir

pürüzsüz yüzey sınırı olarak göz önüne alınır. Doğal ortamda, yüzey durumu orta durumdan zor duruma doğru değişmektedir. Bir yüzeydeki ters saçılan EM dalga, yansıyan veya tutarlı ve dağınık veya tutarsız olan iki bileşenden oluşur. Tutarlı bileşen, pürüzsüz bir yüzey üzerinde özel bir yansıma olarak tepki verir ve bu nedenle mono statik bir radar durumunda, saçılma geri dönüşü olmaz. Tutarsız bileşen dağınık bir saçılmadır ve saçılma gücünü her yöne dağıtır. Yüzey pürüzlü hale geldikçe, tutarlı bileşen ihmal edilebilir hale gelir ve tutarsız bileşen sadece dağınık saçılmadan oluşur. Bir yüzeyi elektromanyetik açıdan, daha önce de belirtildiği gibi, pürüzsüz ya da pürüzlü bir şekilde tanımlamak isteğe bağlıdır. Bununla birlikte, pürüzsüz bir yüzey tanımlamak için sırasıyla Rayleigh ve Fraunhofer Kriteri olan iki ana kriter bulunabilir. Bazı açılarda θ pürüzlü bir yüzeye iletilen düzlem monokromatik bir dalga göz önüne alındığında, $\Delta\phi$ 'nin yüzeydeki ayrı noktalardan dağılmış iki ışın arasındaki faz farkını hesaplamak önemlidir:

$$\Delta\phi = 2h \frac{2\pi}{\lambda} \cos\theta \quad (3.47)$$

Denklem 3.47'de h, referans yükseklik ve θ ilgili yerel geliş açısına göre pürüzlülük yüksekliğinin standart sapmasıdır ve Şekil 3.4'de gösterilmiştir.



Şekil 3.4. EM dalganın θ geliş açısıyla pürüzlü yüzeye teması

Rayleigh kriteri, yansıtılan iki dalga arasındaki $\Delta\phi$ faz farkının $\pi/8$ radyandan küçük olması durumunda, yüzeyin pürüzsüz olarak kabul edilebileceğini ve Denklem 3.48 tarafından tanımlandığını belirtir.

$$h < \frac{\lambda}{8 \cos\theta} \quad (3.48)$$

Denklem 3.47'de belirtilen iki ışın arasındaki faz farkı, kanatçık sayısının artması sebebiyle iki kanatçık arası mesafenin azalması durumunda ele alınmaktadır. Faz farkı belirli bir kritik değer altına düştüğünde yani kanatçıklar arası mesafe belirli bir değer altına indiğinde kanatçıkların sayısının değişiminin soğutucunun uzak alandaki ışıması üzerinde herhangi bir etkiye sebep olmayacağından bahsedilebilir.

3.6. Soğutucuların Termal Açından Yüzey Alanı Hesabı

Cihaz tasarımcıları cihazlarını soğutmayı garanti eden ve aynı zamanda belirledikleri hacim sınırları içerisinde bulunan soğutucuları tercih ederler. Soğutucular tasarlanırken yüzey alanının maksimum olması hedeflenip farklı tasarımlar

gerçekleştirilerek piyasaya sunulmaktadır. Elimizde var olan bir soğutucunun ne kadar ısıyı atabildiğini hesaplamak için kondüksiyon ve konveksiyon ile ısı transferinin hesaplanmasına ihtiyaç duyulur. Soğutmak istediğimiz birim ile soğutucu arasında katı-katı (kondüksiyon) yoluyla ısı transferi gözlemlenir. Soğutucu ile hava arasında da katı-akışkan (konveksiyon) yoluyla ısı transferi gözlemlenir.

3.6.1. Kondüksiyon yoluyla ısı transferi

Katı-katı arası gerçekleşen ısı transferidir. Soğutucunun alüminyum, çelik, bakır vb. metalik özelliklerinin soğutma performansına etkisi açısından birbirinden ayrıldığı kısım dır.

$$Q = -k \cdot A \cdot \frac{\Delta t}{\Delta x} \quad (3.49)$$

Fourier ısı denklemi olan Denklem 3.49'da; Q watt (w) cinsinden aktarılan ısı miktarını, k watt/metre x Kelvin (w/m.K) cinsinden metalin ısı iletim katsayısını, A metre kare cinsinden (m^2) ısı geçişine dik yüzey alanı, Δt kelvin (K) cinsinden sıcaklık farkını ve Δx metre (m) cinsinden soğutucu taban kalınlığını ifade etmektedir. Bu eşitliğe soğutucu için kullanılan malzeme türünün etkisi k kat sayısı ile dahil edilmiştir. Yüksek ısı iletimine sahip metallerin k katsayıları Çizelge 3.1.'de verilmiştir. Çizelge 3.1.'deki metaller incelenecek olursa soğutucu tasarımında hem yüksek ısı iletim kat sayısı hem de düşük maliyet açısından genellikle alüminyum metali tercih edilmektedir.

Çizelge 3.1. Yüksek ısı iletimine sahip metaller ve k değerleri

	Altın	Bakır	Gümüş	Alüminyum	Tungsten
k (W/m.K)	314	385	406	205	180

3.6.2. Konveksiyon yoluyla ısı transferi

Katı-akışkan arası gerçekleşen ısı transferidir. Genellikle akışkan olarak hava kullanılır. Soğutucunun metalik yüzeyinde bulunan ısı, serbest hava ortamının sirkülasyonu sayesinde dışarı atılarak bertaraf edilmiş olunur.

$$Q = H \cdot A \cdot \Delta t \quad (3.50)$$

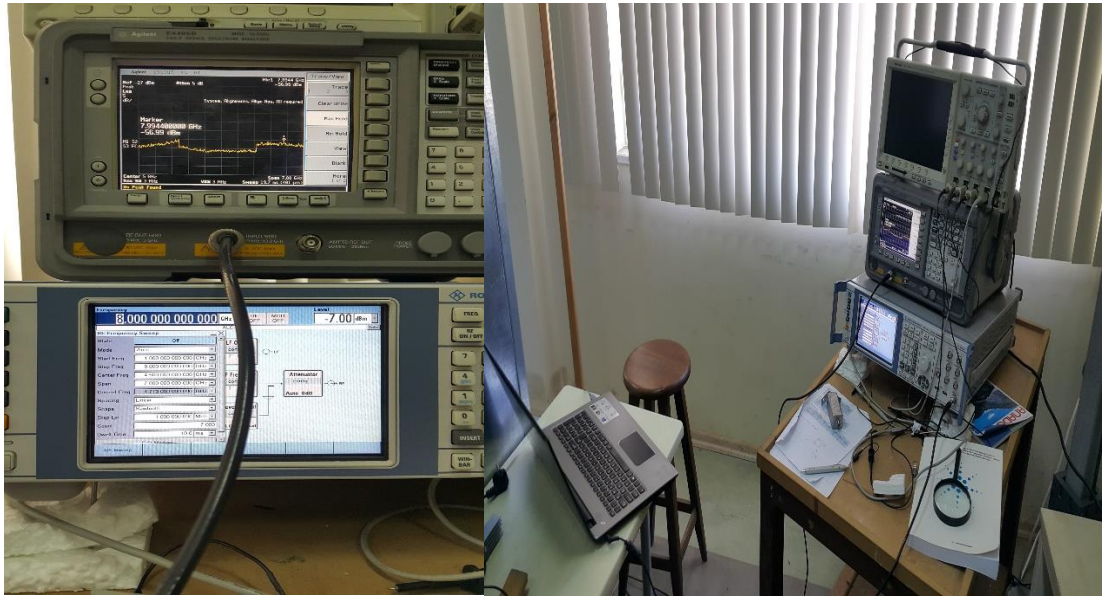
Newton soğuma denklemi olan Denklem 3.50'de Q watt cinsinden aktarılan ısıyı, H w/m.K cinsinden ısı taşınım katsayısını, A m^2 hava ile temas eden yüzey alanını ve Δt ise K cinsinden yüzey ile hava arasındaki sıcaklık farkını ifade etmektedir.

Denklem 3.49 ve Denklem 3.50'deki A yüzey alanı değerleri hesaplanır. Hem kondüksiyon hem de konveksiyon yoluyla ısı transferini garanti eden yüzey alanı belirlenir. Belirlenen bu yüzey alanıyla birlikte gerekli soğutucu tasarımına ait sınırlar belirlenmiş olur. Bu sınırlar çerçevesinde farklı soğutucu tasarımları gerçekleştirilir.

3.7. Ölçüm Metotları

3.7.1. Yansımaz odada yapılan uzak alan ölçümü

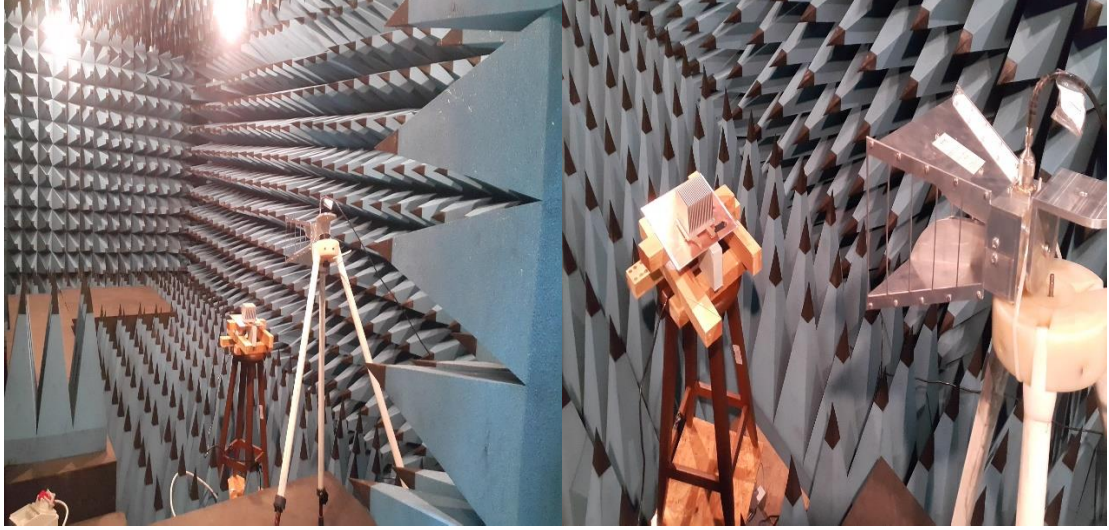
Elektrik alanın uzak alanda ölçümü gerçekleştirilirken bir takım düzenek ve cihazlar gereklidir. Bunların başında frekans bandına göre bir alıcı anten, yansımaz veya tam yansıyan oda, spektrum analizör, RF sinyal jeneratörü ve gerekli kablolar ile konektör ekipmanlarıdır. Ekipmanları tanıttığımız olursak; spektrum analizör belirli bir frekans aralığında girişine uygulanan sinyalin hangi frekansta ne kadar güce sahip olduğunu ölçmemizi sağlar. RF Sinyal jeneratörü ise özellikle yüksek frekans bölgesinde istediğimiz frekans değerinde cihazın sınırları içerisinde istediğimiz gücü çıkışına vererek aktarmamıza olanak tanır. Şekil 3.4’de ölçümde kullanılan spektrum analizör ve RF sinyal jeneratörü görülmektedir. Yansımaz odaya değinecek olursak, belirli frekans bölgesi için içerisinde bulunan özel tasarıma sahip köpükler içerideki elektromanyetik dalganın duvarlara çarpan bileşenlerini soğurarak sönümler ve ölçmek istediğimiz elektromanyetik dalganın direkt olarak gelen bileşeni yansımadan kaynaklı girişimler olmadan ölçülmüş olur. Ayrıca odanın dış metal yapısı sayesinde dışardan gelen ve girişime sebep olabilecek tüm elektromanyetik dalgaların içeri girmesini engeller.



Şekil 3. 5. Ölçümde kullanılan spektrum analizör ve RF sinyal jeneratörü

Tezde yapılan ölçümlerde soğutucunun anten ışına örüntüsü çıkarılmıştır. Ölçümü açıklamak gerekirse soğutucu ve toprak düzlemi hazırlanan bir düzenek vasıtasıyla döner masa üzerine yerleştirilir. Soğutucunun karşısına alıcı anten yerleştirilir. Antenin girişi RF kablolar vasıtasıyla spektrum analizöre bağlanır. Spektrum analizörün frekans aralığı ayarlanır. Döner masa üzerine yerleştirilen soğutucunun toprak düzleminde bulunan SMA konektör girişine RF kablo bağlanır. Bu konektörün iğne kısmı soğutucuya toprak kısmı bakır plakadan olan toprak düzlemine temas etmektedir. RF kablonun diğer ucu RF sinyal jeneratörüne takılır. Sinyal jeneratöründen istenilen frekansta bir güç uygulanarak soğutucuya aktarılır. Aktarılan güç neticesinde soğutucunu üzerinde bir akım indüklenir ve soğutucu anten gibi

davranarak ışımaya başlar. Döner masanın hassasiyeti ayarlanarak adım adım kendi etrafında bir tur dönecek şekilde konuşlandırılır. Her adımda yaydığı elektrik alan alıcı anten tarafından algılanarak spektrum analizörün ekranından gözlemlenerek kaydedilir. Tur tamamlandığıdaysa alınan veriler bir programda işlenir ve polar grafiğe dökülerek ışıma örüntüsü elde edilir. Ölçüm düzeneği ve yansısız odanın içinin görüntüsü Şekil 3.6'da verilmiştir.



Şekil 3. 6. Yansısız oda ve soğutucu ölçüm düzeneği

3.7.2. S11 parametresinin vektör network analizör ile ölçümü

S11 parametre ölçümü gerçekleştirilirken ölçülen yapının anten davranışı gösterdiği bölgelere bakılır. Kabaca bahsetmek gerekirse S11 parametresinin değeri normalize ekseninde herhangi bir frekans bileşeninde değer olarak $(-10, -\infty)$ aralığında bir değerdeyse aktif bir anten gibi davrandığı söylenebilir. S11 parametre ölçümü gerçekleştirilirken gerekli olan ekipmanlar; Vektör Network Analizör (VNA), RF kablo, ölçüm düzeneği ve konektörlerdir. Ekipmanlardan VNA'yı açıklayacak olursak; özellikle yüksek frekanslarda girişine bağlanan anten vb. yapının bir takım kalibrasyon işlemleri gerçekleştirildikten sonra genlik ve faz değerlerinin gerçek ve sanal değerlerine ulaşmamızı sağlar.

Tezde kullanılan soğutucunun S11 ölçümü gerçekleştirilirken uzak alan ölçümlerinde de kullanılmış olan koaksiyel giriş bağlı toprak düzlemi üzerinde yer alan soğutucu düzeneği kullanılmıştır. VNA tek giriş üzerinden yansıma kat sayısı S11 ölçümü için sırasıyla açık, yük bağlı ve kısa devre bağlantı yapılarak kalibre edilmiştir. Kalibrasyon yapılmış giriş RF kablo vasıtasıyla soğutucu düzeneğinin üzerinde bulunan konektöre bağlanmıştır. Gerekli frekans aralığı girilerek soğutucunun S11 parametre ölçümü gerçekleştirilmiştir. Ölçüm düzeneği ve VNA'ya ait görsel Şekil 3.7'de yer almaktadır.



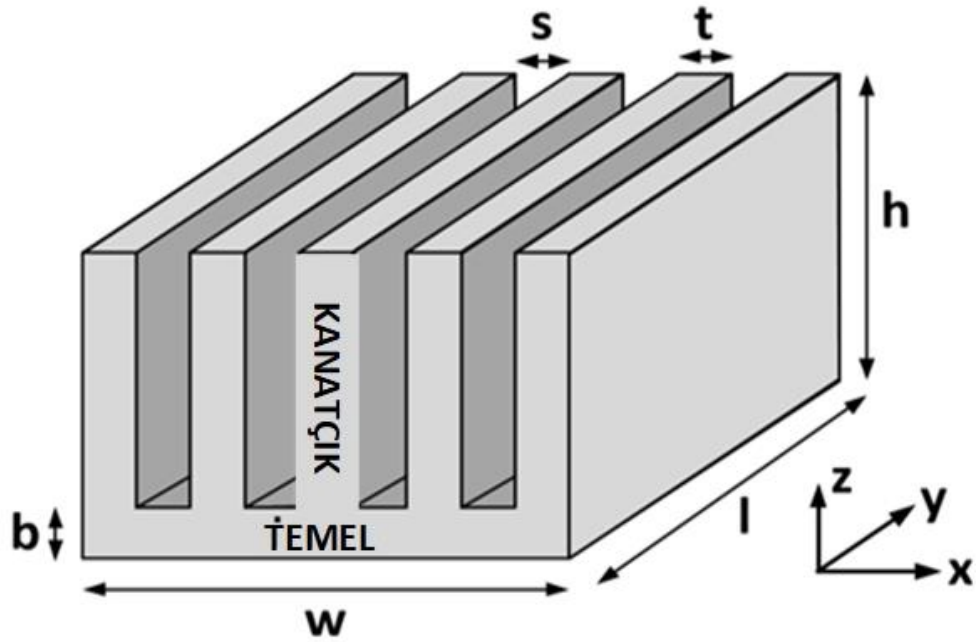
Şekil 3.7. S11 parametresi ölçümü VNA ve soğutucu ölçüm düzeneği

4. BULGULAR VE TARTIŞMA

Bu kısım 4 alt başlık altında incelenmiştir. Bunlar sırasıyla; soğutucunun parametrik analizi, soğutucunun taban yapısına göre analizi, soğutucunun kanatçık yapısına göre analizi ve soğutucunun besleme noktasına göre analizidir. Bu başlıkların yorumlanması için benzetimleri CST benzetim programında yapılmıştır. Ayrıca soğutucuların besleme noktasına göre analizi benzetimin yanı sıra laboratuvar ortamında yapılan uzak alan ve S11 ölçüleriyle de desteklenmiştir. Benzetimler için soğutucuların kaynak sinyali koaksiyel giriş ile sağlanmış olup incelenen frekans aralığı 1 – 8 GHz'dir. Elde edilen uzak alan ışınımına ait elektrik alan grafiklerinin yüzdelik RMS hata tablosu bölüm 7.1'de verilmiştir.

4.1. Soğutucuların Parametrik Analizi

Soğutucuların parametrik analizi yapılırken soğutucu boyu (l), soğutucu eni (w), soğutucu yüksekliği (h) ve kanatçık sayısı (n) parametreleri değiştirilerek uzak alan ışınımına olan etkileri ve s11 parametreleri incelenmiştir. Şekil 4.1'de soğutucu tabanı (base) üzerinde bulunan kanatçıklar (fin) ile birlikte genel parametreler belirtilmiştir. Ayrıca kanatçıkların arasındaki boşluğun belirlendiği fonksiyonda Şekil 4.1'de görülmektedir.

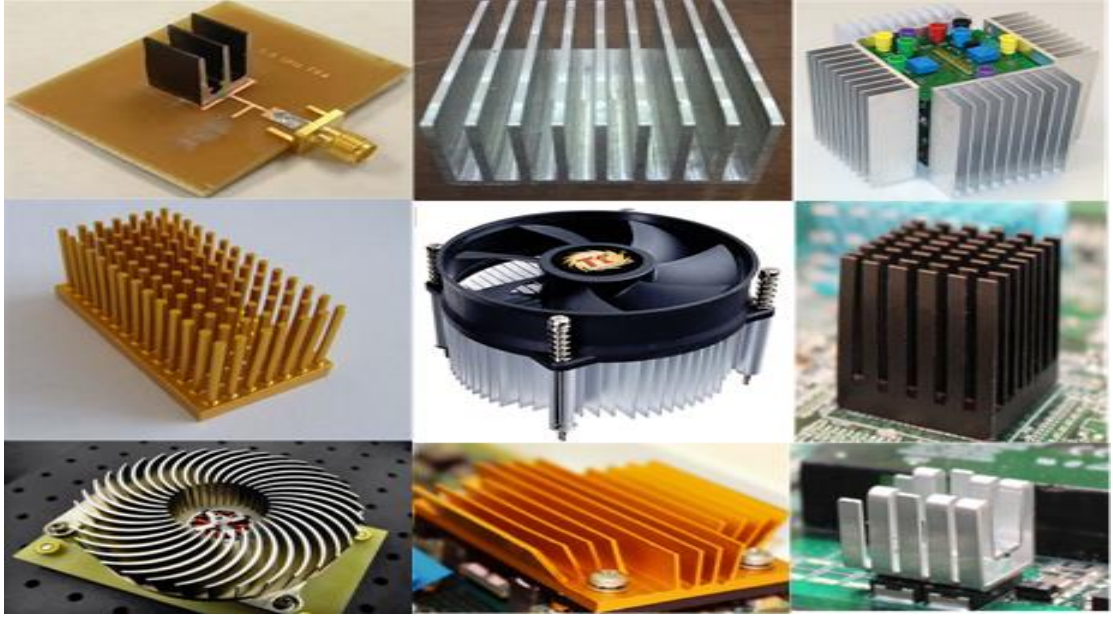


Şekil 4. 1. Soğutucu parametrelerinin soğutucu yapısı üzerinde gösterimi

4.1.1 Soğutucunun kanatçık sayısına göre analizi

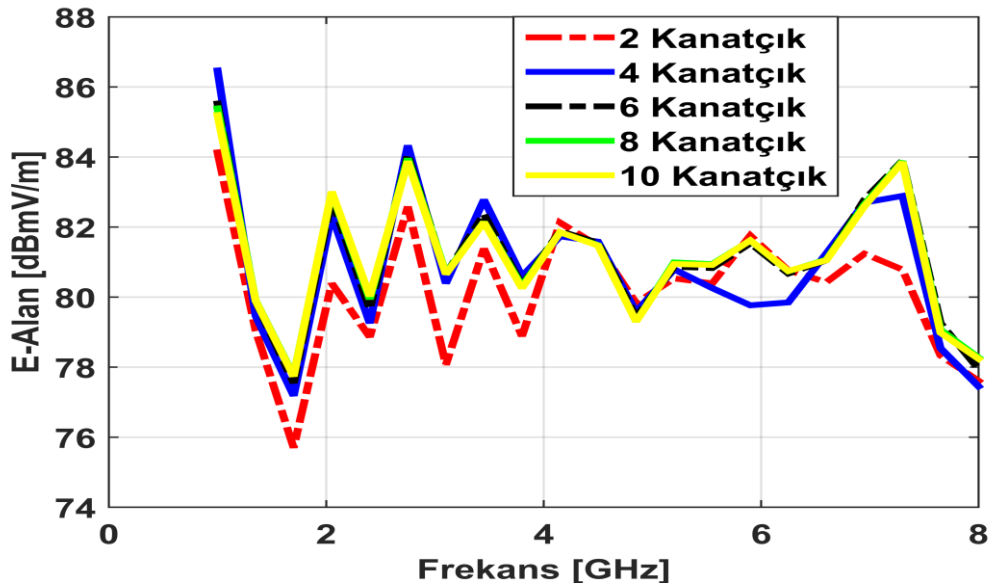
Kanatçıkların uzunluğu, derinliği ve kanatçıklar arasındaki mesafe mekanik anlamda soğutma performansını doğrudan etkilerken elektromanyetik ışınım davranışlarını da değiştirmektedir. Şekil 4.2'de soğutuculara ait bazı kanatçık yapıları görülmektedir. Bu kısımda kanatçık sayısının değişimine bağlı yapılan benzetimler

verilmektedir. Kanatçıkların etkisinin gözlemlenmesi adına diğer parametreler sabit tutulup kanatçık sayısı değiştirilerek benzetim yapılmıştır.



Şekil 4. 2. Farklı kanatçık yapısına sahip soğutucular

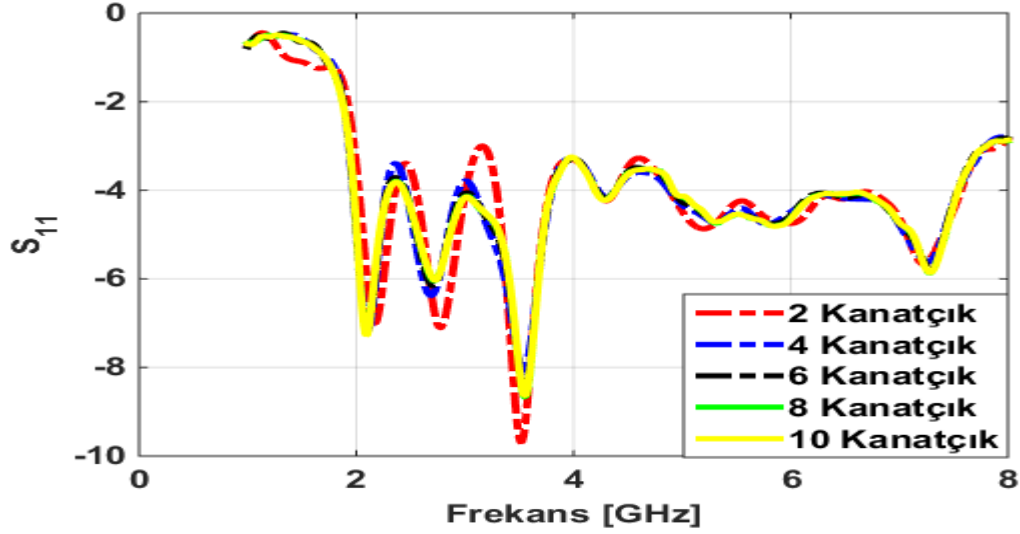
Benzetimlerde kanatçık sayısı sırasıyla 2, 4, 6, 8, 10 olarak değiştirilmiştir. Benzetimde kullanılan soğutucun ölçüleri; boy 100 mm, en 130 mm, yükseklik 84 mm, kanatçık kalınlığı 2 mm olarak seçilmiştir. Soğutucu ile toprak düzlemi arasındaki boşluk (gap) 5 mm olarak alınmıştır.



Şekil 4. 3. Soğutucunun kanatçık sayısı değişimine bağlı olarak elde edilen alan grafiği

Şekil 4.3'deki grafikte soğutucunun kanatçık sayısı değişimine bağlı olarak elde edilen elektrik alan grafiği verilmiştir. Grafik incelendiğinde kanatçık sayısı değişiminin

ışıkma üzerinde etkisinin neredeyse olmadığı gözlemlenmiştir. Değer olarak incelendiğindeyse en büyük farkın 2.5 dB'nin altında olduğu görülmüştür.

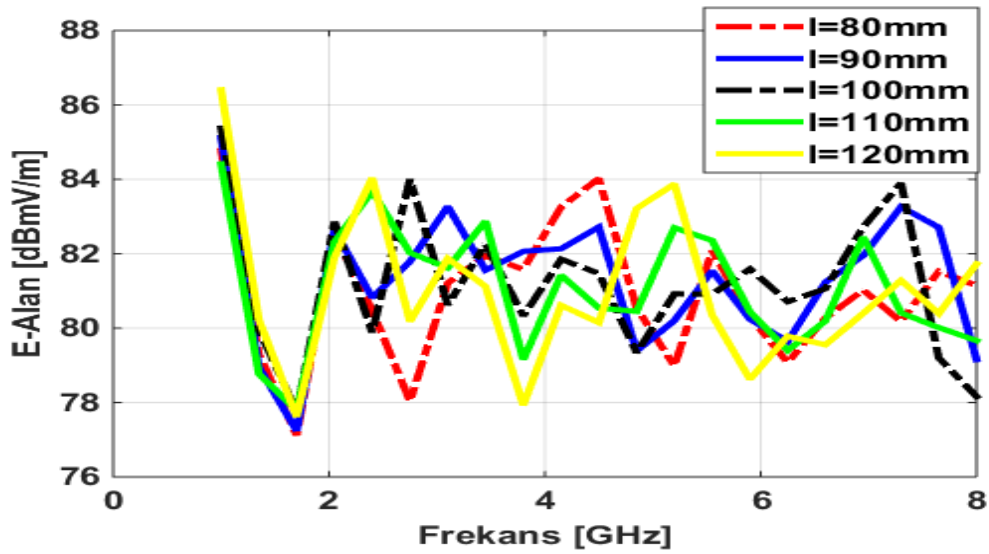


Şekil 4. 4. Soğutucunun kanatçık sayısı değişimine bağlı olarak elde edilen S11 grafiği

Şekil 4.4'de verilen S11 parametre grafiği incelendiğinde kanatçık sayısı değişiminin genel şekli değiştirmedeği belirlenmiş olup genlik olarak değişimin ise 1 dB'nin altında olduğu saptanmıştır.

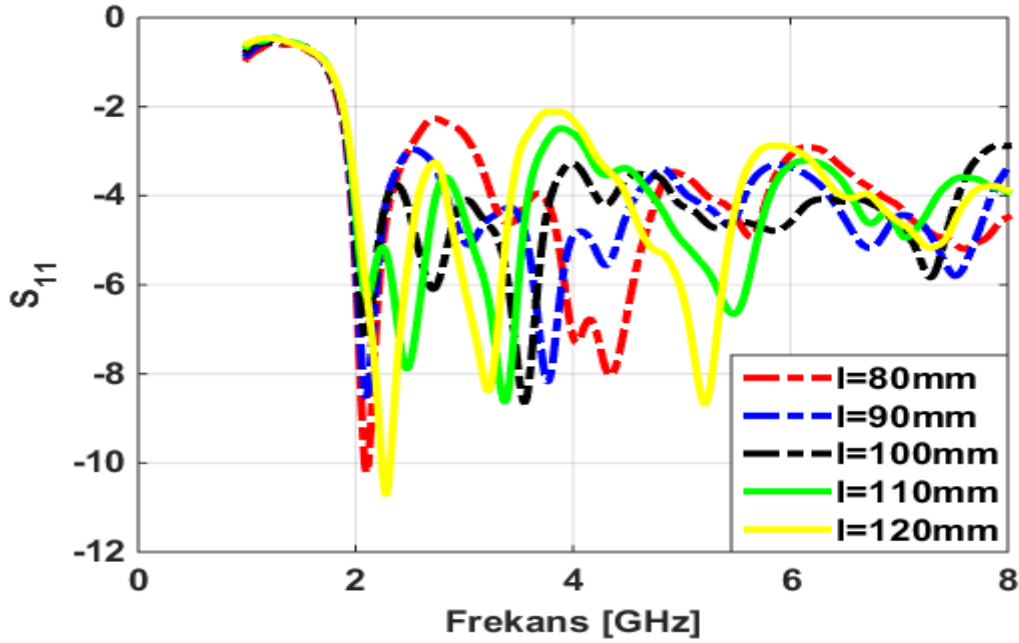
4.1.2. Soğutucunun boy değişimine göre analizi

Soğutucuların parametrik analizinde boyun değiştirilmesi yama anten davranışından dolayı ışıkma karakteristiğini ve genliğini değiştirir. Bu kısımda soğutucunun boyu için 80 mm ile 120 mm arasındaki değerler alınıp uygulanmıştır.



Şekil 4. 5. Soğutucunun boy değişimine bağlı olarak elde edilen alan grafiği

Şekil 4.5'deki grafik boy parametresinin değişimine bağlı olarak elde edilen elektrik alan değişimini vermektedir. Grafik incelendiğinde 2 GHz'e kadar boy değişiminin bir etkisinin olmadığı görülmektedir. 2.4 GHz'de boyun artmasıyla birlikte ışıma 4 dB artmıştır. 2.75 GHz'e bakıldığında 80 mm'ye göre 100 mm değeri 6 dB daha fazla ışıma yapmıştır. Ayrıca grafik olgusu incelenirse oluşan ışıma farkının cüzi miktarda genlik değişimiyle birlikte frekans kaymasından oluştuğu gözlemlenir.



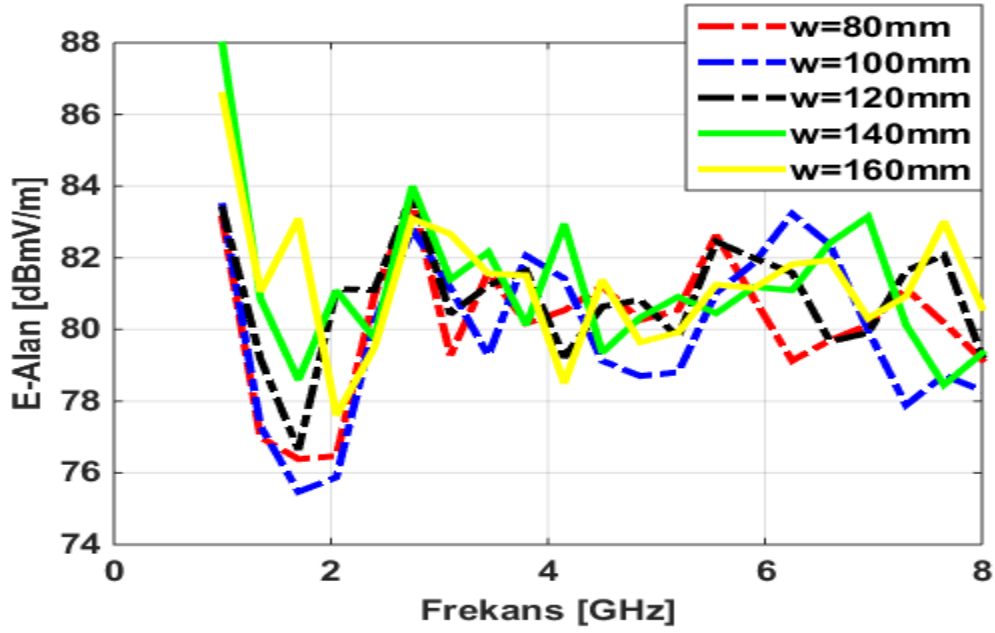
Şekil 4. 6. Soğutucunun boy değişimine bağlı olarak elde edilen S11 grafiği

Şekil 4.6'da boy değişimine bağlı olarak elde edilen S11 grafiği verilmiştir. Seçilen boyutlar için soğutucunun 2.1 GHz'de anten gibi davrandığı görülmektedir. Grafik olgusuna bakılacak olursa farklı frekans bölgeleri için faz kaymaları mevcuttur. 2 ile 4 GHz aralığında oluşan tepeler boyun artmasıyla birlikte düşük frekans bölgesine kaymıştır ve genlikleri değişmiştir. Aynı durum 4 ile 8 GHz aralığında da mevcuttur.

4.1.3. Soğutucunun en değişimine göre analizi

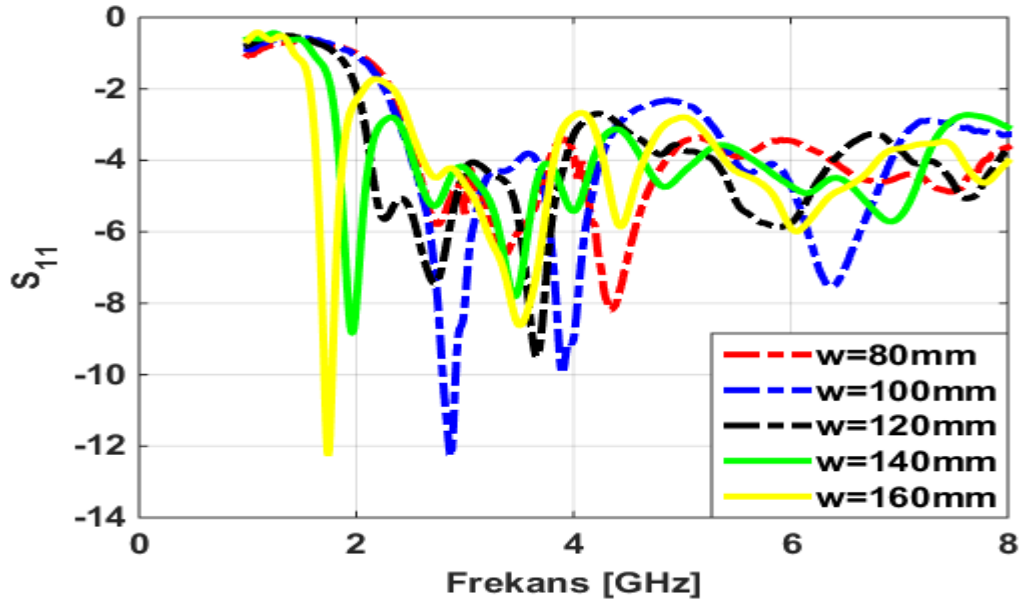
Önceki kısımda bahsedilen boy parametresinde olduğu gibi en parametresinin de yama antenden dolayı ışıma olgusu ve genliği üzerinde değişiminin dikkate değer oranda olması beklenir. Bu kısımda soğutucu eni 80 mm ile 160 mm aralığında değiştirilerek benzetim yapılmıştır.

Soğutucu eni değiştirilerek uzak alan için elde edilen elektrik alan grafiği Şekil 4.7'de verilmiştir. Grafikte 1 ile 2.1 GHz aralığı incelenirse en büyük ışıma değeri ile en küçük ışıma değeri arasındaki farkın 7 dB civarı olduğu görülür. Ayrıca bu bölgede en parametresinin artmasıyla beraber ışımanın arttığı yorumu da yapılır. 2.1 GHz ile 6 GHz aralığında ışımanın 3 dB'yi geçmemekle birlikte kabaca aynı olduğu görülmektedir. 6 ile 8 GHz aralığındaysa ışımanın yer yer 5 dB'nin üzerinde olduğu gözlemlenmektedir.



Şekil 4. 7. Soğutucunun en değerine bağlı olarak elde edilen alan grafiği

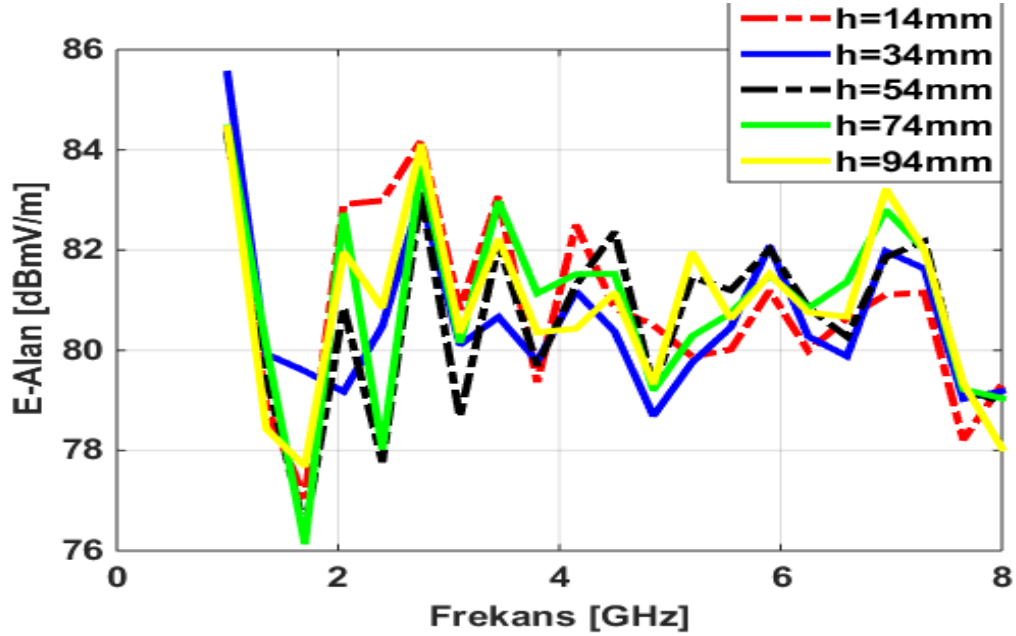
Şekil 4.8'de en değerine bağlı olarak elde edilen S₁₁ grafiği verilmiştir. 1.7 GHz'de 160 mm en değeri için ve 2.8 GHz'de 100 mm en değerinde soğutucunun anten gibi davrandığı görülmektedir. 3.5 ile 4 GHz aralığında en değerinin artmasıyla birlikte olgudaki tepenin düşük frekans bölgesine doğru kaydığı ve genliğinin azaldığı gözlemlenmektedir. Ayrıca grafik olgusuna genel olarak bakıldığında 2 GHz ile 8 GHz aralığında faz kaymasıyla birlikte genlik değerlerinin değiştiği saptanır.



Şekil 4. 8. Soğutucunun en değerine bağlı olarak elde edilen S₁₁ grafiği

4.1.3. Soğutucunun yükseklik değişimine göre analizi

Önceki parametrik analiz kısımlarında soğutucunun yama anten davranışından bahsedilmiştir. Bu kısımda ise soğutucunun yüksekliğinin değişimine bağlı olarak monopul anten davranışı incelenmiştir. Soğutucu yüksekliği 14 mm ile 94 mm aralığında değiştirilerek benzetimi yapılmıştır.

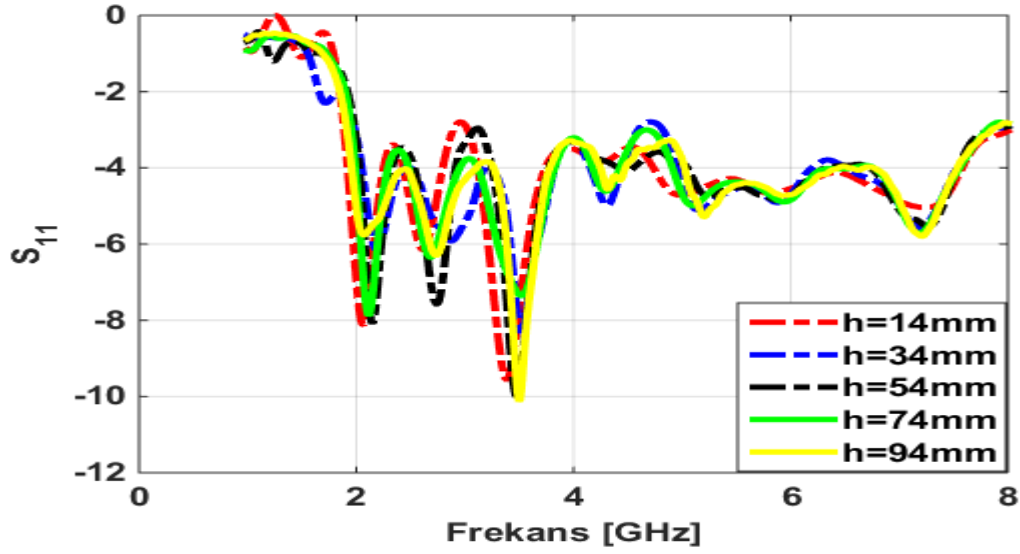


Şekil 4. 9. Soğutucunun yükseklik değişimine bağlı olarak elde edilen alan grafiği

Yukarıda da bahsedildiği üzere soğutucunun yüksekliğindeki artış monopul antenin boyundaki artış gibi düşünülebilir. Ancak burada dikkat edilmesi gereken husus bu yüksekliğin soğutucu en ve boy ölçülerinden daha fazla olması gerektiğidir. Teoride bu durum kalın bir monopülü ifade eder. Elde ettiğimiz benzetim sonuçlarındaysa soğutucu boyutlarının somutlaştırılabilir ölçüler seçilmesi nedeniyle yükseklik değerleri taban ölçülerinden küçük alınıp incelenmiştir.

Şekil 4.9'da yükseklik değişimine bağlı olarak soğutucunun uzak alanda elde edilmiş elektrik alan grafiği yer almaktadır. 1 ile 2 GHz aralığında ışınma olgusu aynı kalmakla birlikte genliği 2 dB'den azdır. 2.4 GHz'e bakıldığında 14 mm yükseklik değeri diğerlerine göre yaklaşık 5 dB fazla ışınma yapmıştır. 2.4 ile 8 GHz aralığında ise grafik olgusu aynı kalmakla birlikte ortaya çıkan ışınma miktarı 2 dB'nin altındadır.

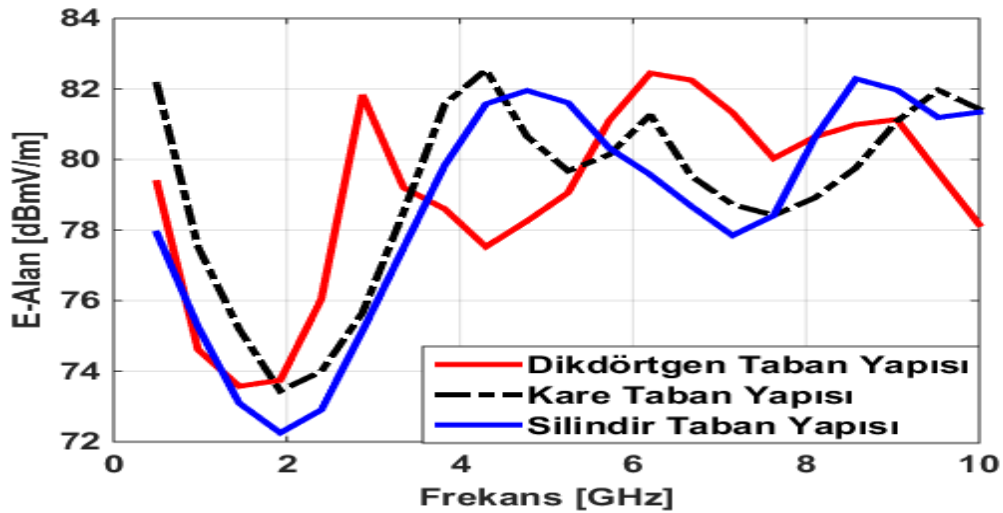
Yükseklik değişimine bağlı olarak elde edilen S11 grafiği Şekil 4.10'da verilmiştir. Genel olarak grafik incelenirse şeklin yaklaşık olarak aynı kaldığı, frekans kaymasının da neredeyse olmadığı görülmektedir. Bununla birlikte yükseklik parametresinin değişimi S11'in tepe yaptığı yerlerdeki genliği değiştirmiştir. Ancak bu değişim 2.5 dB'nin altındadır. Grafikte oluşan tepeler seçilen ortak ebatlara sahip soğutucudan kaynaklanmaktadır.



Şekil 4. 10. Soğutucunun yükseklik değişimine bağlı olarak elde edilen alan grafiği

4.2. Soğutucuların Taban Yapısına göre Analizi

Soğutucular taban şekillerine göre farklı ışıma karakteristiğine sahiptir. Bu kısımda soğutucu tabanı dikdörtgen, kare ve silindir şeklinde alınarak benzetimleri yapılmıştır. Kare taban yapısı için taban ölçüleri en 65 mm, boy 65 mm'dir. Dikdörtgen taban yapısı için taban ölçüleri en 46 mm, boy 92 mm'dir. Silindir taban yapısı için taban yarıçapı 36.7 mm'dir. Üç taban yapısı için yükseklikler aynı olup 55 mm'dir. 25°C sıcaklık farkında kare tabanlı soğutucu 179 watt, silindir tabanlı soğutucu 117 watt ve dikdörtgen tabanlı soğutucu 177 watt değerindeki ısıyı uzaklaştırma performansına sahiptir.

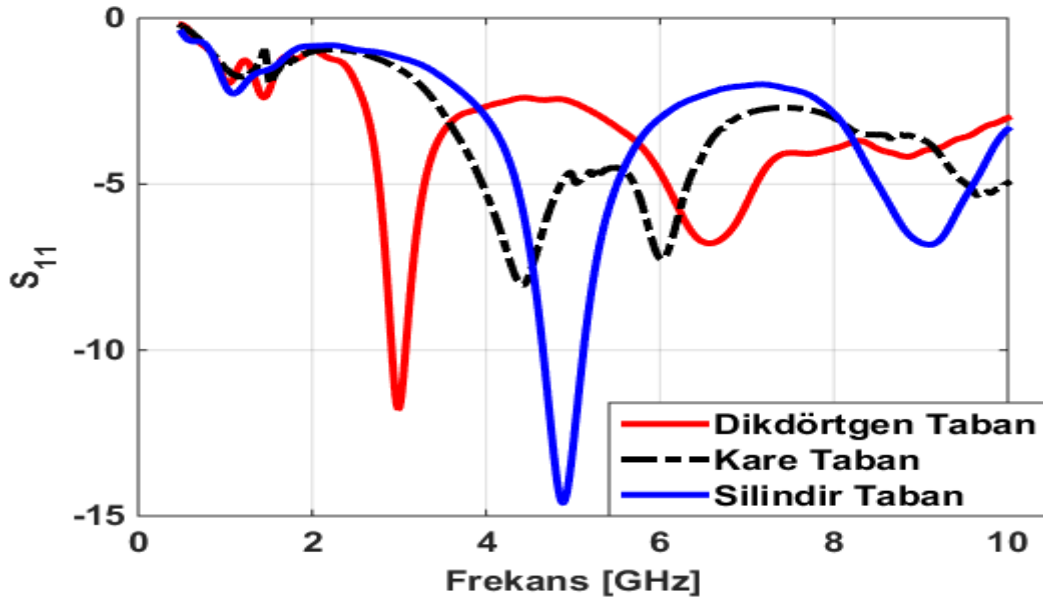


Şekil 4. 11. Soğutucunun taban yapısına bağlı olarak elde edilen elektrik alan grafiği

Şekil 4.11'de farklı üç taban yapısına ait uzak alan elektrik alan grafiği verilmiştir. Grafiğe bakılacak olursa 1 ile 2 GHz aralığında kare tabanlı soğutucunun 2

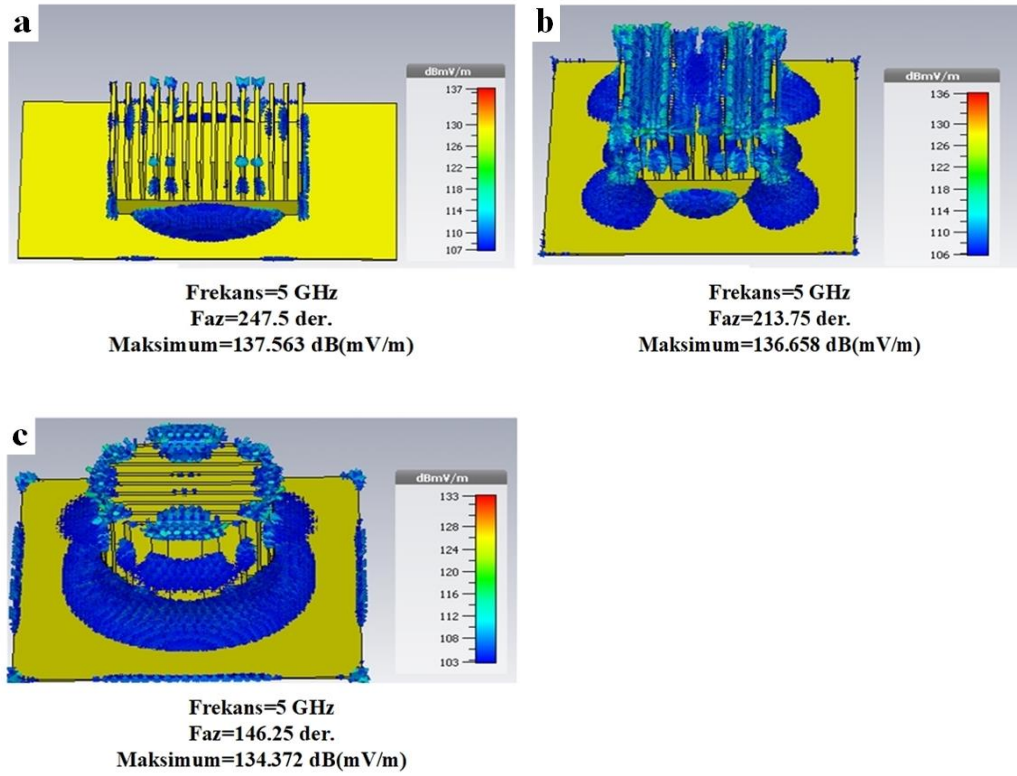
ile 4 dB aralığında daha fazla ışıma yaptığı görülmektedir. 2 ile 4 GHz frekans aralığında kare tabanlı soğutucu ile silindir tabanlı soğutucunun yaptığı ışıma yaklaşık olarak birbiriyle aynıdır. 2.9 GHz incelendiğinde dikdörtgen tabanlı soğutucunun diğer soğutuculara göre 6 dB daha fazla ışıma yaptığı gözlemlenmiştir. 4 ile 6 GHz frekans aralığına gelindiğinde silindir tabanlı ve kare tabanlı soğutucunun ışıma değerleri birbirine yakın olmakla birlikte farklı olduğu bölgelerde 2 dB'nin altındadır. 4.3 GHz'de en fazla ışımayı kare tabana sahip soğutucu yapmış, en az ışımayı ise dikdörtgen tabanlı soğutucu yapmış olup aralarındaki fark 5 dB kadardır. 6 ile 8 GHz frekans aralığında dikdörtgen tabanlı soğutucunun diğerlerine göre daha fazla ışıma yaptığı görülmekle birlikte değer olarak 3 dB'den daha azdır. 10 GHz frekansına bakıldığında dikdörtgen tabanlı soğutucunun ışımasının diğer soğutuculara göre 3.5 dB daha az olduğu belirlenmiştir. Genel olarak grafik olgusuna bakılacak olursa cüzi miktarda frekans kaymasıyla birlikte silindir tabanlı soğutucu ile kare tabanlı soğutucunun birbirine benzer olduğu görülmektedir.

Farklı taban yapılarının anten davranışları incelemek için benzetimde elde edilen S11 grafiği Şekil 4.12'de verilmiştir. Grafik şekil olarak incelendiğinde 3 taban yapısı içinde 2 tepe oluştuğu göze çarpmaktadır. Ayrıca 3 GHz'de dikdörtgen tabanlı soğutucunun, 4.9 GHz'de silindir tabanlı soğutucunun anten gibi davrandığı yorumu yapılabilir. Kare tabanlı soğutucunun ise anten davranışı diğerlerine göre daha zayıftır.



Şekil 4. 12. Soğutucunun taban yapısına bağlı olarak elde edilen S11 grafiği

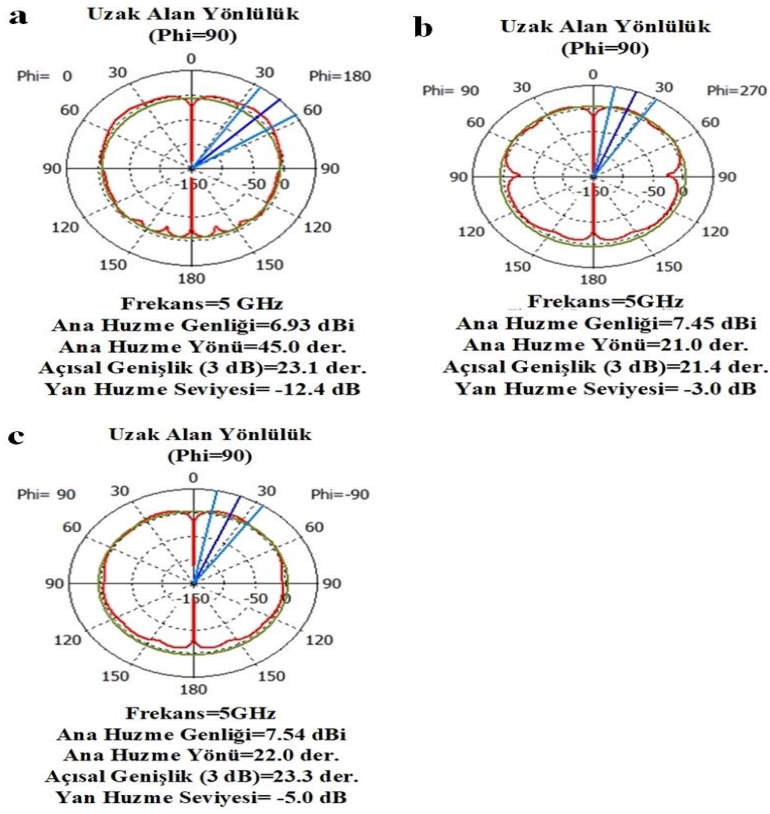
Farklı taban yapılarına sahip her soğutucu için üzerlerinde indüklenen elektrik alanda birbirinden farklıdır. Şekil 4.13'de verilen görsellerde bu durum açıkça görülmektedir.



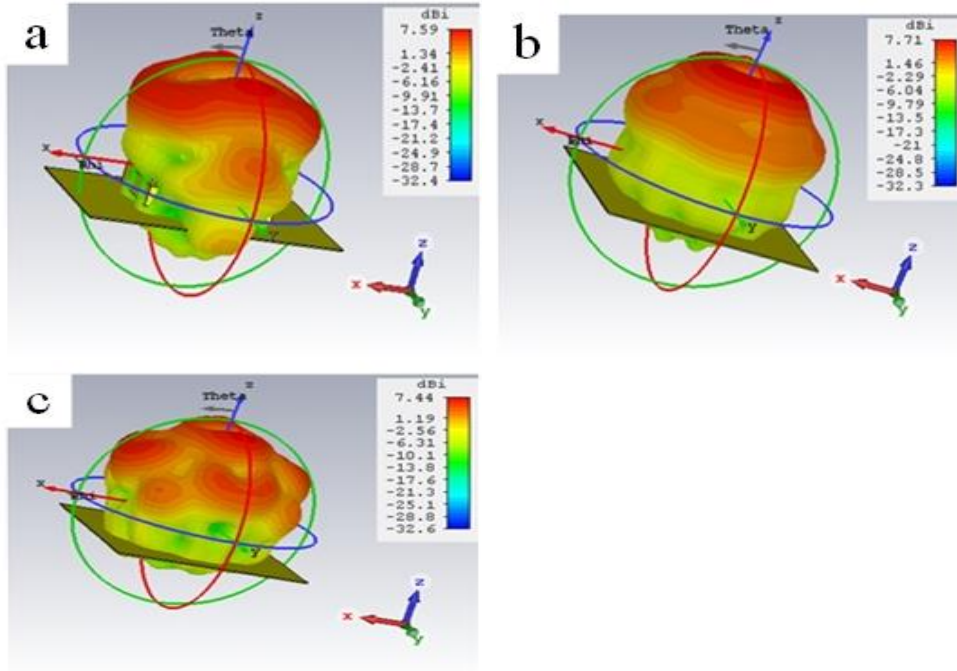
Şekil 4. 13. Taban yapısına göre soğutucu üzerinde indüklenen elektrik alanının iki boyutlu görüntüsü; **a)** dikdörtgen taban; **b)** kare taban; **c)** silindir taban

Soğutucuların belirli frekans değerlerinde geometrilerine bağlı olarak anten gibi davranacağından önceki kısımlarda bahsedilmiştir. Soğutucuların taban yapısını incelerken anten parametreleri göz önünde bulundurulmalıdır. Soğutucu bir anten olarak ele alındığında kendine ait ışınma örüntüsü ve anten yönlülük kazancı olmalıdır. Bu kısımda incelemiş olduğumuz farklı taban yapılarına ait 5 GHz frekanstaki ışınma örüntüsü Şekil 4.14’de verilmiştir. Birbirleriyle karşılaştırılacak olursa dikdörtgen tabanlı soğutucunun ana huzmesi 45 derecede, kare tabanlı soğutucunun ana huzmesi 21 derecede, silindir tabanlı soğutucunun ana huzmesi 22 derecede olduğu saptanmıştır. Ayrıca yan huzme seviyesi incelendiğinde dikdörtgen tabanlı soğutucunun -12.4 dB, kare tabanlı soğutucunun -3 dB, silindir tabanlı soğutucunun -5 dB olduğu şekil üzerinden rahatlıkla anlaşılmaktadır. Ayrıca anten kazançlarına değinecek olursak dikdörtgen tabanlı soğutucunun ana huzmesine ait anten kazancı 6.93 dBi, kare tabanlı soğutucunun ana huzmesine ait anten kazancı 7.45 dBi, silindir tabanlı soğutucunun ana huzmesine ait anten kazancı 7.54 dBi’dir.

Şekil 4.15’de farklı taban yapılarına sahip soğutucular için uzak alandaki anten yönlülüğü verilmiştir. Taban geometrisinin bu durum üzerindeki etkisi üç boyutlu görseller yardımıyla kolayca anlaşılmaktadır.



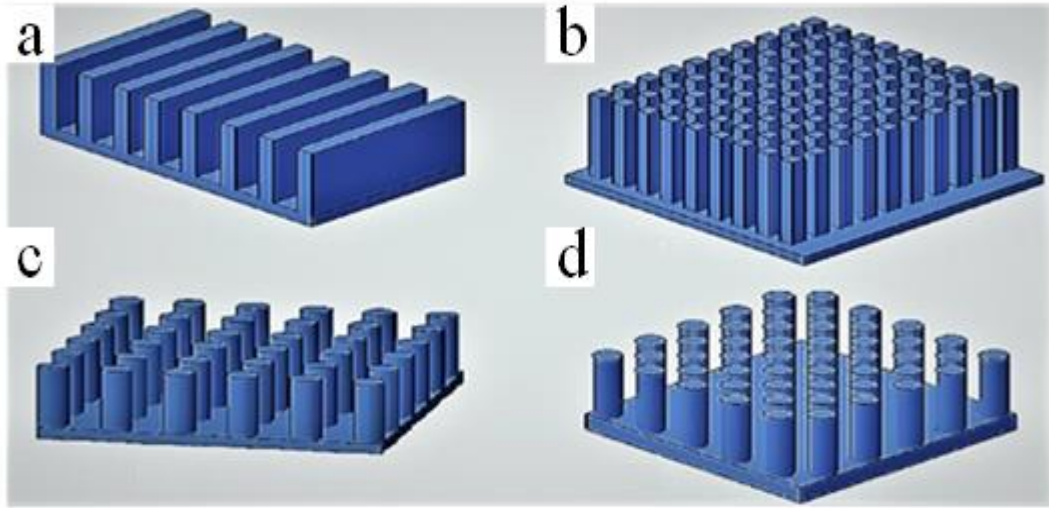
Şekil 4. 14. Taban yapısına göre soğutucu ışına örüntüsünün polar görüntüsü; a) dikdörtgen taban; b) kare taban; c) silindir taban



Şekil 4. 15. Taban yapısına göre soğutucunun üç boyutlu anten yönlülük görüntüsü; a) dikdörtgen taban; b) kare taban; c) silindir taban

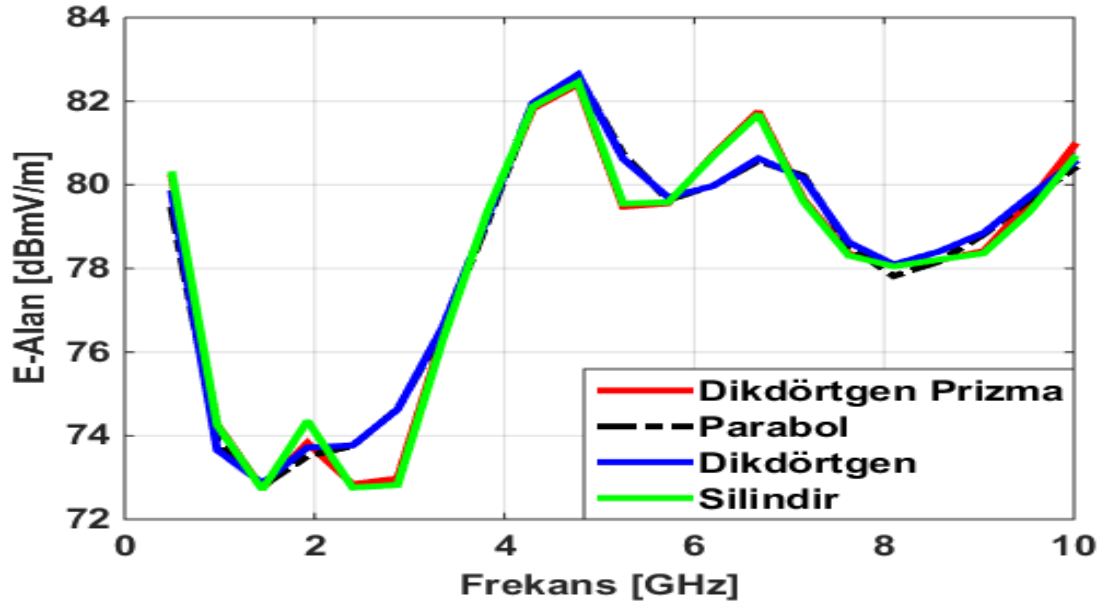
4.3. Soğutucuların Kanatçık Yapısına göre Analizi

Soğutucular ısıyı uzaklaştırma bakımından farklı tipte kanatçıklara sahip olarak tasarlanabilmektedir. Billings ve Morey (1976) yayınladıkları kitabında aynı hacme sahip farklı soğutucu tasarımlarının serbest hava ortamında soğutma performansının %10'dan daha fazla iyileştirilemeyeceğini belirtmişlerdir. Bu kısımda 4 farklı kanatçık yapısına sahip soğutucu benzetimi yapılarak incelenmiştir. Bunlar dikdörtgen tip kanatçık, parabol tip kanatçık, dikdörtgen prizma tip kanatçık ve silindirik tip kanatçık yapısına sahip soğutuculardır. Ele alınan soğutucuların ısıyı atma performansları yaklaşık olarak birbirine eşittir. Şekil 4.16'da bu soğutuculara ait görsel verilmiştir. İncelenen soğutucular göz önüne alındığında kanatçık yapısı olarak silindirik tip ile dikdörtgen prizma tipin, parabolik tip ile dikdörtgen tipin birbirine şekil olarak benzerliği dikkat çekmektedir. Bu durum benzetim sonuçları incelenirken de akılda bulundurulmalıdır. Termal performanslarına bakıldığında 25°C sıcaklık farkı için; dikdörtgen prizma kanatçıklı soğutucu 172.5 watt, silindir kanatçıklı soğutucu 129.5 watt, parabol kanatçıklı soğutucu 102 watt ve dikdörtgen kanatçıklı soğutucunun 106 watt ısıyı uzaklaştırdığı hesaplanmıştır.



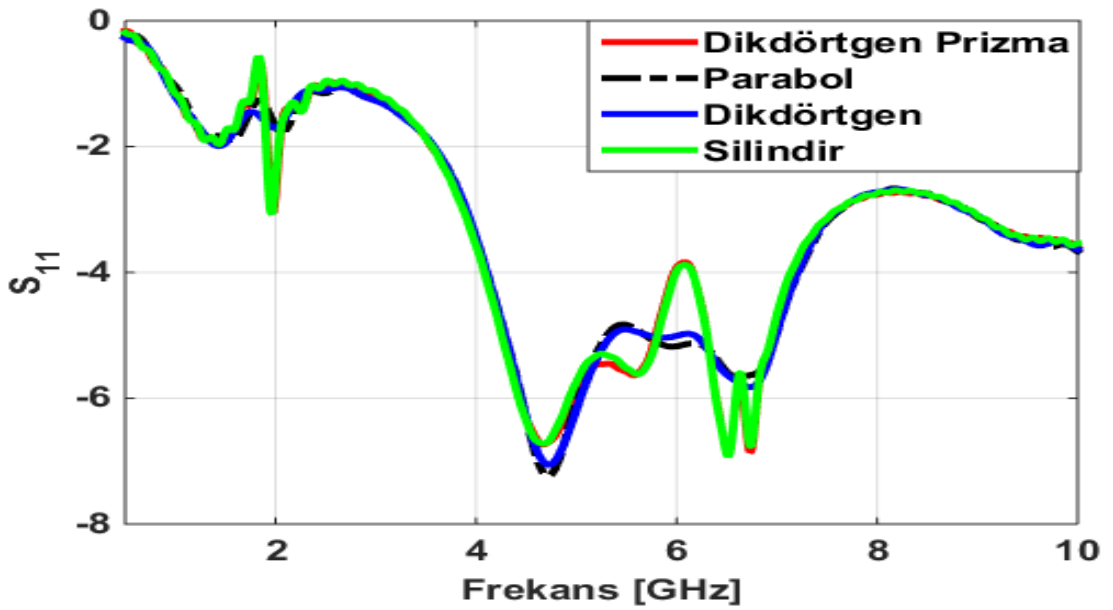
Şekil 4. 16. Soğutucu örnek kanatçık yapıları; **a)** dikdörtgen tip; **b)** dikdörtgen prizma tip; **c)** silindirik tip yandan görünüm; **d)** silindirik tip üstten görünüm

Şekil 4.17'de farklı kanatçık yapılarına sahip soğutucuların uzakla alanda elde edilen elektrik alan grafiği verilmiştir. Grafik olgusal olarak incelendiğinde silindirik tip ile dikdörtgen prizma tipin, parabolik tip ile dikdörtgen tipin aynı ışımaya karakteristiğine sahip olduğu göze çarpmaktadır. Ayrıca tüm frekans bandında soğutucular birbirine göre kıyaslanırsa ışımaya bakımından kanatçık yapısının etkisinin 2 dB'den az olduğu grafik üzerinde açıkça görülmektedir.

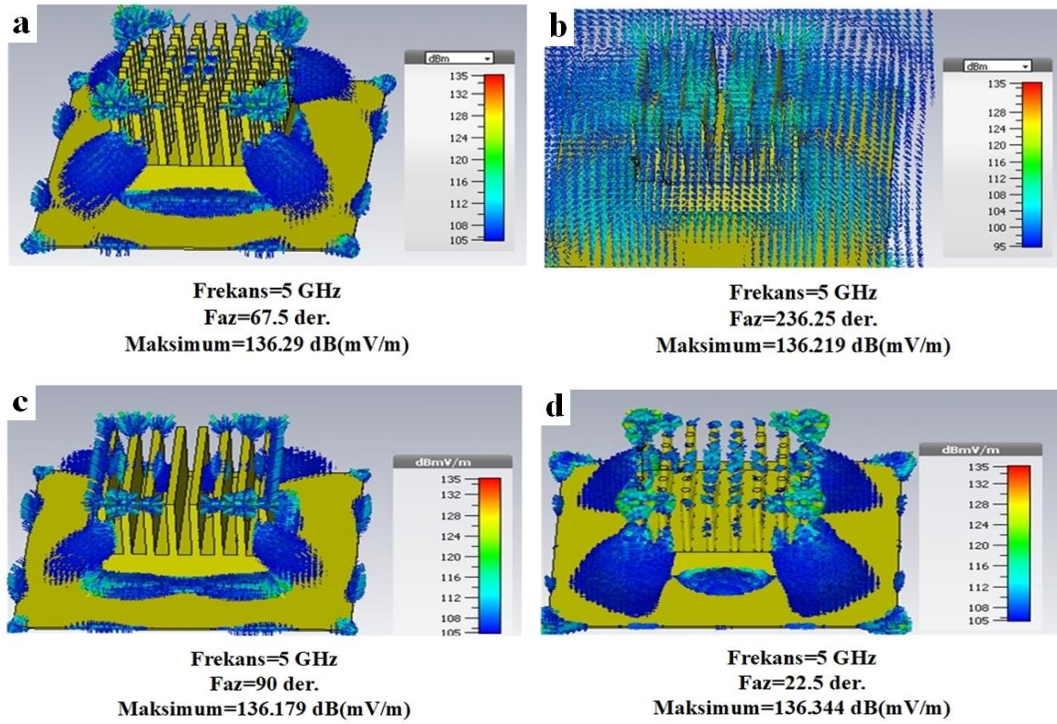


Şekil 4. 17. Soğutucunun kanatçık yapısına bağlı olarak elde edilen elektrik alan grafiği

Farklı kanatçık yapılarına sahip soğutuculara ait S_{11} grafiği Şekil 4.18'de verilmiştir. Üstte bahsedildiği gibi parabolik tip ile dikdörtgen tip, silindirik tip ile de dikdörtgen prizma tipin benzerliği S_{11} grafiğinde de görülmektedir. Genel itibariyle grafiğin olgusal şekli birbiriyle aynı olmakla birlikte 6 ile 8 GHz aralığındaki ufak farklılıklar göze çarpmaktadır. Ancak soğutucuların kanatçık yapısının değişiminin anten performansına etkisinin olmadığı elde edilen S_{11} grafiği ile net bir şekilde görülmektedir.



Şekil 4. 18. Soğutucunun kanatçık yapısına bağlı olarak elde edilen S_{11} grafiği

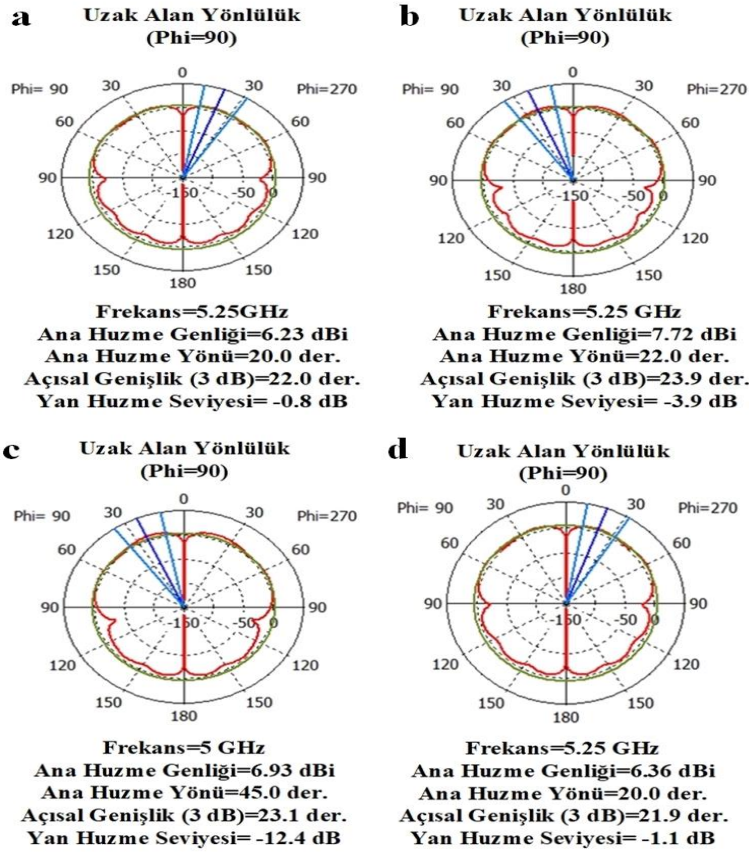


Şekil 4.19. Kanatçık yapısına göre soğutucu üzerinde indüklenen elektrik alanın üç boyutlu görüntüsü; **a)** dikdörtgen prizma; **b)** parabol; **c)** dikdörtgen; **d)** silindir

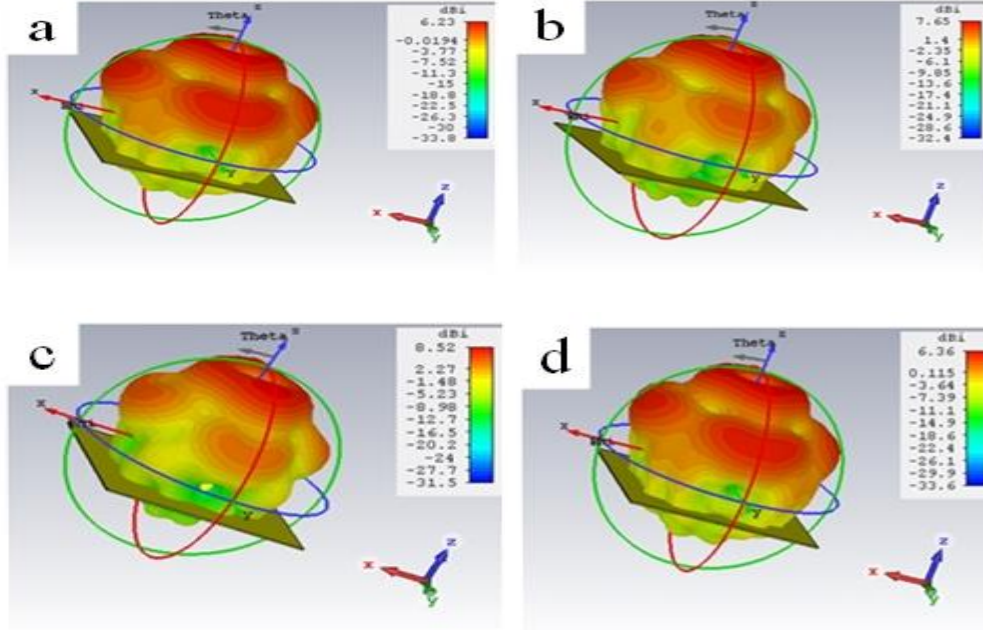
Şekil 4.19’da farklı kanatçık yapılarına sahip soğutucuların 5 GHz’de üzerinde indüklenen elektrik alan görülmektedir. Değerlere bakılacak olursa indüklenen maksimum elektrik alan yaklaşık olarak birbiriyle aynıdır.

Uzak alanda 5 GHz frekansta elde edilen farklı kanatçık yapılarına ait ışınma örüntüsü Şekil 4.20’de verilmiştir. Birbirleriyle karşılaştırılacak olursa dikdörtgen prizma kanatçıklı soğutucunun ana huzmesi 20 derecede, parabol kanatçıklı soğutucunun ana huzmesi 22 derecede, dikdörtgen kanatçıklı soğutucunun ana huzmesi 23 derecede ve silindir kanatçıklı soğutucunun ana huzmesi 20 derecede olduğu saptanmıştır. Ayrıca yan huzme seviyesi incelendiğinde dikdörtgen prizma kanatçıklı soğutucunun -0.8 dB, parabol kanatçıklı soğutucunun -3.9 dB, dikdörtgen kanatçıklı soğutucunun -5.1 dB, silindir kanatçıklı soğutucunun -1.1 dB olduğu şekil üzerinden rahatlıkla anlaşılmaktadır. Anten kazançlarına değinecek olursak gökdelen kanatçıklı soğutucunun ana huzmesine ait anten kazancı 6.23 dBi, parabol kanatçıklı soğutucunun ana huzmesine ait anten kazancı 7.72 dBi, dikdörtgen kanatçıklı soğutucunun ana huzmesine ait anten kazancı 8.63 dBi ve silindir kanatçıklı soğutucunun ana huzmesine ait anten kazancı 6.36 dBi’dir.

Şekil 4.21’de incelen farklı kanatçık yapılarına sahip soğutuculara ait üç boyutlu anten yönlülükleri verilmiştir. Şekillere dikkatli bakılırsa soğutucu yapısı iç taraftadır. Çevresindeki olgunun renkleri ile şiddeti belirlenir. Aynı zamanda hangi yönde anten yönlülüğünün daha fazla olduğunu görsel olarak anlamamız kolaylaşır.



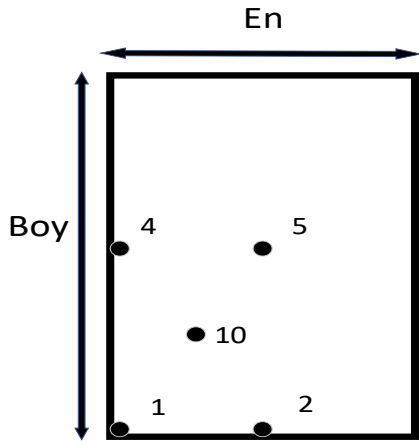
Şekil 4. 20. Kanatçık yapısına göre soğutucu ışına örüntüsünün polar görüntüsü; a) dikdörtgen prizma; b) parabol; c) dikdörtgen; d) silindir



Şekil 4. 21. Kanatçık yapısına göre üç boyutlu anten yönlülük görüntüsü; a) dikdörtgen prizma; b) parabol; c) dikdörtgen; d) silindir

4.4. Soğutucuların Besleme Noktasına göre Analizi

Soğutucuların bağlı buldukları cihazların içerisinde bulunan yarı iletken anahtarlamalı devre elamanları olan BJT, MOSFET, JFET vb. yapıların anahtarlamaları sonucunda ortaya harmonik bileşenler çıkardıklarından önceki kısımlarda bahsedilmiştir. Bu yapılar AGK'lar gibi bütünleşik devre haline getirilip kullanıldıklarında ortaya çıkan ısıyı atmak için metalik soğutuculara ihtiyaç duyarlar. Anahtarlamalar esnasında oluşan harmonik bileşenler soğutucu üzerine düşerek ışıma yapmasına dolayısıyla soğutucunun anten davranışı göstermesine sebep olurlar. Bütünleşik devre tasarımında kullanılan anahtarlama elemanları tasarımcının isteği doğrultusunda devrenin herhangi bir yerinde bulunabilir. Soğutucuların bütünleşik devreye yekpare şekilde vidalarla bağlandığı göz önüne alındığında ışıma kaynağı olarak ele aldığımız yarı iletken anahtarlama elemanlarının harmonikleri soğutucunun farklı kısımlarına düşerek buradan yayılırlar. Soğutucuların benzetimi esnasında bu parametre göz önüne alınarak taban kısmında bulunan 5 farklı nokta seçilmiştir. Besleme noktası da dediğimiz bu noktalar ışıma kaynağının bulunduğu noktalar olarak değerlendirilerek her birine aynı giriş sinyali uygulanmıştır. Besleme noktaları Şekil 4.22'de gösterilmiştir. Bu kısım benzetim ve ölçüm kısmı olarak iki alt başlık altında açıklanacaktır.

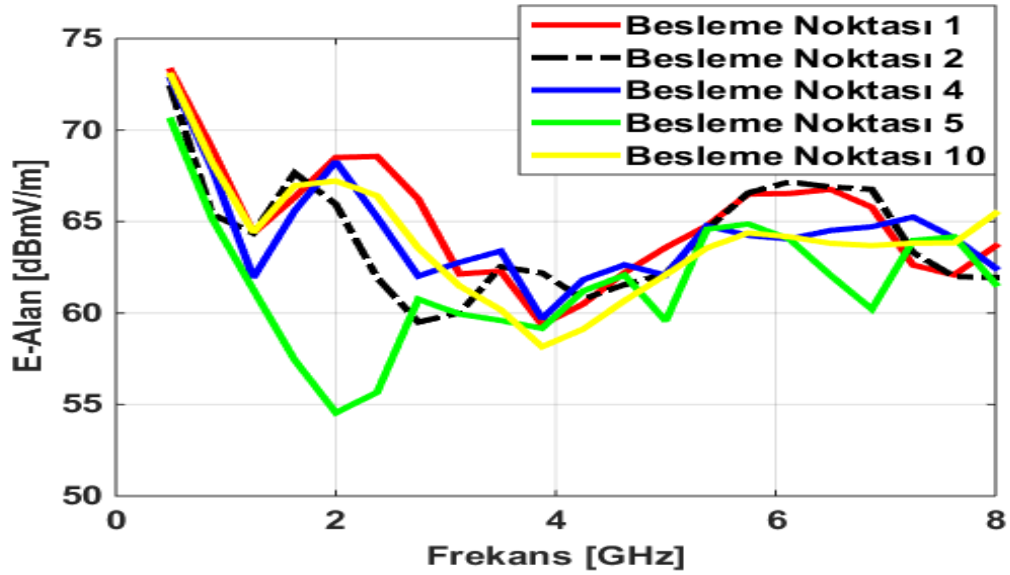


Şekil 4. 22. Soğutucu tabanında bulunan referans besleme noktaları ve numaraları

4.4.1. Besleme noktalarının benzetim ile analizi

Benzetimdeki soğutucu tabanının 4 eşit parçaya bölüldüğünü düşünelim. Seçilen besleme noktalarının bu 4 eşit parça içindeki herhangi bir parçada olduğunu göz önüne alırsak, besleme noktalarının diğer parçalar içinde simetrik bir şekilde aynı olduğu sonucuna varırız. Besleme noktalarının etkisini gözlemlemek için soğutucu ölçüleri ve kanatçık sayısı sabit tutularak 5 farklı benzetim gerçekleştirilmiştir. Şekil 4.21'deki besleme noktalarına dikkat edilecek olursa; taban eninin küçülmesi halinde besleme noktalarının kenarlara uzaklıkları değişecek, aynı zamanda soğutucuyu anten olarak düşündüğümüz için anten boyutları değişecektir. Dolayısıyla her besleme noktasının davranışının bu bağlamda değişmesi beklenmektedir. Elde edilen elektrik alanın frekansa bağlı değişimi tek grafik üzerinde toplanarak birbirleriyle kıyaslanmıştır.

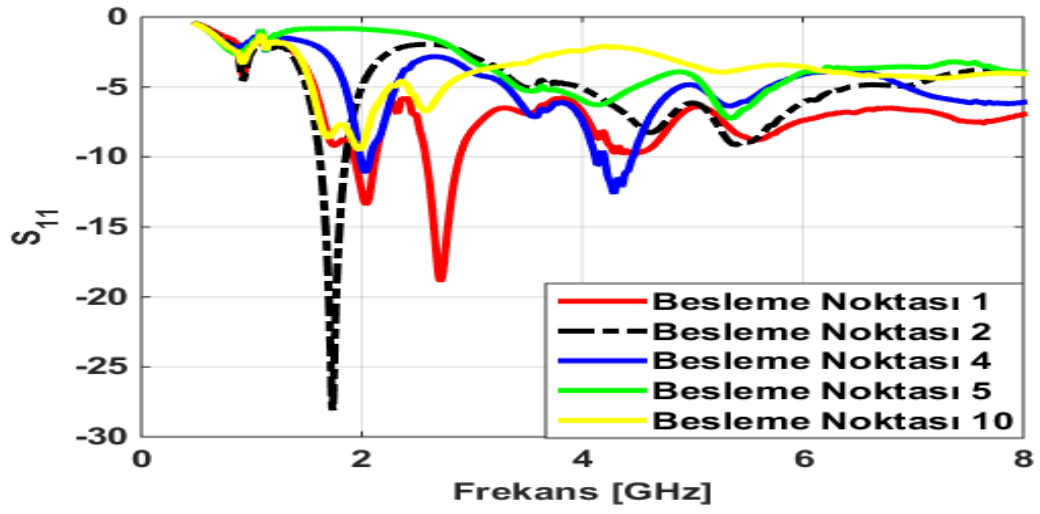
Şekil 4.23’de seçilen besleme noktalarına ait elektrik alan grafiği verilmiştir. Grafik incelenirse 1 ile 2 GHz aralığında diğer besleme noktalarının birbiriyle yaklaşık olarak aynı olmalarına karşın 5 numaralı besleme noktasına göre 10 dB daha fazla ışıma yapmaktadırlar. 2 ile 3 GHz aralığına bakıldığında en fazla ışımayı 1 numaralı besleme noktasının en az ışımayı ise 5 numaralı besleme noktasının yaptığı gözlemlenmektedir. Ayrıca bu bölgede 1 numaralı besleme noktasına göre kıyaslandığında besleme noktası 4 ile besleme noktası 10 yaklaşık 2 dB, besleme noktası 2’nin ise yaklaşık olarak 5 dB daha az ışıma yaptığı görülür. 3 ile 6 GHz aralığı incelendiğinde besleme noktalarının ışımlarının birbirine benzer olduğu ve aralarındaki farkın 3 dB’den az olduğu net bir şekilde görülmektedir. 6 ile 7 GHz aralığına değinildiğinde 1 ile 2 numaralı besleme noktalarının ışımlarına birbiriyle aynı oluğu ve en çok ışımayı yaptığı ve en az ışımaya sahip 5 numaralı besleme noktasından 7 dB daha fazla olduğu göze çarpmaktadır. 7 ile 8 GHz aralığında olgusal olarak farklılıklar olmakla birlikte yaklaşık olarak ışıma değerleri birbirine yakındır ve aralarındaki fark 2 dB’den azdır.



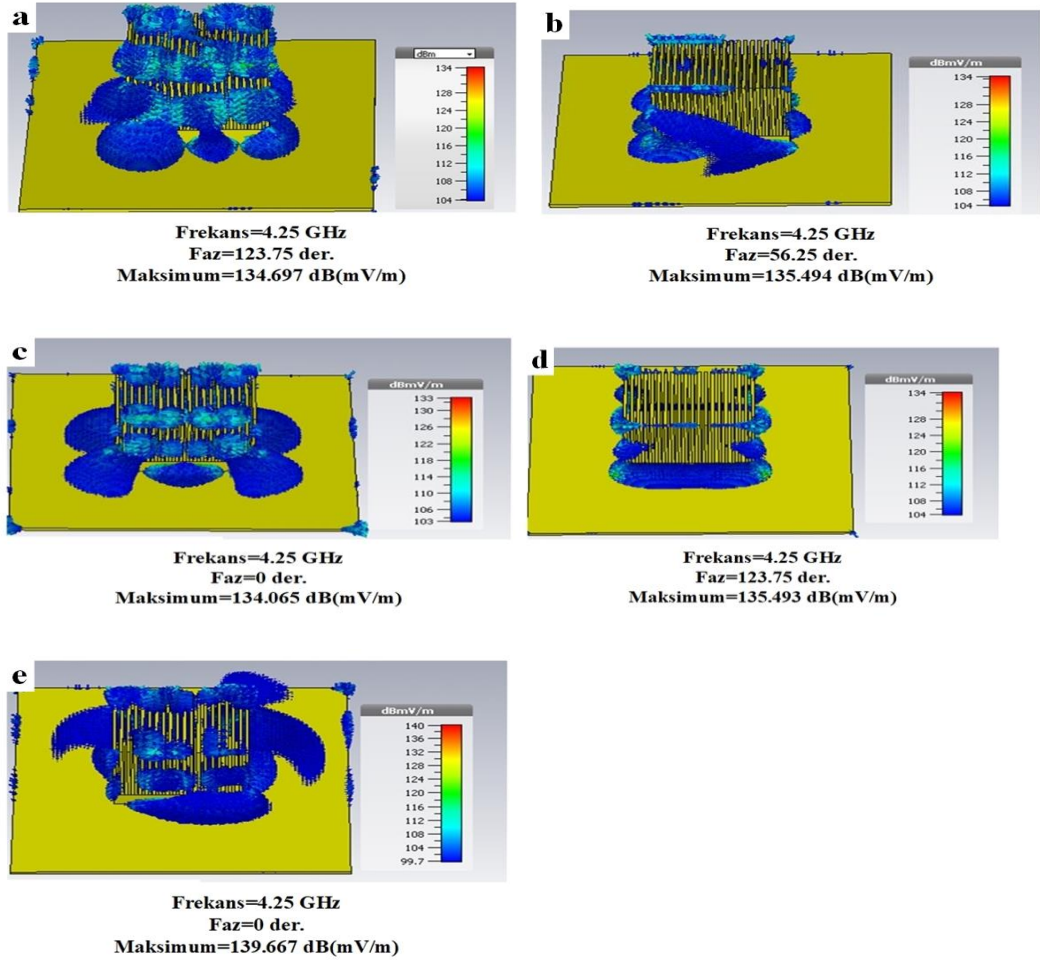
Şekil 4. 23. Soğutucunun farklı besleme noktalarına bağlı olarak elde edilen elektrik alan grafiği

Besleme noktalarına ait S11 grafiği Şekil 4.24’de verilmiştir. Grafiğe bakıldığında direkt olarak göze çarpan besleme noktaları 1, 2 ve 4’ün farklı frekanslarda anten davranışı gösterdiği görülmektedir. Besleme noktası 2’nin 1.7 GHz’de bir adet, besleme noktası 1’in sırasıyla 2 GHz, 2.7 GHz ve 4.6 GHz’de olmak üzere 3 adet, besleme noktası 4’ün 2 GHz ve 4.3 GHz’de olmak üzere 2 adet anten davranışı gösterdiği bölge vardır. Besleme noktası 5 ve 10 içinse tüm frekans bandında anten olarak davranmadığı bölge yoktur.

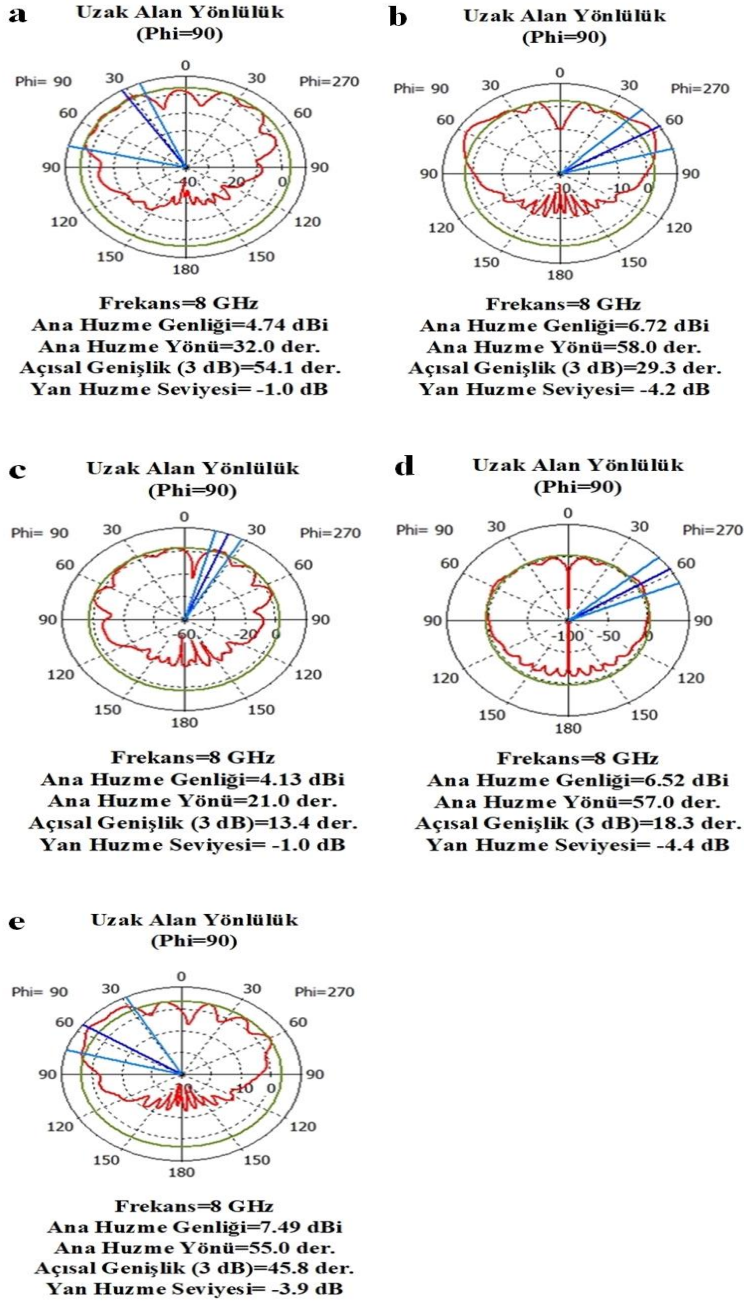
Şekil 4.25’de soğutucu tabanında alınan farklı besleme noktalarının soğutucu üzerinde indükledikleri elektrik alanın üç boyutlu görseli yer almaktadır. Farklı taban bölgelerinden tetiklenen soğutucular farklı yönlerde elektrik alan yaymışlardır.



Şekil 4. 24. Soğutucunun farklı besleme noktalarına bağlı olarak elde edilen S11 grafiği

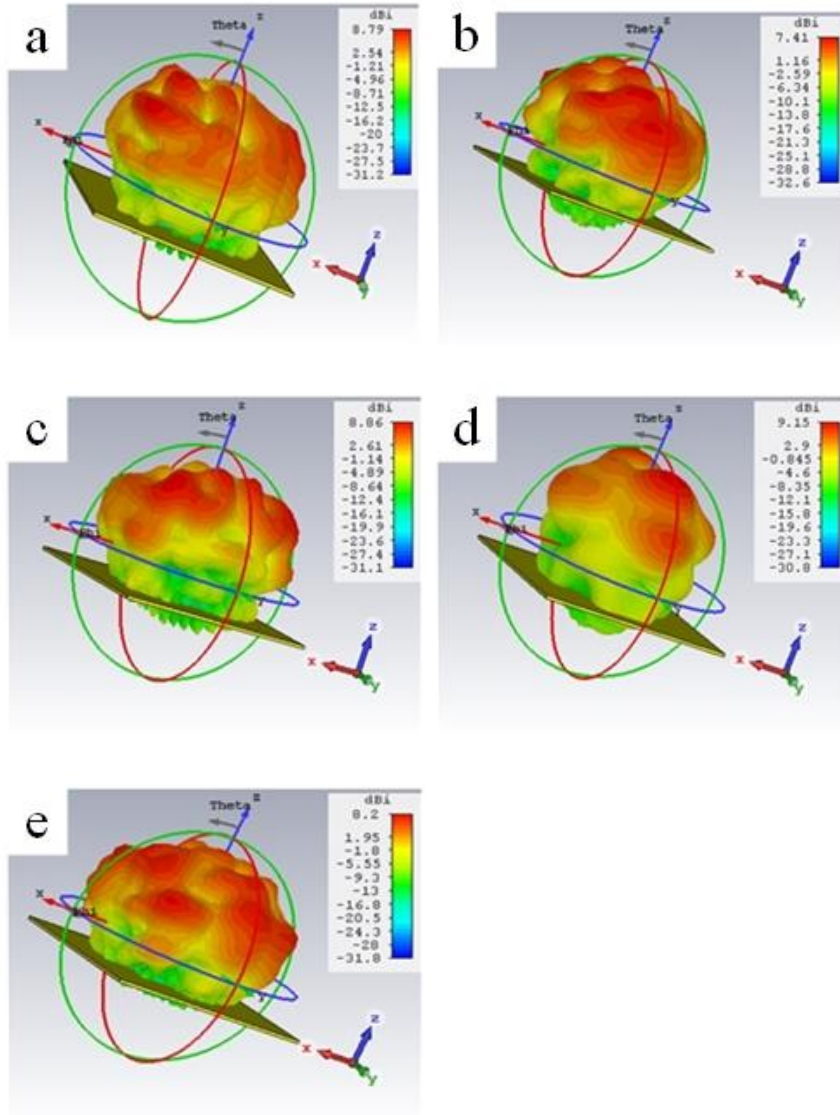


Şekil 4. 25. Besleme noktasına göre soğutucu üzerinde indüklenen elektrik alanının üç boyutlu görüntüsü; **a)** besleme noktası 1; **b)** besleme noktası 2; **c)** besleme noktası 4; **d)** besleme noktası 5; **e)** besleme noktası 10



Şekil 4. 26. Besleme noktasına göre soğutucu ışınma örüntüsünün polar görüntüsü; **a)** besleme noktası 1; **b)** besleme noktası 2; **c)** besleme noktası 4; **d)** besleme noktası 5; **e)** besleme noktası 10

Şekil 4.26'da farklı besleme noktalarına ait anten yönlülük kazançlarının polar grafiği, Şekil 4.27'de ise soğutucu yapısı etrafındaki üç boyutlu görüntüsü verilmiştir. Bu şekillerden de kolayca anlaşılacağı üzere farklı besleme noktalarının uzak alanda ışımaya olan etkileri oldukça fazladır. Şekillerde kırmızı olan kısımlar anten kazançlarının en yüksek olduğu kısımları göstermektedir.



Şekil 4. 27. Besleme noktasına göre üç boyutlu anten yönlülük görüntüsü; **a)** besleme noktası 1; **b)** besleme noktası 2; **c)** besleme noktası 4; **d)** besleme noktası 5; **e)** besleme noktası 10

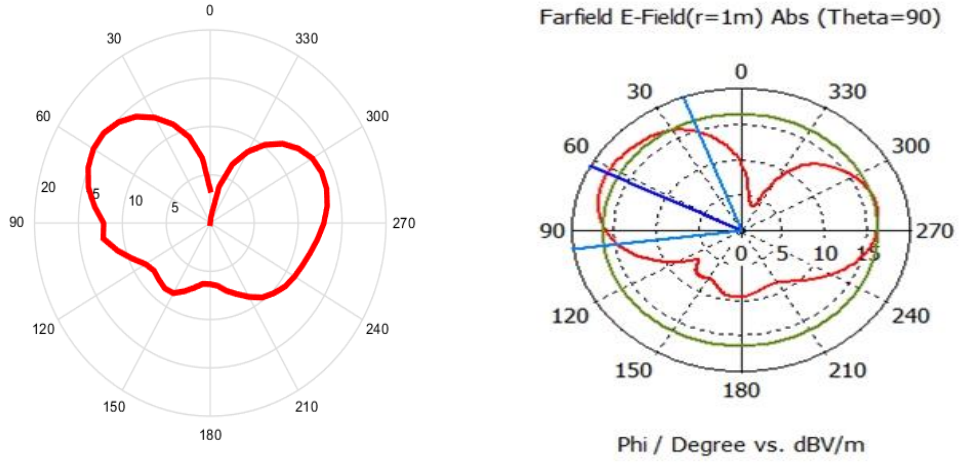
4.4.2. Besleme noktalarının ölçüm ile analizi

Farklı besleme noktalarının etkisini gözlemlemek amacıyla ölçümler yansısız odada yapılan uzak alan anten örüntüsü ölçümleri ve Vektör Network Analizör (VNA) ile yapılan S11 yansımaya katsayısı ölçümleri olmak üzere iki ayrı bölümde yapılmıştır. Bu yüzden bu kısım iki alt başlık altında sunulacaktır.

4.4.2.1. Yansısız odada yapılan uzak alan ölçümleri

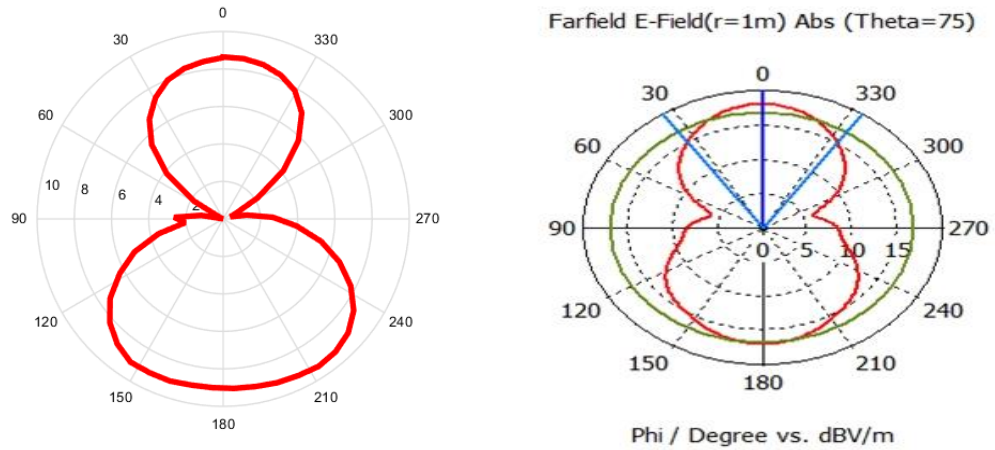
Bu kısımda elde edilen ölçümler farklı besleme noktalarının tümü için sırasıyla 2, 4, 6, 8 GHz frekanslarında sinyal jeneratöründen sabit -7 dBm güç verilerek yapılmıştır. Ölçümler gerçekleştirilirken kullanılan ekipmanlar; sinyal jeneratörü, spektrum analizör, yansısız oda, döner masa, RF kablolar, konektörler ve ölçüm için

hazırlanmış olan SMA konektöre sahip toprak düzleminden oluşan soğutucu ölçüm düzeneğidir. Ölçümün yapılış metodu materyal metot kısmında anlatılmıştır. Elektrik alan ölçümü yapılarak anten ışınma örüntüsü polar grafik olarak elde edilmiştir. Benzetim yoluyla elde edilen polar grafikler ile kıyaslanarak ölçüm yorumlanmıştır.



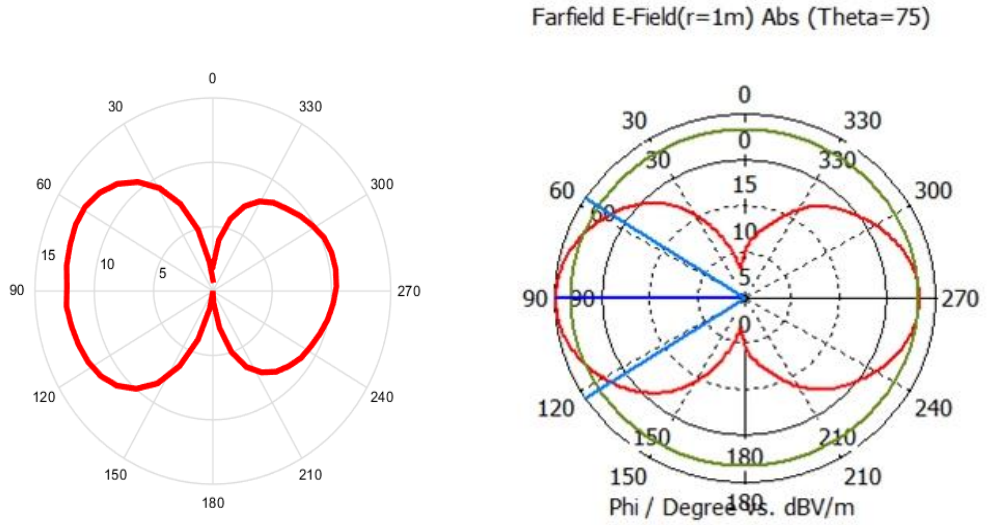
Şekil 4. 28. 2 GHz frekansta 1 numaralı besleme noktasının sol taraftaki ölçüm, sağ taraftaki benzetimde elde edilen elektrik alan polar grafiği

Şekil 4.28’de 2 GHz frekansta 1 numaralı besleme noktasının elektrik alan polar grafiği verilmiştir. Şekiller incelenecek olursa birbirine çok benzediği dolayısıyla ölçümün ve benzetiminin birbirini sağladığını söyleyebiliriz. Ayrıca 60 derecede ve 300 derecede açığa çıkan ana huzmeler dikkat çekmektedir.



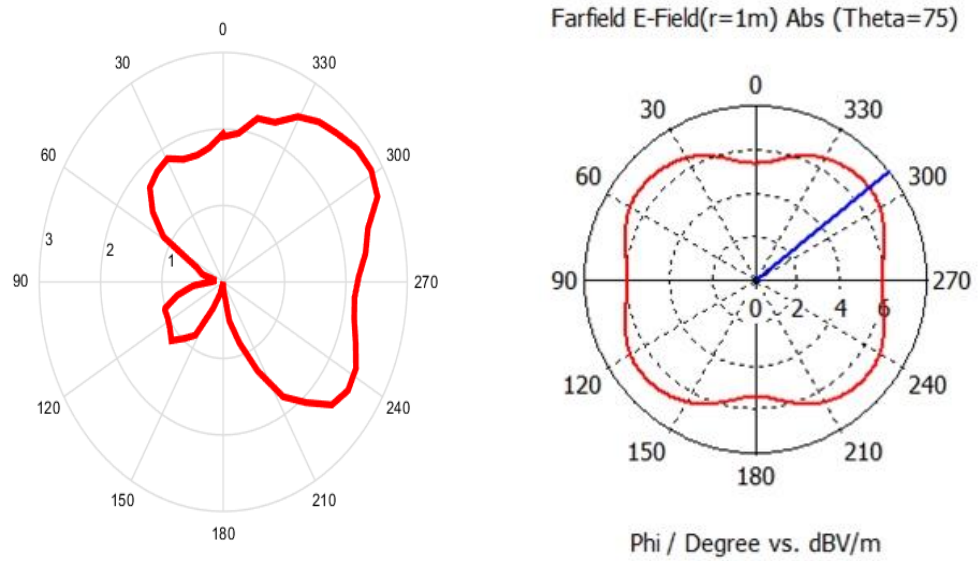
Şekil 4. 29. 2 GHz frekansta 2 numaralı besleme noktasının sol taraftaki ölçüm, sağ taraftaki benzetimde elde edilen elektrik alan polar grafiği

Şekil 4.29’da 2 GHz frekansta 2 numaralı besleme noktasına ait ölçüm ve benzetim polar elektrik alan grafikleri verilmiştir. Şekiller görsel olarak birbirinin aynı çıkmıştır. Ölçüm ve benzetim sonuçlarının aynı olduğu yorumu yapılır. Grafiklerde 2 numaralı besleme noktasının 0° ve 180° ‘de iki ana huzmesinin olduğu görülmektedir.



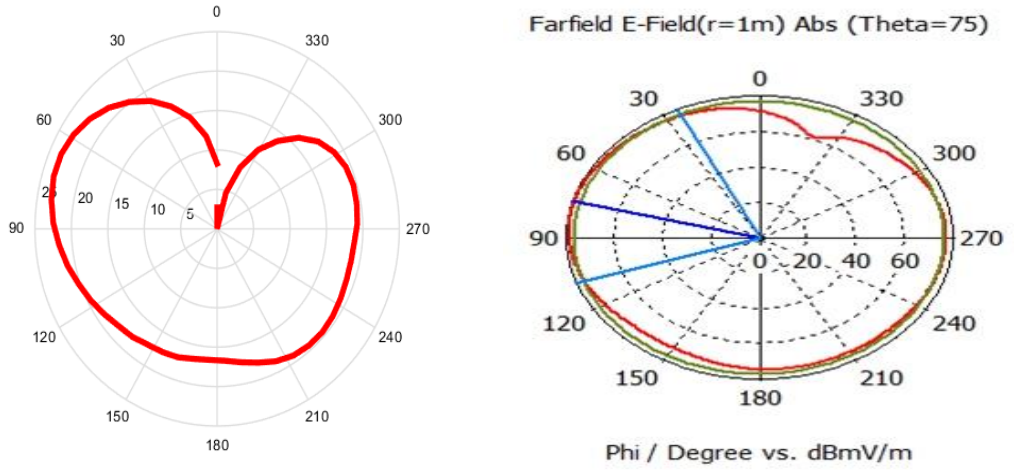
Şekil 4. 30. 2 GHz frekansta 4 numaralı besleme noktasının sol taraftaki ölçüm, sağ taraftaki benzetimde elde edilen elektrik alan polar grafiği

Şekil 4.30'da 2 GHz frekansta 4 numaralı besleme noktasının polar elektrik alan grafiği verilmiştir. Şekiller birbiriyle aynıdır ve bu durum ölçüm ile benzetimin uyumlu olduğunu ortaya koymaktadır. Şekil olarak incelendiğinde 90° ve 270°'de iki ana huzme göze çarpmaktadır.



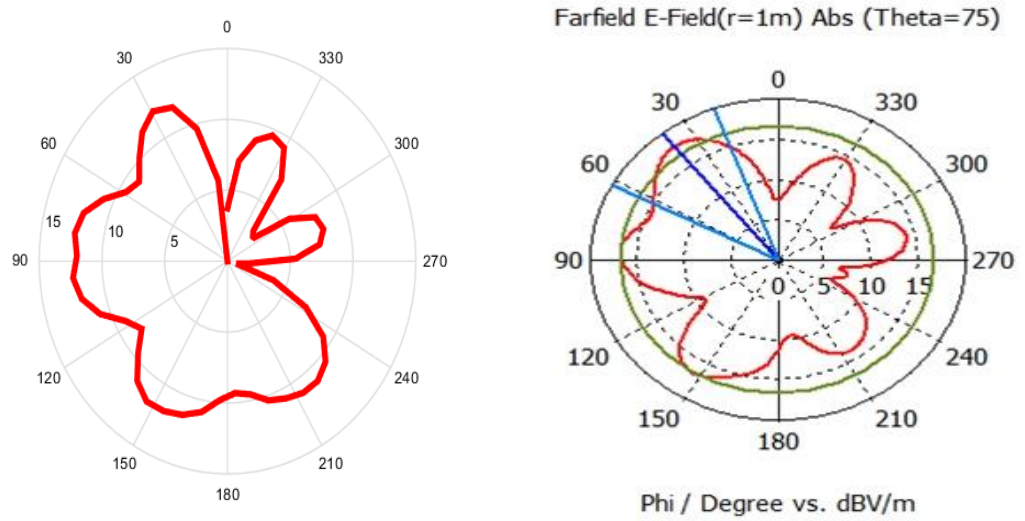
Şekil 4. 31. 2 GHz frekansta 5 numaralı besleme noktasının sol taraftaki ölçüm, sağ taraftaki benzetimde elde edilen elektrik alan polar grafiği

2 GHz frekansta 5 numaralı besleme noktasına ait polar elektrik alan grafiği Şekil 4.31'de verilmiştir. Benzetim ve ölçüm şekilleri incelendiğinde birbiri ile olan benzerliğinin görece az olduğu görülmektedir. Şeklin sağ kısmında bulunan huzmelerin birbirine benzer olduğu ancak sol kısmındaki huzmelerin ölçüm grafiğinde bulunmadığı göze çarpmaktadır. Grafikte ölçüm hatalı sonuç vermiştir.



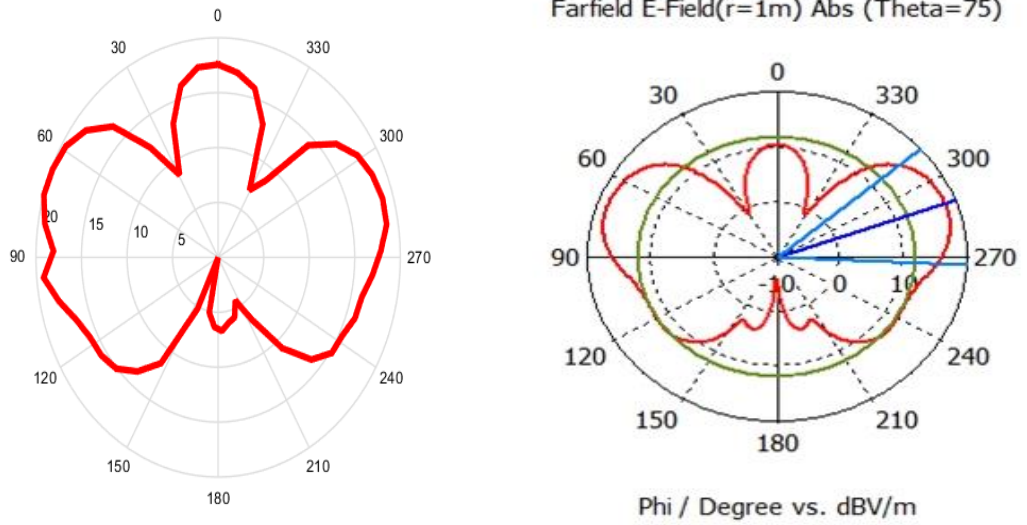
Şekil 4. 32. 2 GHz frekansta 10 numaralı besleme noktasının sol taraftaki ölçüm, sağ taraftaki benzetimde elde edilen elektrik alan polar grafiği

Şekil 4.32’de 2 GHz frekans için 10 numaralı besleme noktasının polar elektrik alan grafiği verilmiştir. Ölçüm ve benzetim grafikleri incelendiğinde şekillerin benzerliğinin az olduğu göze çarpmaktadır. Bu durumun nedeni olarak 10 numaralı besleme noktasının bulunduğu soğutucu tabanı ışına yönünden hassas bölge olması gösterilir. Besleme noktası olarak açılan giriş deliğinin ufak saplamalarda dahi ışına davranışının değiştiği söylenebilir.



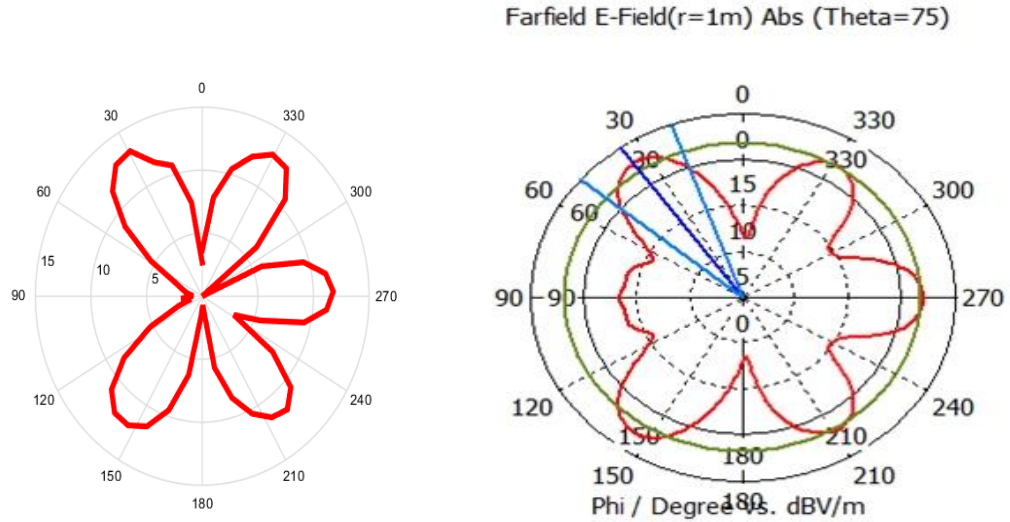
Şekil 4. 33. 4 GHz frekansta 1 numaralı besleme noktasının sol taraftaki ölçüm, sağ taraftaki benzetimde elde edilen elektrik alan polar grafiği

4 GHz frekansta 1 numaralı besleme noktasının polar elektrik alan grafiği Şekil 4.33’de verilmiştir. Grafik incelendiğinde benzetim ve ölçüm sonuçlarının birbirini sağladığı görülür. 30° , 90° ve 150° de ana ışına huzmeleri dikkat çekmektedir.



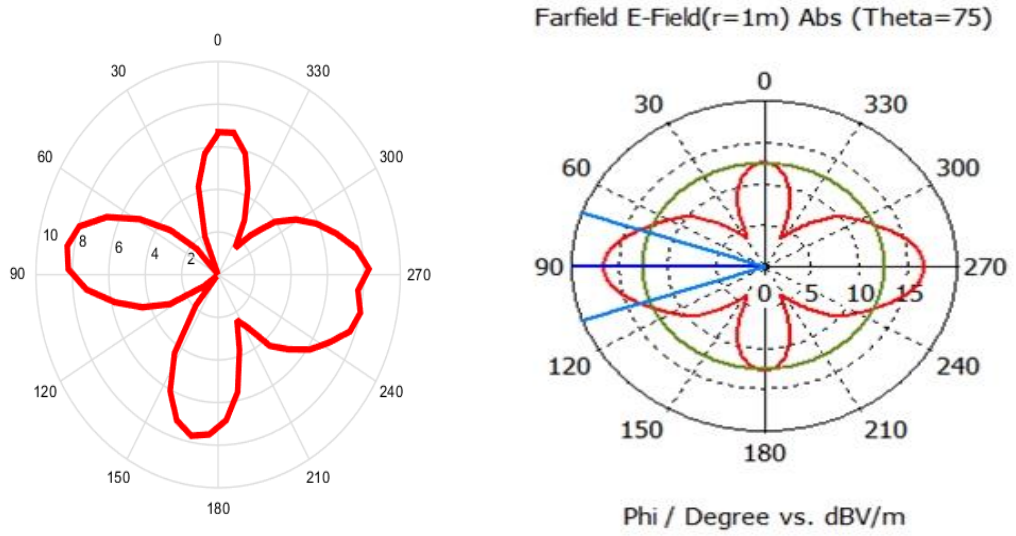
Şekil 4. 34. 4 GHz frekansta 2 numaralı besleme noktasının sol taraftaki ölçüm, sağ taraftaki benzetimde elde edilen elektrik alan polar grafiği

Şekil 4.34'de 4 GHz frekansta 2 numaralı besleme noktasına ait ölçüm ve benzetimden elde edilen polar elektrik alan grafiği verilmiştir. Şekil olarak incelendiğinde benzetim ve ölçüm verileri birbiriyle örtüşmektedir. Ayrıca 0° , 60° ve 280° 'deki ana huzmeler belirgin bir şekilde görülmektedir.



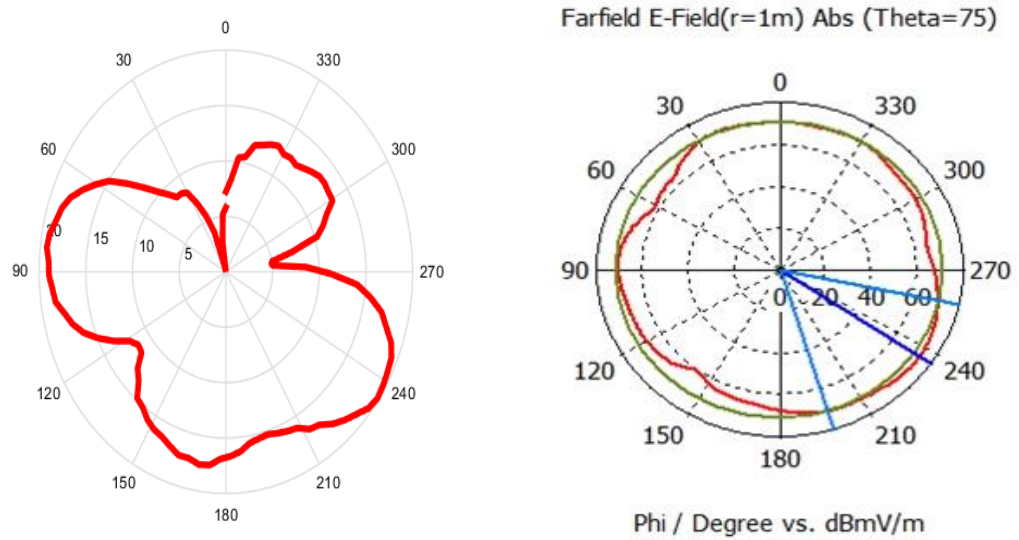
Şekil 4. 35. 4 GHz frekansta 4 numaralı besleme noktasının sol taraftaki ölçüm, sağ taraftaki benzetimde elde edilen elektrik alan polar grafiği

4 GHz frekansta 4 numaralı besleme noktasına ait ölçüm ve benzetimden elde edilen elektrik alan polar grafiği Şekil 4.35'de görülmektedir. Grafığe bakıldığında ölçüm ve benzetimin birbiriyle aynı olduğu açık bir şekilde gözlemlenmektedir. Grafikler incelendiğinde 30° , 150° , 210° , 270° ve 330° 'de ana huzmelerin olduğu göze çarpmaktadır.



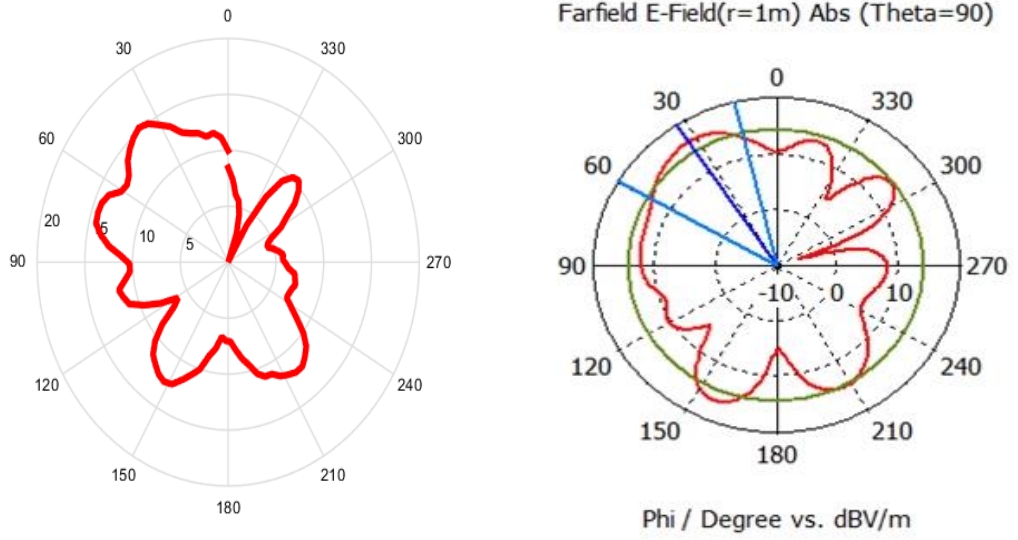
Şekil 4. 36. 4 GHz frekansta 5 numaralı besleme noktasının sol taraftaki ölçüm, sağ taraftaki benzetimde elde edilen elektrik alan polar grafiği

Şekil 4.36'da 4 GHz frekansta 5 numaralı besleme noktasına ait ölçüm ve benzetimden elde edilen polar elektrik alan grafikleri verilmiştir. Grafikler incelendiğinde ölçüm ve benzetim verilerinin birbiriyle örtüştüğü görülmektedir. Şeklin ana huzmelerine bakıldığında 0° , 90° , 180° ve 270° 'de oldukları açıkça anlaşılmaktadır.



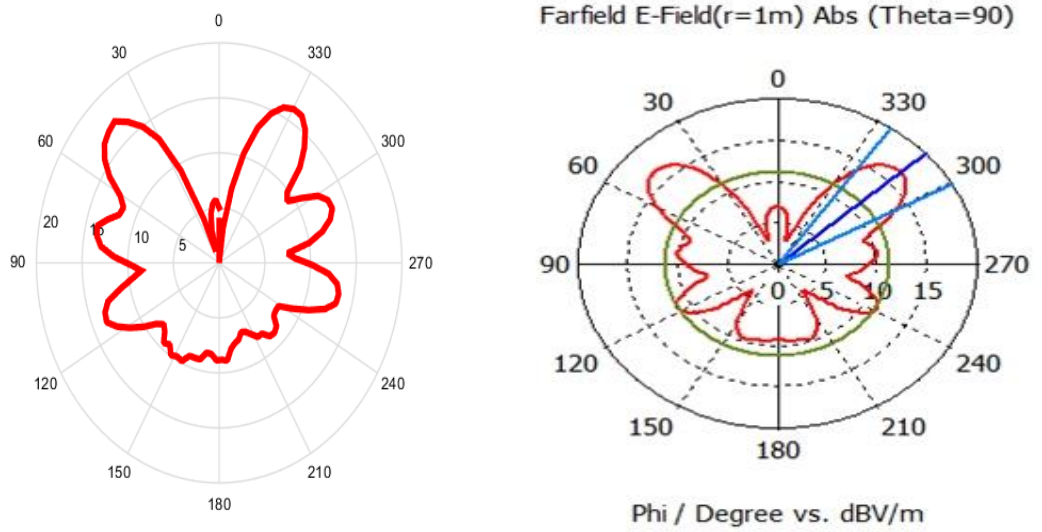
Şekil 4. 37. 4 GHz frekansta 10 numaralı besleme noktasının sol taraftaki ölçüm, sağ taraftaki benzetimde elde edilen elektrik alan polar grafiği

4 GHz frekansta 10 numaralı besleme noktasına ait ölçüm ve benzetimden elde edilen elektrik alan polar grafiği Şekil 4.37'de görülmektedir. Grafiğe bakıldığında ölçüm ve benzetimin birbirinden farklıdır. Bu durum sadece 10 numaralı besleme noktasında karşımıza çıkmaktadır.



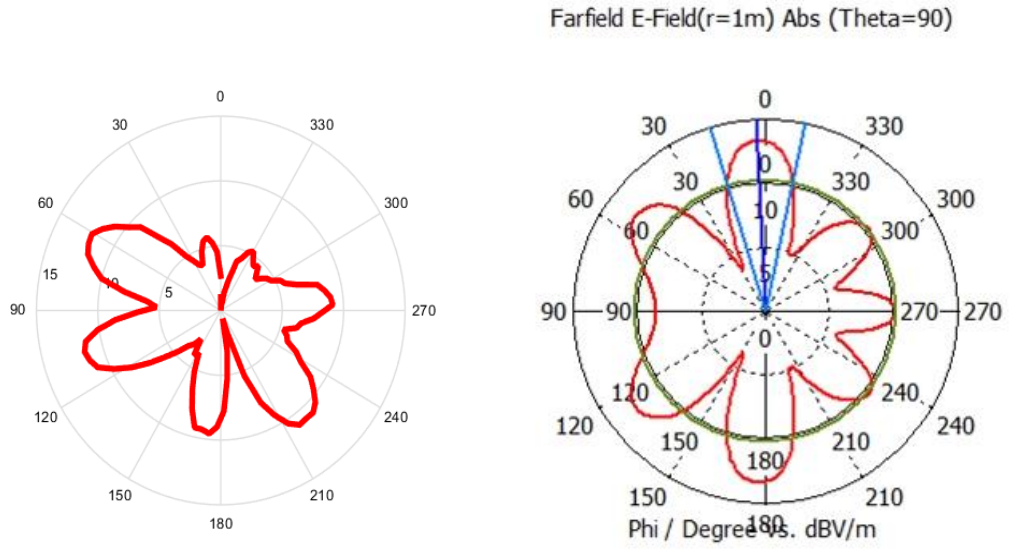
Şekil 4. 38. 6 GHz frekansta 1 numaralı besleme noktasının sol taraftaki ölçüm, sağ taraftaki benzetimde elde edilen elektrik alan polar grafiği

Şekil 4.38’de 6 GHz frekansta 1 numaralı besleme noktasına ait ölçüm ve benzetimden elde edilen polar elektrik alan grafiği verilmiştir. Şekil olarak incelendiğinde benzetim ve ölçüm verileri birbiriyle örtüşmektedir. Ayrıca 40° , 70° , 150° ve 220° ’deki ana huzmeler belirgin bir şekilde görülmektedir.



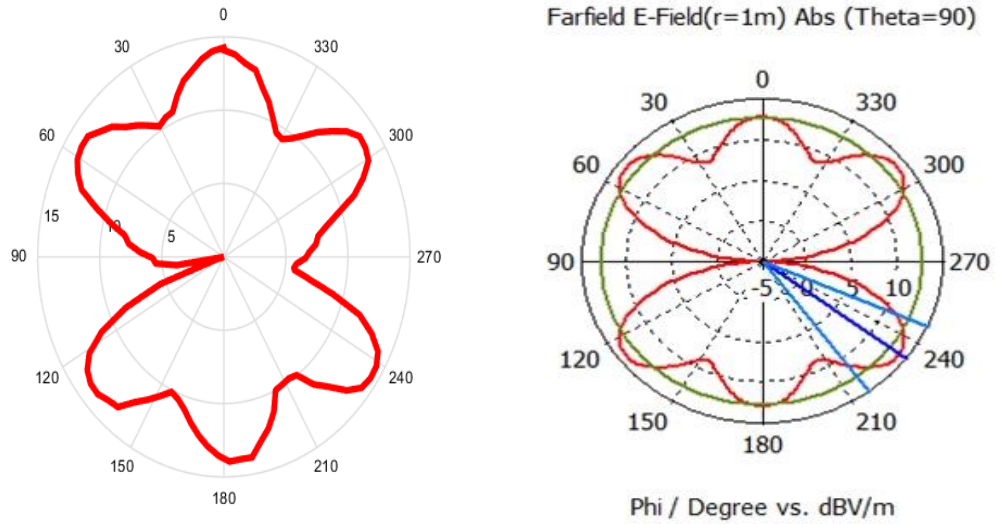
Şekil 4. 39. 6 GHz frekansta 2 numaralı besleme noktasının sol taraftaki ölçüm, sağ taraftaki benzetimde elde edilen elektrik alan polar grafiği

6 GHz frekansta 2 numaralı besleme noktasına ait polar elektrik alan grafiği Şekil 4.39’da verilmiştir. Benzetim ve ölçüm şekilleri incelendiğinde birbiri ile olan benzerliği açıkça görülmektedir. Ana huzmelerin 50° ve 320° ’de olduğu şekil üzerinden kolayca belirlenmektedir.



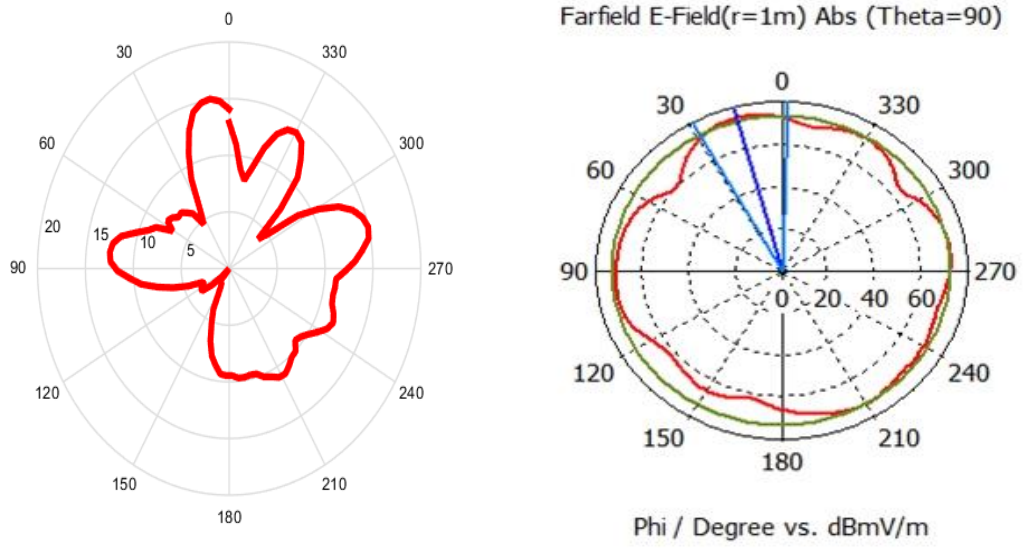
Şekil 4. 40. 6 GHz frekansta 4 numaralı besleme noktasının sol taraftaki ölçüm, sağ taraftaki benzetimde elde edilen elektrik alan polar grafiği

Şekil 4.40'da 6 GHz frekansta 4 numaralı besleme noktasına ait ölçüm ve benzetim polar elektrik alan grafikleri verilmiştir. Şekiller görsel olarak birbirine benzer olmakla beraber ufak farklılıklar görülmektedir. 0° ve 330° derecedeki huzmelerin değişik çıkması ölçümde oluşan hata payındandır. Ayrıca grafik incelendiğinde 60° , 105° ve 180° 'deki ana huzmeler dikkat çekmektedir.



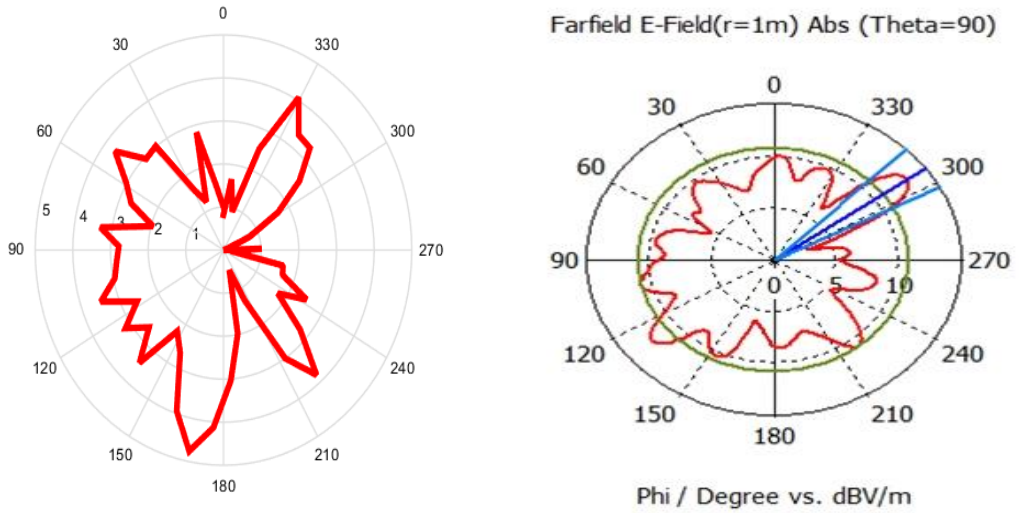
Şekil 4. 41. 6 GHz frekansta 5 numaralı besleme noktasının sol taraftaki ölçüm, sağ taraftaki benzetimde elde edilen elektrik alan polar grafiği

Şekil 4.41'de 6 GHz frekansta 5 numaralı besleme noktasının polar elektrik alan grafiği verilmiştir. Şekiller birbiriyle aynıdır ve bu durum ölçüm ile benzetimin uyumlu olduğunu ortaya koymaktadır. Şekil olarak incelendiğinde 0° ve 180° 'de iki ana huzme belirgin bir şekilde görülmektedir.



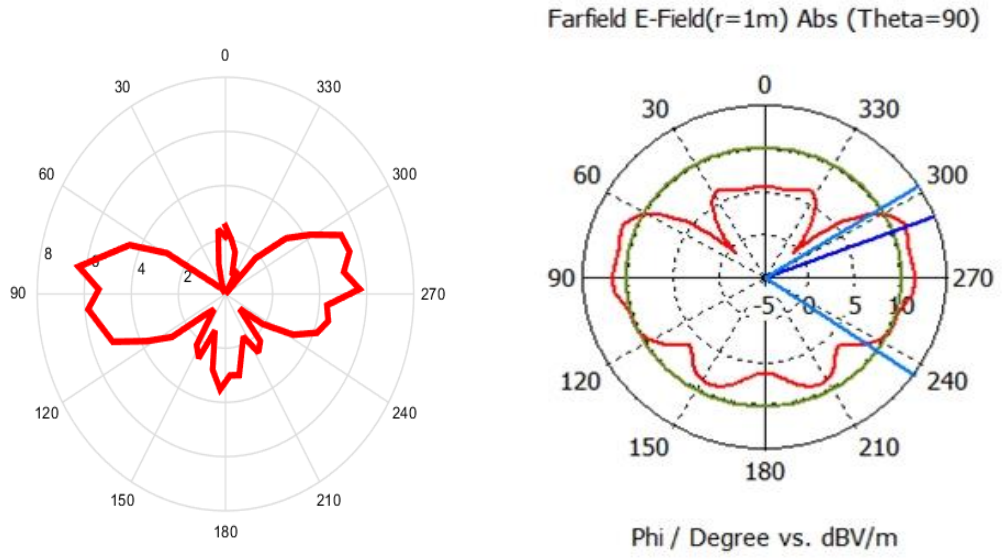
Şekil 4. 42. 6 GHz frekansta 10 numaralı besleme noktasının sol taraftaki ölçüm, sağ taraftaki benzetimde elde edilen elektrik alan polar grafiği

Şekil 4.42’de 6 GHz frekans için 10 numaralı besleme noktasının polar elektrik alan grafiği verilmiştir. Ölçüm ve benzetim grafikleri incelendiğinde şekillerin benzerliğinin az olduğu göze çarpmaktadır. Önceki 10 numaralı besleme noktasına ait grafiklerde olduğu gibi bu durumun nedeni olarak 10 numaralı besleme noktasının bulunduğu bölgede soğutucu tabanının ışına yönünden hassas bölge olması gösterilir.



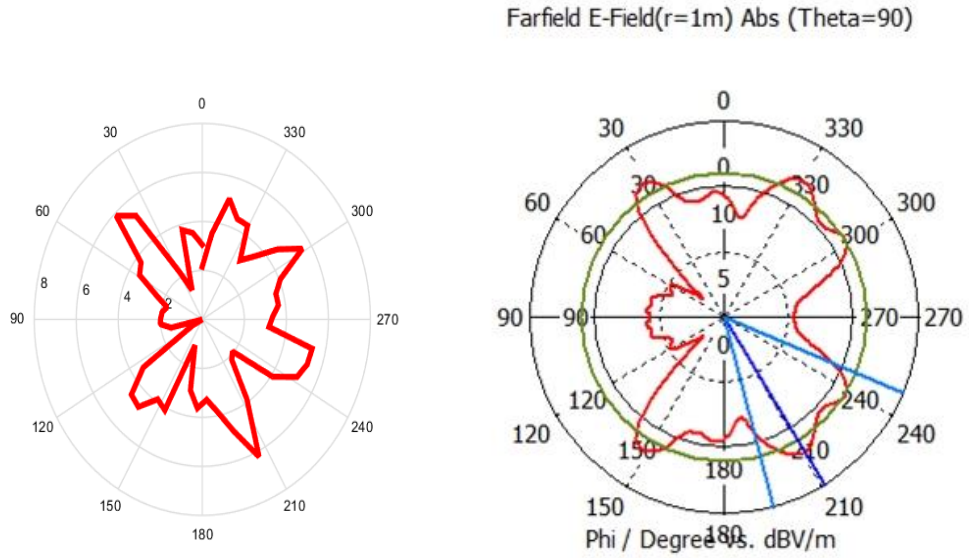
Şekil 4. 43. 8 GHz frekansta 1 numaralı besleme noktasının sol taraftaki ölçüm, sağ taraftaki benzetimde elde edilen elektrik alan polar grafiği

Şekil 4.43’de 8 GHz frekansta 1 numaralı besleme noktasına ait ölçüm ve benzetimden elde edilen polar elektrik alan grafiği verilmiştir. Şekil olarak incelendiğinde benzetim ve ölçüm verileri birbiriyle yaklaşık olarak örtüşmektedir. Ayrıca 60°, 110°, 170° ve 330°’deki ana huzmeler belirgin bir şekilde görülmektedir.



Şekil 4. 44. 8 GHz frekansta 2 numaralı besleme noktasının sol taraftaki ölçüm, sağ taraftaki benzetimde elde edilen elektrik alan polar grafiği

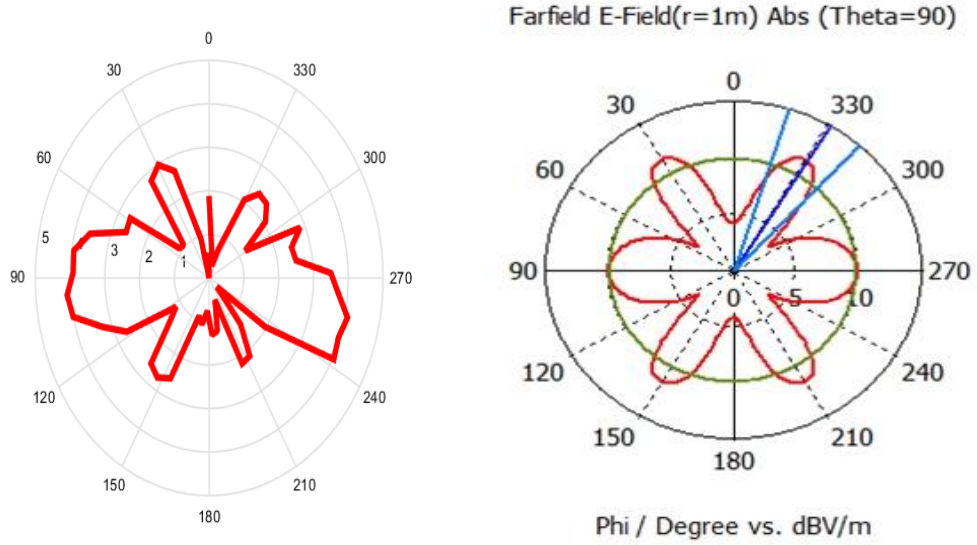
Şekil 4.44’de 8 GHz frekansta 2 numaralı besleme noktasına ait ölçüm ve benzetim polar elektrik alan grafikleri verilmiştir. Ölçüm ve benzetim sonuçlarının ufak farklılıklar ile beraber aynı olduğu yorumu yapılır. Grafiklerde 2 numaralı besleme noktasının 90° ve 270° ‘de iki ana huzmesinin olduğu görülmektedir. Ayrıca 0° ve 180° ‘de oluşan huzmelerin ölçümde zayıflamış olarak çıktığı göze çarpmaktadır.



Şekil 4. 45. 8 GHz frekansta 4 numaralı besleme noktasının sol taraftaki ölçüm, sağ taraftaki benzetimde elde edilen elektrik alan polar grafiği

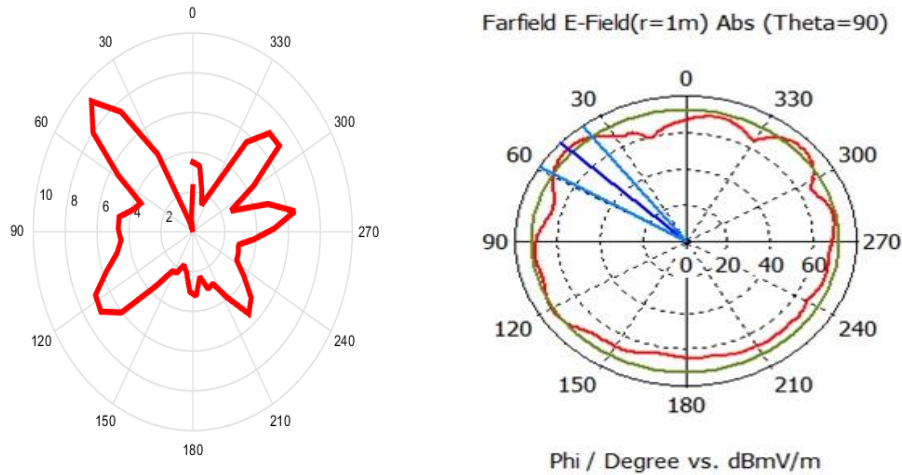
Şekil 4.45’de 8 GHz frekansta 4 numaralı besleme noktasının elektrik alan polar grafiği verilmiştir. Şekiller incelenecek olursa birbirine çok benzediği dolayısıyla

ölçümün ve benzetiminin birbirini sağladığını söyleyebiliriz. Ayrıca 30° , 150° , 210° , 300° ve 330° 'de açığa çıkan ana huzmeler açıkça görülmektedir.



Şekil 4. 46. 8 GHz frekansta 5 numaralı besleme noktasının sol taraftaki ölçüm, sağ taraftaki benzetimde elde edilen elektrik alan polar grafiği

8 GHz frekansta 5 numaralı besleme noktasının polar elektrik alan grafiği Şekil 4.46'da verilmiştir. Grafik incelendiğinde benzetim ve ölçüm sonuçlarının birbirini yaklaşık olarak sağladığı görülür. 90° ve 270° de ana ışına huzmeleri belirgin bir şekilde grafik üzerinden anlaşılmaktadır. Ayrıca ölçümle elde edilen grafik benzetimle oluşturulan grafiğe göre kıyaslandığında 30° , 150° , 210° ve 330° 'deki huzmelerin zayıf olarak elde edildiği sonucuna ulaşılır



Şekil 4. 47. 8 GHz frekansta 10 numaralı besleme noktasının sol taraftaki ölçüm, sağ taraftaki benzetimde elde edilen elektrik alan polar grafiği

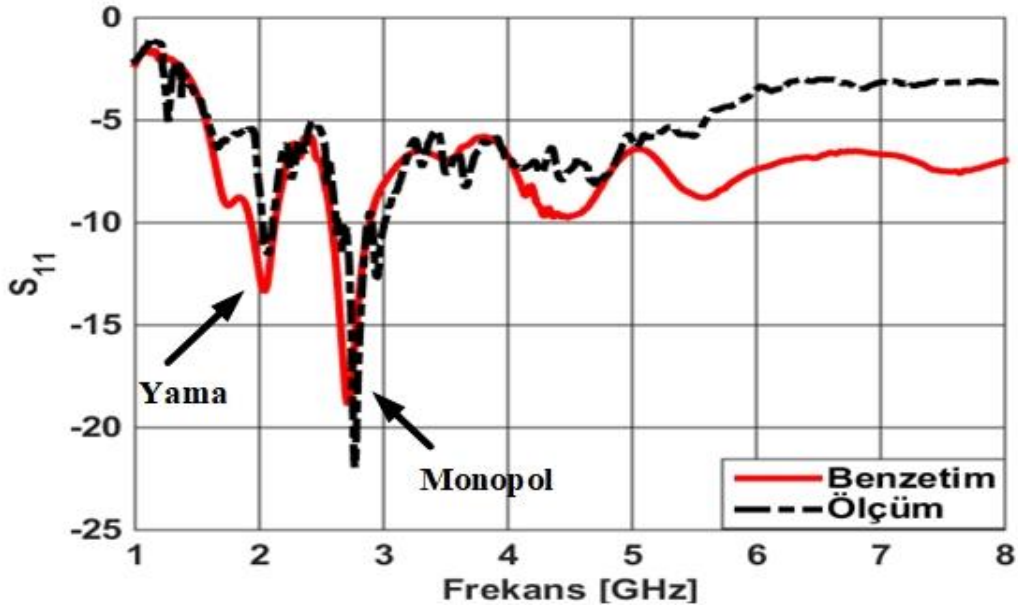
Şekil 4.47'de 8 GHz frekans için 10 numaralı besleme noktasının polar elektrik alan grafiği verilmiştir. Ölçüm ve benzetim grafikleri incelendiğinde şekillerin

benzerliğinin az olduğu göze çarpmaktadır. 8 GHz frekansı da dahil olmak üzere incelenen 2,4,6 GHz frekanslar için 10 numaralı besleme noktasının ışına örüntüsünün benzetim ve ölçüm sonuçları birbiriyle alakasız çıkmıştır. Bu durumun açıklaması 10 numaralı besleme noktasının delik açıldığı soğutucu tabanındaki bölgenin ışına yönünden hassas olması ve de ufak farklılıklar ve hatalarda dahil olmak üzere sonuçları baştan başa etkilemesidir.

4.4.2.1. VNA ile yapılan S11 parametresi ölçümü

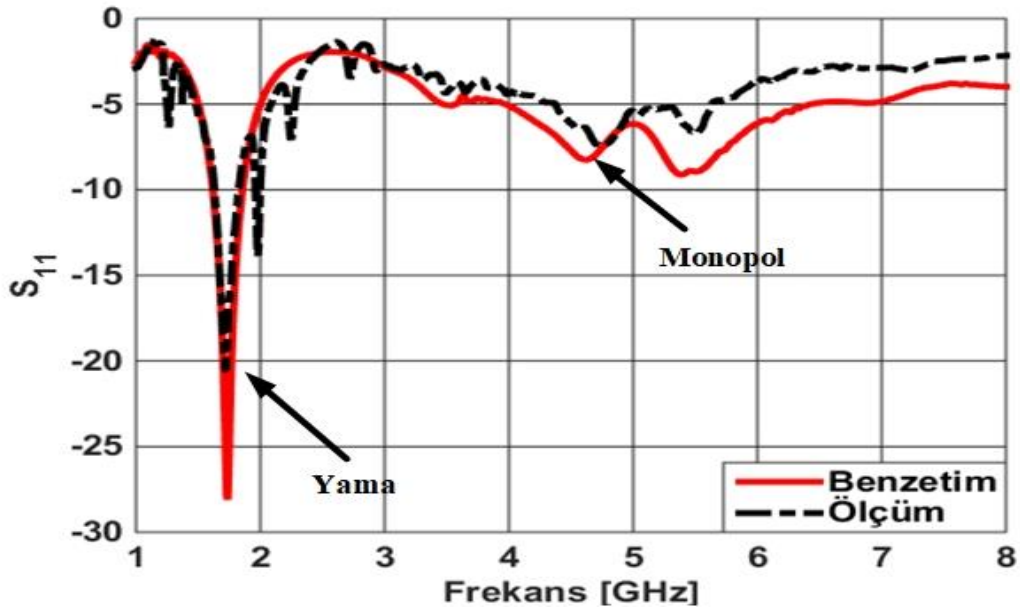
VNA ve soğutucu ölçüm düzeneğine ait detaylı bilgi materyal ve metot kısmında açıklanmıştır. Bu kısımda soğutucunun 5 adet besleme noktası için S11 parametrelerinin ölçüm ve benzetim sonuçları kıyaslanacaktır. VNA tek girişten kalibre edilerek S11 parametre değerleri alınmıştır. Kalibrasyon için sırasıyla girişe açık devre, yük bağlantısı ve kısa devre durumları tanıtılmıştır. Sonuçlar alınırken frekans aralığı 1601 noktaya bölünmüştür ve bu noktalarındaki verilerin gerçek ve sanal kısımları elde edilmiştir. Ayrıca grafiklerin üzerinde soğutucunun yama anten ve monopollü anten olarak davrandığı noktalar gösterilmiştir.

Şekil 4.48’de 1 numaralı besleme noktasına ait ölçüm ve benzetim sonuçlarına ait S11 grafiği verilmiştir. Grafik incelendiğinde ölçüm ve benzetimin birbirini sağladığı görülür. 2 GHz, 2.7 GHz ve 4.6 GHz frekanslarındaki değerler soğutucunun bu bölgede anten gibi davrandığına işaret etmektedir.



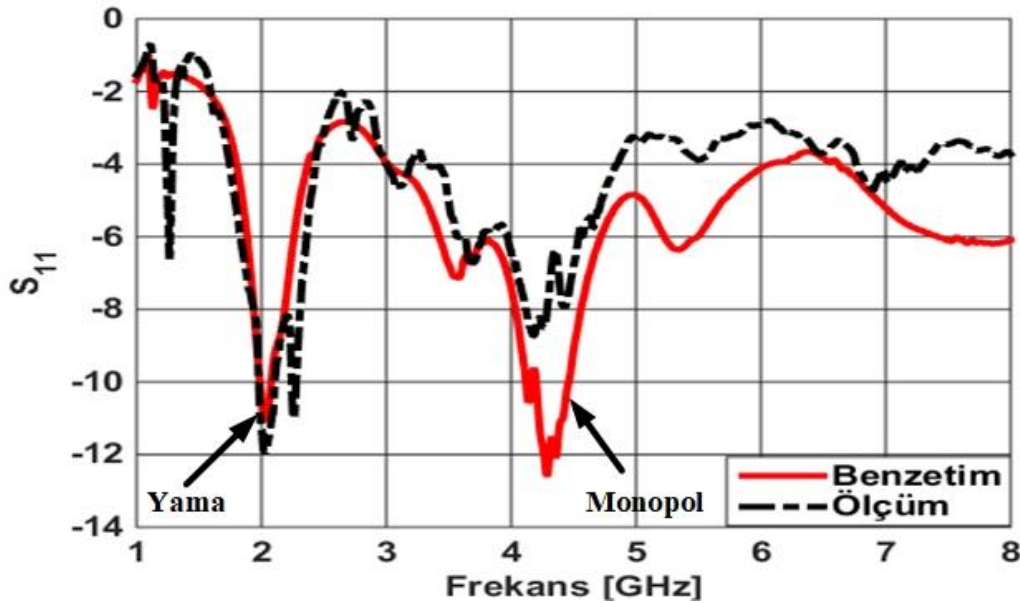
Şekil 4. 48. 1 numaralı besleme noktasının ölçüm ve benzetiminden elde edilen S11 grafiği

2 numaralı besleme noktasına ait ölçüm ve benzetim sonuçlarından çıkarılan S11 grafiği Şekil 4.49’da verilmiştir. Grafik incelendiğinde ölçüm ve benzetim sonuçları birbiriyle örtüşmektedir. Ayrıca 1.7 GHz frekansına dikkatli bakıldığında soğutucu 2 numaralı besleme noktasından beslendiğinde anten gibi ışımaktadır.



Şekil 4. 49. 2 numaralı besleme noktasının ölçüm ve benzetiminden elde edilen S11 grafiği

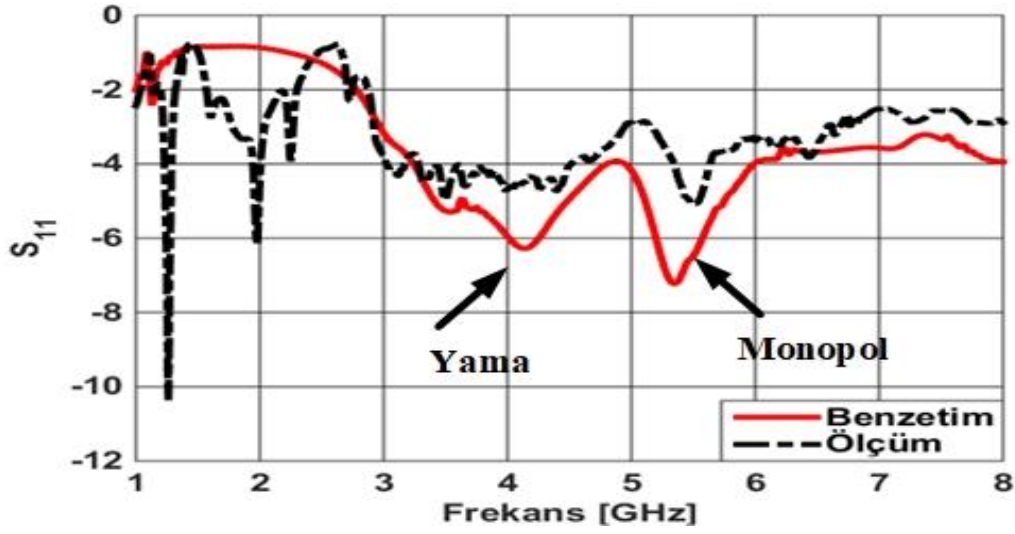
Şekil 4.50’de 4 numaralı besleme noktasının ölçüm ve benzetiminden elde edilen S11 grafiği görülmektedir. Grafiğe bakıldığında cüzi miktarda frekans kaymalarıyla birlikte sonuçlar biriyle uyumludur. Anten davranışları incelendiğinde 2 GHz ve 4.3 GHz’de anten özelliği göstermektedir.



Şekil 4. 50. 4 numaralı besleme noktasının ölçüm ve benzetiminden elde edilen S11 grafiği

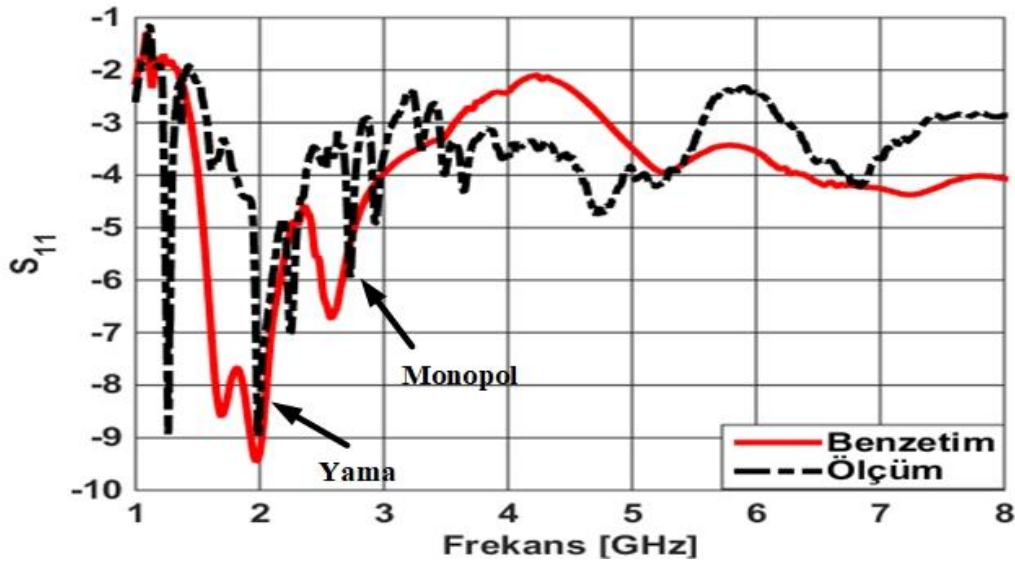
5 numaralı besleme noktasının ölçüm ve benzetim verilerinden elde edilen S11 grafiği Şekil 4.51’de verilmiştir. Grafik incelendiğinde olgusal olarak birbiriyle

örtüşmektedir. Verilere bakıldığında 1 ile 8 GHz frekans aralığında soğutucunun anten davranışı gösterdiği bölge yoktur.



Şekil 4.51. 5 numaralı besleme noktasının ölçüm ve benzetiminden elde edilen S11 grafiği

Şekil 4.52'de 10 numaralı besleme noktasının ölçüm ve benzetim sonuçlarından elde edilen S11 grafiği verilmiştir. Grafiğe bakıldığında olgusal olarak farklar olmakla birlikte yaklaşık olarak birbirini sağlamaktadır. Ayrıca grafiğe bakıldığında 10 numaralı besleme noktasının 1 ile 8 GHz frekans aralığında anten gibi davrandığı bölge bulunmamaktadır.



Şekil 4.52. 10 numaralı besleme noktasının ölçüm ve benzetiminden elde edilen S11 grafiği

5. SONUÇLAR

Bu tez çalışmasında soğutucu boyutlarının parametrik analizi, soğutucunun taban yapısına göre analizi, soğutucunun kanatçık yapısına göre analizi ve soğutucunun taban kısmında besleme noktası adını verdiğimiz kaynak noktalarının ışımaya performansına etkisi analiz edilerek elektromanyetik ışımaya davranışları incelenmiştir. Bu başlıkların benzetimi CST programında yapılmış olup besleme noktalarının analizi laboratuvar ortamında yapılan uzak alan ölçümleri ve S11 ölçümleri ile desteklenmiştir.

Soğutucuların parametrik analizleri sırasıyla kanatçık sayısı, boy, en, ve yükseklik parametreleri değiştirilerek yapılmıştır. Kanatçık sayısı 2, 4, 6, 8 ve 10 olarak alınıp benzetimleri gerçekleştirilmiştir. Benzetim sonuçları aynı grafik üzerinde toplandığında kanatçık sayısının etkisinin nerdeyse olmadığı belirlenerek en büyük ışımaya farkının 2.5 dB'nin altında olduğu saptanmıştır. Kanatçık sayısının değişiminin S11 üzerindeki etkisi de incelenmiş olup grafiği şekilsel olarak değiştirmemekle birlikte genlik değişimine olan etkisi 1 dB'nin altındadır.

Soğutucu boyunun değişimini ele alındığında yama anten davranışından dolayı ışımaya karakteristiği ve genliğin değişmesi beklenir. Bu durumu incelemek üzere soğutucu boyunun değeri 80, 90, 100, 110, 120 mm olarak alınıp benzetimleri elde edilmiştir. 2 GHz'e kadar boy değişiminin bir etkisinin olmadığı kanısına varılmış olup 2.4 GHz'de boyun artmasıyla birlikte ışımaya 4 dB artmıştır. 2.75 GHz'e bakıldığında 80 mm'ye göre 100 mm değeri 6 dB daha fazla ışımaya yapmıştır. Ayrıca ışımaya farkının cüzi miktarda frekans kaymasından oluştuğu söylenir. S11'e bakıldığında 2 ile 4 GHz aralığında oluşan tepeler boyun artmasıyla birlikte düşük frekans bölgesine kaymıştır ve genlikleri değişmiştir. Aynı durum 4 ile 8 GHz aralığında da mevcuttur.

Soğutucunun eninin değişimine bakıldığında yama anten özelliğinden ötürü ışımaya olgusu ve genliği değişmiştir. Benzetim ortamında soğutucu en değerleri 80, 100, 120, 140, 160 mm olarak alınmıştır. Veriler incelendiğinde 1 ile 2.1 GHz aralığında en parametresinin artmasıyla beraber ışımaya da artmıştır. 2.1 GHz ile 6 GHz aralığında ışımaya farkının 3 dB'nin altında olduğu belirlenerek kabaca aynı olduğu söylenir. 6 ile 8 GHz aralığında en değişimiyle beraber ışımaya yer yer 5 dB arttığı gözlemlenmiştir. S11 sonuçları göz önüne alındığında 3.5 ile 4 GHz aralığında en değerinin artmasıyla birlikte olgudaki tepenin düşük frekans bölgesine doğru kaydığı ve genliğinin azaldığı saptanmıştır. S11 verileri genel olarak incelendiğinde 2 ile 8 GHz arasında faz kaymasıyla birlikte genlik değerleri değişmiştir.

Soğutucunun yükseklik parametresi incelendiğinde en ve boy değerlerinden büyük olması şartıyla teorik olarak kalın bir monopol anten davranışı göstermesi beklenir. Ancak ele aldığımız ölçülerde somutlaştırılabilir olması esas alınmıştır. Bu duruma istinaden 14 ile 94 mm aralığında 20 mm aralıklarla yükseklik değiştirilerek benzetimi yapılmıştır. Sonuçlar incelendiğinde 1 ile 2 GHz aralığında ışımaya olgusu aynı kalmakla birlikte genliği 2 dB'den azdır. 2.4 GHz'e bakıldığında 14 mm yükseklik değeri diğerlerine göre yaklaşık 5 dB fazla ışımaya yapmıştır. 2.4 ile 8 GHz aralığında ise grafik olgusu aynı kalmakla birlikte ortaya çıkan ışımaya miktarı 2 dB'nin altındadır. S11 grafiği incelendiğinde yükseklik değişimiyle beraber şeklin kaldığı görülmüştür. Bununla birlikte yer yer genlik değerleri değişmiştir ve bu değişimler 2.5 dB'nin altında kalmıştır.

Taban yapısının değişimi dikdörtgen, kare ve silindir yapı için analiz edilmiştir. Uzak alan benzetiminde 1 ile 2 GHz aralığında kare tabanlı soğutucunun diğerlerine göre 4 dB civarı daha fazla ışıma yaptığı görülmüştür. 2 ile 4 GHz aralığında dikdörtgen tabanlı soğutucu diğerlerine göre 6 dB civarı daha fazla ışıma yapmıştır. Ayrıca bu bölgede kare ve silindir tabanlı soğutucunun ışıma değerleri birbirine çok yakındır. 4 ile 6 GHz frekans bölgesi incelendiğinde kare ve silindir tabanlı soğutucuların ışıma değerleri birbirine yakın olmakla birlikte farklı olduğu bölgeler için aralarındaki fark 2 dB'nin altındadır. Dikdörtgen tabanlı soğutucu bu frekans aralığında diğerlerine göre yaklaşık 5 dB daha az ışıma yapmıştır. 6 ile 8 GHz deki ışıma davranışları incelendiğinde dikdörtgen tabanlı soğutucunun diğer soğutuculardan daha fazla ışıdığı ve değer olarak 3 dB'yi geçmediği belirlenmiştir. Genel itibarıyla incelendiğinde kare ve silindir tabanlı soğutucunun uzak alan ışıma grafiğinin birbirine yakın olduğu ancak silindir tabanlı soğutucunun bir miktar daha az ışıma yaptığı yorumu yapılır. Dikdörtgen tabanlı soğutucu içinse diğer soğutuculara göre ışıma yaptığı frekanslar farklılık göstermiştir. S11 grafiği ele alındığında 3 GHz'de dikdörtgen tabanlı soğutucunun, 4.9 GHz'de silindir tabanlı soğutucunun anten gibi davrandığı açıkça görülmüştür. Kare tabanlı soğutucunun ise anten davranışı diğerlerine göre daha zayıftır.

Soğutucuların kanatçık yapısını incelemek üzere 4 farklı tipte kanatçık yapısı ele alınmıştır. Bunlar dikdörtgen tip kanatçık, parabol tip kanatçık, gökdelen tip kanatçık ve silindirik tip kanatçıklardır. Seçilen bu soğutucular ısıyı atma bakımından yaklaşık olarak aynı performansa sahiptir. Benzetimler neticesinde grafikler incelendiğinde parabol kanatçıklı soğutucu ile dikdörtgen kanatçıklı soğutucu, gökdelen kanatçıklı soğutucu ile silindir kanatçıklı soğutucu birbiriyle aynı ışıma şekline sahip olduğu belirlenmiştir. Ayrıca tüm frekans bandı incelendiğinde kanatçık yapısının ışımaya etkisinin 2 dB'den az olduğu saptanmıştır. Benzetimde elde edilen S11 grafiği incelendiğinde kanatçık yapısı farklılığının şekilsel olarak etkisinin olmaması ile birlikte bazı frekans bölgeleri için genliğin 1 dB civarında değiştiği gözlemlenmiştir. S11 grafiği genel olarak ele alındığında kanatçık yapısının soğutucunun anten davranışına etkisinin olmadığı sonucuna varılmıştır.

Soğutucu tabanında birbirinden farklı kaynak uygulama noktaları belirlenmiştir. Bu kaynak noktaları besleme noktaları olarak isimlendirilip Şekil 4.1'de gösterilmiştir. Beş farklı besleme noktası için ayrı ayrı benzetimler yapılarak veriler aynı grafik üzerinde toplanmıştır. Uzak alan için elde edilen benzetim sonuçları incelendiğinde 1 ile 2 GHz aralığında diğer besleme noktalarının birbiriyle yaklaşık olarak aynı olmalarına karşın 5 numaralı besleme noktasına göre 10 dB daha fazla ışıma yapmışlardır. 2 ile 3 GHz aralığına bakıldığında en fazla ışımayı 1 numaralı besleme noktasının en az ışımayı ise 15 dB değerine yakın olarak 5 numaralı besleme noktasının yaptığı gözlemlenmiştir. Ayrıca bu bölgede 1 numaralı besleme noktasına göre kıyaslandığında besleme noktası 4 ile besleme noktası 10 yaklaşık 2 dB, besleme noktası 2'nin ise yaklaşık olarak 5 dB daha az ışıma yaptığı görülmüştür. 3 ile 6 GHz aralığı incelendiğinde besleme noktalarının ışımalarının birbirine benzer olduğu ve aralarındaki farkın 3 dB'den az olduğu net bir şekilde belirlenmiştir. 6 ile 7 GHz aralığına değinildiğinde 1 ile 2 numaralı besleme noktalarının ışımalarına birbiriyle aynı olduğu ve en çok ışımayı yaptığı ve en az ışımaya sahip 5 numaralı besleme noktasından 7 dB daha fazla olduğu yorumu yapılır. 7 ile 8 GHz aralığında olgusal olarak farklılıklar olmakla birlikte yaklaşık olarak ışıma değerleri birbirine yakın olup ve aralarındaki fark

2 dB'den az olarak bulunmuştur. S11 benzetim sonuçlarına bakıldığında 1, 2 ve 4 numaralı besleme noktalarının farklı frekanslarda soğutucuyu antene dönüştürdüğü saptanmıştır. Besleme noktası 2'nin 1.7 GHz'de bir adet, besleme noktası 1'in sırasıyla 2 GHz, 2.7 GHz ve 4.6 GHz'de olmak üzere 3 adet, besleme noktası 4'ün 2 GHz ve 4.3 GHz'de olmak üzere 2 adet anten davranışı gösterdiği bölge vardır. Ek olarak besleme noktası 5 ve 10 içinse tüm frekans bandında anten olarak davrandığı bölgeye rastlanmamıştır. Genel olarak besleme noktaları ele alındığında ışınım bakımından en az değere sahip ve en kararlı olarak 5 numaralı besleme noktası, en kötü değere ve en kararsız yapıya sahip olarak 1 numaralı besleme noktası gösterilir. Bununla birlikte 2 numaralı besleme noktasının tek bölge frekans için anten karakteristiği oldukça güçlüdür. Besleme noktaları için S11 ve uzak alan benzetimlerinin ölçümleri yapılmış olup ulaşılan veriler benzetim sonuçlarını destekler niteliktedir. En küçük huzme genişliği merkez açısı $\phi=285^\circ$ olmak üzere 30° (4 GHz) ve en büyük huzme genişliği merkez açısı 120° olmak üzere $\phi=90^\circ$ (4 GHz) olarak ölçülmüştür.

Bu çalışmada elektronik cihaz tasarımcıları için elektromanyetik uyumluluk testlerinde soğutucu kaynaklı sorun yaşadığı frekans bölgesinde en uygun soğutucu modeline karar vermesi ve soğutucunun cihaza göre konumunun belirlenmesine yardımcı olması hedeflenmiştir. Ayrıca çalışmanın kapsamını büyük ölçüdeki endüstriyel alüminyum soğutucular oluşturmaktadır.

6. KAYNAKLAR

- Ahn, C., and Oh, J. 2014. Resistive grounding technique of the heatsink for reducing radiation noise. *Journal of Electrical Engineering and Technology*, 9 (5): 1724-1728.
- Archambault, B., Pratapneni, S., Zhang, L., and Wittwer, D. C. 2001. Comparison of various numerical modelling tools against standard problem concerning heatsink emissions. *IEEE EMC International Symposium*, pp. 1341-1346, 13-17 Aug, Montreal, Canada.
- Bar-Cohen, A. and Rohsenow, W. M. 1984. Thermally optimum spacing of vertical, natural convection cooled, parallel plates. *Transactions of the ASME*, 116 (106): 116-123.
- Bhobe, A., and Sochoux, P. 2010. Comparison of measured and computed near and far fields of a heatsink using feature selective validation method. *IEEE EMC International Symposium*, pp. 732-736, 25-30 July, Fort Lauderdale, FL, USA.
- Blings, K., and Morey, T. 2011. *Switchmode Power Supply Handbook*. Mc GrawHill, USA, 849 p.
- Brench, C. E. 1994. Heatsink radiation as a function of geometry. *Proceedings of IEEE Symposium on Electromagnetic Compatibility*, pp. 105-109, 22-26 Aug, Chicago, IL, USA.
- Chiappe, J. 2012. Additional techniques to reduce heatsink emissions utilizing RF absorbers. *IEEE EMC International Symposium*, pp. 56-63, 6-10 Aug, Pittsburg, PA, USA.
- Chikando, E., Connor, S., and Archambault, B. 2010. Reduction of heatsink emissions by application of lossy material. *IEEE EMC International Symposium*, pp. 239-243, 25-30 July, Fort Lauderdale, FL, USA.
- Covert, L., Lin, J., Janning, J. And Dalrymple, T. 2007. Dual Function 3-D heatsink antenna for high density 3-D Integration. *IEEE International Workshop on Radio-Frequency Integration Technology*, pp. 26-29, 9-11 December, Singapore.
- Das, S. K., and Roy, T. 1998. An investigation on radiated emissions from heatsinks. *IEEE EMC International Symposium*, pp. 784-789, 24-28 Aug, Denver, CO, USA.
- Felic, G. And Evans, R. 2001. Study of heat sink EMI effects in SMPS circuit. *IEEE EMC International Symposium*, pp. 254-259, 13-17 Aug, Montreal, Canada.
- Georgerian, R., and Montrose, M. 2003. Product safety and the heatsink dilemma of minimizing radiated emissions and maximizing thermal cooling. *IEEE EMC International Symposium*, pp. 134-137, 11-16 May, Istanbul, Turkey.
- Gong, X., Josifovic, I., and Ferreira, J. A. 2013. Modelling and reduction of conducted EMI of inverters with SiC JFETs on insulated metal substrate. *IEEE Transactions on Power Electronics*, 28 (7): 3138-3146.

- Grobler, I., and Gitau, M. N. 2017. Analysis, modelling and measurement of the effects of aluminium and polymer heatsinks on conducted electromagnetic compability in DC-DC converters. *IET Science, Measurement and Technology*, 11 (4): 414-422.
- He, X., Ke, H., and Hubing, T. 2008. Determining the maximum allowable heatsink voltage to ensure compliance with a given radiated emissions specification. *IEE EMC International Symposium*, pp. 62-65, 18-22 Aug, Detroit,MI,USA.
- Jin, H., Zhang, L., Yang, X., Cheng, P., Li, E., and Zhang, Y. 2018. A novel heatsink with mushroom type EBG structure for EMI radiation suppression. *IEEE EMC International Symposium*, pp. 772-775, 14-18 May, Singapore.
- Klotz, F., Petzoldt, J., and Volker, H. 1996. Experimental and simulative investigations of conducted EMI performance of IGBTs for 5-10 kVA converters. *IEEE Power Electronics Specialist Conference*, pp. 1986-1991, 23-27 June, Baveno,Italy.
- Kulanayagam, J., Hagmann, J. H., Hoffmann K. F. And Dickmann, S. 2011. New efficient filter design for a heatsink. *Advances in Radio Science*, 9 (1): 317-321.
- Kulanayagam, J., Hagmann, J. H., Hoffmann, K. F., and Dickmann, S. 2011. Reduction of heatsink common mode currents in switching mode power supply circuits. *Advances in Radio Science*, 9 (1): 321-325.
- Kulanayagam, J., Hagmann, J. H., Schenke, S., Hoffmann, K. F., and Dickmann, S. 2012. Numerical modelling for heatsink emissions in power electronics. *Advances in Radio Science*, 10 (1): 239-243.
- Liu, Q., Jiao, X., Li, J., Khilkevich V., Drewniak, J., Dixon, P., and Arien, Y. 2015. Modelling absorbing materials for EMI mitigation. *IEEE EMC International Symposium*, pp. 1548-1552, 16-22 Aug , Dresden,Germany.
- Lu, J., and Dawson, F. 2006. EMC computer modelling techniques for CPU heatsink simulation. *IEEE Transactions on Magnetics*, 42 (10): 3171-3173.
- Lu, J., Zhu, B., and Thiel, D. 2010. Full wave solution for Intel CPU with a heatsink for EMC investigations. *IEEE Transactions on magnetics*, 46 (8): 3405-3408.
- Manivannan, S., Arumugam, R., Prasanna, S., Paramasivam, S., Salil, P., and Subbarao, B. 2010. Optimization of heatsink EMI using design of experiments with numerical computational investigations and experimental validation. *IEEE EMC International Symposium*, pp. 295-300, 25-30 July, Fort Lauderdale,FL,USA.
- Manivannan, S., Prasanna, S., and Arumugam, R. 2011. Multi-objective optimization of flat plate heatsink using Taguchi-based Grey relational analysis. *The International Journal of Advanced Manufacturing Technology*, 52 (5): 739-749.
- Pozar, D. M. 1997. *Microwave Engineering*. Wiley, USA, 756 p.
- Rollin, J. J., Arcari, G., and Roy, L. 1999. EMC performance of IC packages. *IEEE EMC International Symposium*, pp. 44-46, 2-6 Aug, Seattle,WA,USA.
- Ryan, N. J., Chambers, B., and Stone, D. A. 2002. FDTD modelling of heatsink RF characteristics for EMC mitigation. *IEEE Transactions on Electromagnetic Compability*, 44 (3): 458-465.

- Shah, A., Sammakia, B. G., Srihari, H. and Ramakrishna, K. 2004. A numerical study of the thermal performance of an impingement heat sink fin shape optimization. *IEEE Transactions on Components and Packaging Technologies*, 27 (4): 710-717.
- Shen, G., Yang, S., Sun, J., Xu, S., Pommerenke, D. J., and Khillkevich, V. V. 2017. Maximum radiated emissions evaluation for the Heatsink/IC structure using the measured near electrical field. *IEEE Transactions on Electromagnetic Compability*, 59 (5): 1408-1414.
- Talebzadeh, A., Sochoux, P., Li, J., Liu, Q., Ghosh, K., and Pommerenke, D. 2018. Shielding Effectiveness, coupling path and EMI mitigation for QSFP cages with heatsink. *IEEE Transactions on Electromagnetic Compability*, 60 (5): 1254-1262.
- Wang, C., Drewniak, J. L., Knighten, J. L. Wang, Alexander, R., and Hockanson, D. M. 2001. Grounding of heatpipe, heatspreader and heatsink structures for EMI mitigation. *IEEE EMC International Symposium*, pp. 916-920, 13-17 Aug, Montreal, Canada.
- Wang, D. G., Knighten, J. L., and Muller, P. K. 2002. An Integrated vent, heatsink and EMI shield. *IEEE Semiconductor Thermal Measurement and Management Symposium*, pp. 125-131, 12-14 March, San Jose, CA, USA.
- Zhou, X., Li, J., Fan, H., Bhoje, A., Sochoux, P., and Yu, J. 2013. High frequency EMC design verifications through full wave simulations and measurements in reverberation chamber. *IEEE EMC International Symposium*, pp. 299-305, 5-9 Aug, Denver, CO, USA.
- Zhu, B., Lu, J., and Li, E. 2008. Electromagnetic radiation study of Intel dual die CPU with heatsink. *IEEE International Symposium on Antennas, Propagation and EM Theory*, pp. 949-952, 2-5 Nov, Kunming, China.

7. EKLER

EK-1.

Analiz Parametreleri		Uzak Alan Grafiklerinin Vm Cinsinden Farklı Frekanslardaki Elektrik Alan RMS Hata Tablosu																				
<i>l=80 mm, l=90 mm, l=100 mm, l=110 mm, l=120 mm</i>																						
Frekans Değeri (GHz):	1	1,35	1,7	2,05	2,4	2,75	3,1	3,45	3,8	4,15	4,5	4,85	5,2	5,55	5,9	6,25	6,6	6,95	7,3	7,65	8	
Veri Seti RMS Ortalaması (V/m):	18,3400	9,4100	7,5000	13,2700	12,7000	12,0800	12,3200	12,5700	10,5500	12,6200	11,0100	12,1400	11,8900	10,4000	9,7200	10,5900	12,2900	12,2900	12,6900	11,1500	10,1900	
RMS Hata Değeri (V/m):	1,4600	0,6100	0,2300	0,4900	2,5600	2,6400	1,2900	0,8700	1,7900	2,1100	1,9100	2,4300	0,9900	1,1000	0,6300	0,7400	1,2000	1,2000	2,2100	1,5900	1,5100	
Yüzdelik RMS Hata Değeri (%):	7,9607	6,4825	3,0667	3,6925	20,1575	21,8543	10,4708	6,9122	16,9668	10,0000	16,7495	17,3479	20,0165	8,3263	10,5769	6,4815	6,9877	9,7640	17,4153	14,2601	14,8184	
<i>v=80 mm, v=100 mm, v=120 mm, v=140 mm, v=160 mm</i>																						
Frekans Değeri (GHz):	1	1,35	1,7	2,05	2,4	2,75	3,1	3,45	3,8	4,15	4,5	4,85	5,2	5,55	5,9	6,25	6,6	6,95	7,3	7,65	8	
Veri Seti RMS Ortalaması (V/m):	18,5200	9,3300	8,9500	8,9200	10,4000	14,9000	11,3900	11,5700	11,4400	10,9800	10,5200	10,0100	10,0500	12,0800	11,7900	12,0000	11,7300	11,0800	10,6200	11,0400	9,3300	
RMS Hata Değeri (V/m):	4,3500	1,7800	3,0900	2,2800	0,7600	0,7600	1,4400	1,2300	1,0300	2,0000	1,1100	0,8100	0,8100	1,7700	0,6000	1,7500	1,6300	1,7200	1,4700	2,2800	0,8000	
Yüzdelik RMS Hata Değeri (%):	23,4881	19,0782	34,5251	25,5605	7,3077	5,1007	12,6427	10,6309	9,0035	18,2749	10,5513	8,0919	8,0597	9,6854	5,0891	14,5333	13,8960	15,5235	13,8418	20,6522	8,5745	
<i>l=14 mm, l=34 mm, l=54 mm, l=74 mm, l=94 mm</i>																						
Frekans Değeri (GHz):	1	1,35	1,7	2,05	2,4	2,75	3,1	3,45	3,8	4,15	4,5	4,85	5,2	5,55	5,9	6,25	6,6	6,95	7,3	7,65	8	
Veri Seti RMS Ortalaması (V/m):	17,0500	9,3400	7,5400	12,2000	10,5300	15,2500	10,0800	13,0200	10,1300	11,8000	11,6100	9,3700	10,9100	10,7400	12,1200	10,6600	10,7000	12,9600	12,3100	12,3100	8,9300	8,8400
RMS Hata Değeri (V/m):	0,9200	0,6600	1,1200	1,8200	2,3400	0,8100	0,8000	1,2300	0,7400	0,9100	0,9100	0,6600	1,1200	0,4700	0,4700	0,4200	0,6100	1,1000	1,1000	0,5100	0,4000	0,4400
Yüzdelik RMS Hata Değeri (%):	5,3959	7,0664	14,8541	14,9180	22,2222	5,3115	7,9365	9,4470	7,3050	7,7119	7,8381	7,0438	10,2658	4,3762	3,8719	3,9400	5,7009	8,4877	4,1430	4,4793	4,4974	

$n=2, n=4, n=6, n=8, n=10$																					
$n=2, n=4, n=6, n=8, n=10$																					
$n=2, n=4, n=6, n=8, n=10$																					
Frekans Değeri (GHz):	1	1,35	1,7	2,05	2,4	2,875	3,35	3,825	4,3	4,775	5,25	5,725	6,2	6,675	7,15	7,625	8,1	8,575	9,05	9,525	10
Veri Seti RMS Ortalaması (V/m):	18,6300	9,6038	7,2828	13,1900	9,5100	15,5000	10,2200	12,8600	10,1300	12,4300	11,9000	9,4300	11,0000	10,8000	11,6300	10,6700	11,1900	13,2200	14,4700	8,7500	7,8600
RMS Hata Değeri (V/m):	1,5900	0,3683	0,6089	1,3852	0,4700	1,0390	1,0900	0,6600	0,6700	0,1800	0,0600	0,2100	0,2000	0,3500	0,9400	0,4200	0,3500	0,8400	1,8200	0,3400	0,2900
Yüzelelik RMS Hata Değeri (%):	8,3346	3,8349	8,3608	10,5019	4,9422	6,7032	10,6654	5,1322	6,6140	1,4481	0,5042	2,2269	1,8182	3,2407	8,0825	3,9363	3,1278	6,3540	12,5777	3,8857	3,6896
Sığıtıcı taban şeklinin analizi																					
kare taban, sınırdır taban, dikdörtgen taban																					
Frekans Değeri (GHz):	0,5	0,975	1,45	1,925	2,4	2,875	3,35	3,825	4,3	4,775	5,25	5,725	6,2	6,675	7,15	7,625	8,1	8,575	9,05	9,525	10
Veri Seti RMS Ortalaması (V/m):	10,1800	6,3000	5,0400	4,5600	5,3100	8,6000	8,3700	10,2000	11,2500	10,6400	10,2900	10,6400	11,5400	10,5000	9,5000	8,9300	10,1400	11,3900	11,7700	11,2600	10,6500
RMS Hata Değeri (V/m):	2,0700	0,9300	0,5300	0,3200	0,8000	3,1000	0,6600	1,4300	2,5200	1,7900	1,3100	0,5100	1,5300	1,8900	1,6500	0,8000	0,9000	1,3400	0,5500	1,2200	1,7200
Yüzelelik RMS Hata Değeri (%):	20,3340	14,7619	10,5159	7,0175	15,0659	36,0465	7,8853	14,0196	22,4000	16,8233	12,7308	4,7932	13,2582	18,0000	17,3684	8,9586	8,8757	11,7647	4,6729	10,8948	16,1502
Sığıtıcı kanatçık şeklinin analizi																					
dikdörtgen prizma kanatçık, sınırdır kanatçık, dikdörtgen kanatçık, parabol kanatçık																					
Frekans Değeri (GHz):	0,5	0,975	1,45	1,925	2,4	2,875	3,35	3,825	4,3	4,775	5,25	5,725	6,2	6,675	7,15	7,625	8,1	8,575	9,05	9,525	10
Veri Seti RMS Ortalaması (V/m):	9,9000	5,0200	4,3500	4,9300	4,6200	4,9200	6,6300	9,2000	12,4300	13,3700	10,1500	9,5700	10,4100	11,4700	9,9000	8,3700	7,9500	8,1000	8,5200	9,5100	10,7500
RMS Hata Değeri (V/m):	0,3800	0,1400	0,0200	0,1700	0,2500	0,4800	0,0900	0,0800	0,0700	0,1500	0,6700	0,0600	0,4300	0,7300	0,3200	0,1200	0,0900	0,0800	0,2200	0,1500	0,2500
Yüzelelik RMS Hata Değeri (%):	3,8384	2,7888	0,4598	3,4483	5,4113	9,7561	1,3575	0,8696	0,5632	1,1219	6,6010	0,6270	4,1306	6,3644	3,2323	1,4337	1,1321	0,9877	2,5822	1,5773	2,3256
Sığıtıcı besleme noktalarının analizi																					
besleme noktası 1, besleme noktası 2, besleme noktası 4, besleme noktası 5, besleme noktası 10,																					
Frekans Değeri (GHz):	0,5000	0,8750	1,2500	1,6250	2,0000	2,3750	2,7500	3,1250	3,5000	3,8750	4,2500	4,6250	5,0000	5,3750	5,7500	6,1250	6,5000	6,8750	7,2500	7,6250	8,0000
Veri Seti RMS Ortalaması (V/m):	4,2000	2,3400	1,4900	1,9600	2,1500	1,8300	1,4200	1,1700	1,2300	0,9900	1,0900	1,2400	1,2600	1,6700	1,8600	1,8600	1,8100	1,7200	1,5600	1,4600	1,4500
RMS Hata Değeri (V/m):	0,4300	0,4000	0,2200	0,5900	0,7900	0,7200	0,3900	0,1500	0,1900	0,1600	0,1000	0,0900	0,1700	0,0800	0,2200	0,2900	0,3600	0,3900	0,1500	0,1600	0,2400
Yüzelelik RMS Hata Değeri (%):	10,2381	17,0940	14,7651	30,1020	36,7442	39,3443	27,4648	12,8205	15,4472	16,1616	9,1743	7,2581	13,4921	4,7904	11,8280	15,5914	19,8895	22,6744	9,6154	10,9589	16,5517

ÖZGEÇMİŞ

ALPARSLAN BOZKURT KARAMAN

alparslankaraman0707@gmail.com



ÖĞRENİM BİLGİLERİ

Yüksek Lisans	Akdeniz Üniversitesi
2017-2019	Fen Bilimleri Enstitüsü Elektrik Elektronik Mühendisliği Bölümü, Antalya
Lisans	Akdeniz Üniversitesi
2013-2017	Mühendislik Fakültesi Elektrik Elektronik Mühendisliği Bölümü, Antalya

ESER

Ulusal bilimsel toplantılarda sunulan ve bildiri kitaplarında basılan bildiri

- 1- Karaman A. B., Kocakuşak A., Genc A., and Helhel S. (2019). The affect of feeding point on electromagetic emission due to heat sink. 41. Photonics and Electromagnetics Research Symposium. (Özet Bildiri)